

บทที่ 6

ผลที่ได้จากการศึกษาวิจัย

ในการศึกษาวิจัยในครั้งนี้เป็นการศึกษาพฤติกรรมการไหลผ่านตะแกรงผืนน้ำ โดยจะกำหนดให้การไหลเข้าสู่ (Approach Flow) ตะแกรงผืนน้ำมี 2 แบบ คือ

- 1) การไหลแบบใต้วิกฤติ (Subcritical Flow)
- 2) การไหลแบบเหนือวิกฤติ (Supercritical Flow)

พฤติกรรมการไหลหรือความสัมพันธ์ของตัวแปรต่างๆ ที่ได้ทำการศึกษา ได้แก่

ก) พลังงานจำเพาะของการไหลสู่ตะแกรงผืนน้ำ (E_s) กับ

- อัตราการไหลที่ถูกผันลวดผ่านตะแกรงผืนน้ำ (Q_D)
- อัตราการไหลที่เหลือจากการถูกผันลวดผ่านตะแกรงผืนน้ำ (Q_R)
- สัมประสิทธิ์อัตราการไหลลวดผ่านตะแกรงผืนน้ำ (C_D)
- ความลึกการไหลที่หน้าตัดเริ่มต้นของตะแกรงผืนน้ำ ($y_{x=0 \text{ cm.}}$)

ข) อัตราการไหลเข้าสู่ตะแกรงผืนน้ำ (Q_s) กับ

- อัตราการไหลที่ถูกผันลวดผ่านตะแกรงผืนน้ำ (Q_D)
- อัตราการไหลที่เหลือจากการถูกผันลวดผ่านตะแกรงผืนน้ำ (Q_R)
- สัมประสิทธิ์อัตราการไหลลวดผ่านตะแกรงผืนน้ำ (C_D)
- ความลึกการไหลที่หน้าตัดต่างๆก่อนถึงตะแกรงผืนน้ำ ($y_{x=-120 \text{ cm.}}$, y_0 และ $y_{x=0 \text{ cm.}}$)

ค) อัตราส่วนพื้นที่ช่องเปิดของตะแกรงผืนน้ำ (E) กับ

- อัตราการไหลที่ถูกผันลดผ่านตะแกรงผืนน้ำ (Q_D)
- อัตราการไหลที่เหลือจากการถูกผันลดผ่านตะแกรงผืนน้ำ (Q_R)
- สัมประสิทธิ์อัตราการไหลลดผ่านตะแกรงผืนน้ำ (C_D)
- ความลึกการไหลที่หน้าตัดต่างๆก่อนถึงตะแกรงผืนน้ำ ($y_{x=-120\text{ cm}}$, y_0 และ $y_{x=0\text{ cm}}$)

ง) เปรียบเทียบความลึกการไหลเหนือตะแกรงผืนน้ำที่ได้จากการทดลอง, การคำนวณโดยวิธี *Finite Difference Method* และ จากสมการของ *Moskow*

สำหรับผลการศึกษามีดังนี้ คือ

6.1 พฤติกรรมการไหลทั่วไปของการไหลเข้าสู่ตะแกรงฝัมน้ำที่เป็นการไหลแบบได้ วิกฤติ

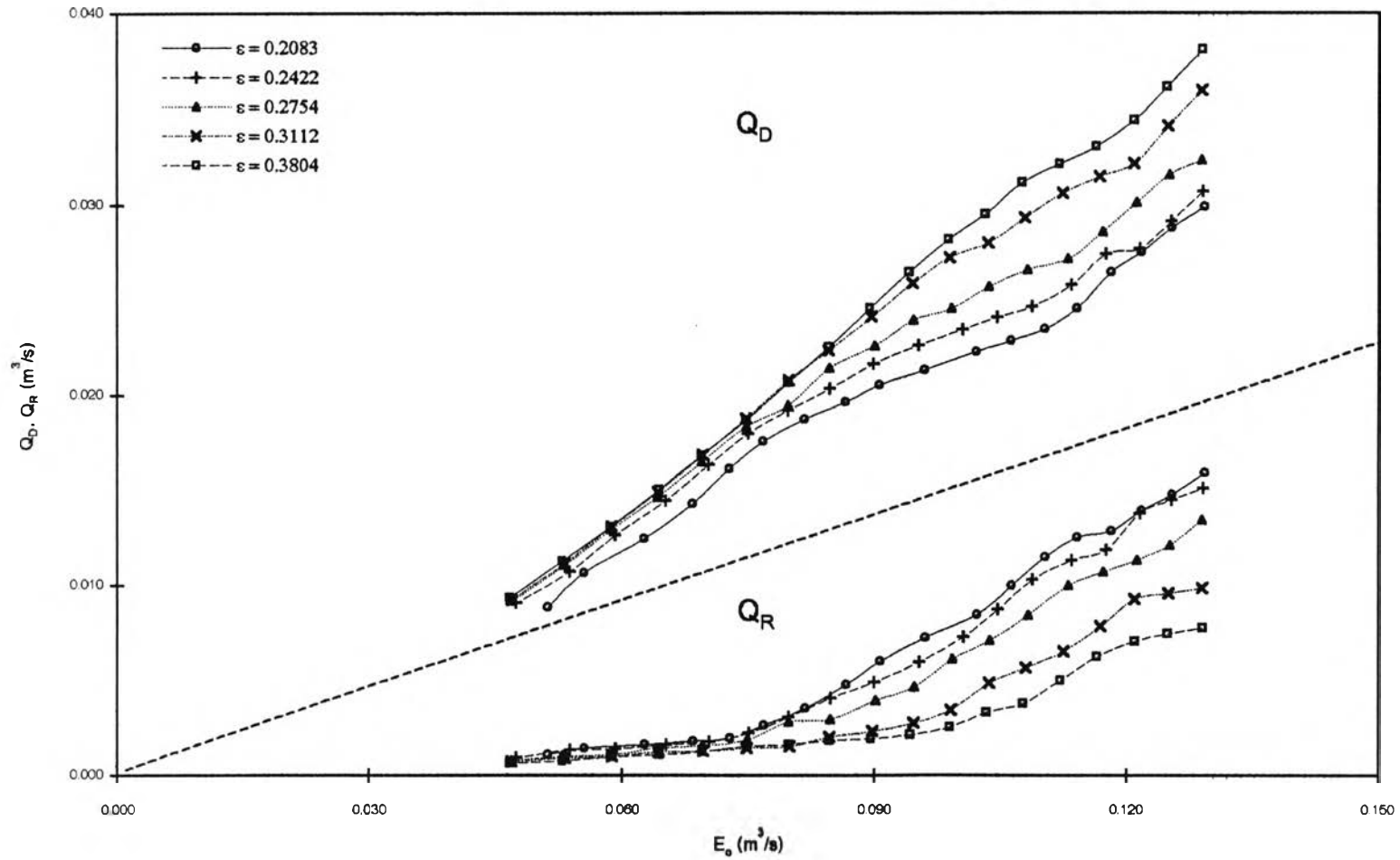
ได้ทำการศึกษาจากแบบจำลองตะแกรงฝัมน้ำจำนวน 5 แบบ โดยเปลี่ยนแปลงค่า อัตราการไหลเข้าสู่ตะแกรงฝัมน้ำ (Q_0) ให้มีค่าอยู่ระหว่าง 500 ลิตรต่อนาที ถึง 2200 ลิตรต่อนาที จำนวนแบบละ 18 อัตราการไหล ผลการทดลองและผลการคำนวณทั้งหมดได้รวบรวมไว้ใน ภาคผนวก ก สำหรับผลการศึกษา มีดังนี้คือ

6.1.1) ผลเนื่องจากการเปลี่ยนแปลงของพลังงานจำเพาะของการไหลสู่ตะแกรง ฝัมน้ำ (E_0) ที่มีต่อ

ก) อัตราการไหลที่ถูกฝันลอดผ่านตะแกรงฝัมน้ำ (Q_p) และอัตราการไหลที่ เหลือจากการถูกฝันลอดผ่านตะแกรงฝัมน้ำ (Q_r)

จากรูป 6-1 ซึ่งเป็นความสัมพันธ์ระหว่างอัตราการไหลที่ถูกฝันลอดผ่านตะแกรงฝัมน้ำ (Q_p) และพลังงานจำเพาะของการไหลสู่ตะแกรงฝัมน้ำ (E_0) จะเห็นได้ว่าในแต่ละชุดของตะแกรงฝัมน้ำ ค่าอัตราการไหลที่ถูกฝันลอดผ่านตะแกรงฝัมน้ำ (Q_p) จะแปรผันโดยตรงกับพลังงานจำเพาะของการไหลสู่ตะแกรงฝัมน้ำ (E_0) ซึ่งสามารถอธิบายได้จาก " การที่น้ำถูกฝันลอดผ่านตะแกรงฝัมน้ำไปได้นั้นเนื่องจากมีศักย์ประสิทธิผล (Effective head) เหนือตะแกรงฝัมน้ำในการขับน้ำให้ไหลลอดผ่านตะแกรงไปได้ ซึ่งในทางปฏิบัติแล้วศักย์ประสิทธิผลเหนือตะแกรงฝัมน้ำมีค่าเท่ากับพลังงานจำเพาะของการไหล " (Moskow 1957: 570) ดังนั้นการไหลใดๆที่มีพลังงานจำเพาะมาก ปริมาณน้ำที่ถูกฝันลอดผ่านตะแกรงฝัมน้ำก็จะมีค่ามากและการไหลใดๆที่มีพลังงานจำเพาะน้อย ปริมาณน้ำที่ถูกฝันลอดผ่านตะแกรงฝัมน้ำก็จะมีค่าน้อย นอกจากนี้ในรูป 6-1 ยังได้แสดงความสัมพันธ์ระหว่างอัตราการไหลที่ถูกฝันลอดผ่านตะแกรงฝัมน้ำ (Q_r) และพลังงานจำเพาะของการไหลสู่ตะแกรงฝัมน้ำ (E_0) ไว้ด้วยเช่นกัน โดยจะเห็นได้ว่าค่าอัตราการไหลที่เหลือจากการถูกฝันลอดผ่านตะแกรงฝัมน้ำ (Q_r) จะแปรผันโดยตรงกับพลังงานจำเพาะของการไหลสู่

รูป 6-1 ความสัมพันธ์ระหว่างค่า Q_D, Q_R และค่า E_0 สำหรับการไหลแบบไดวิกฤตที่สุดบนรางชันน้ำที่มี ε ต่างๆ



ตะแกรงผิวน้ำ (E_0) เช่นกัน ที่เป็นเช่นนี้เนื่องจาก ในการไหลสู่ตะแกรงผิวน้ำใดๆ หากปริมาณน้ำที่ไหลเข้าสู่ตะแกรงผิวน้ำมีค่าเกินกว่าที่ตะแกรงผิวน้ำจะสามารถทำการผันน้ำออกไปได้ก็จะทำให้น้ำบางส่วนไม่สามารถถูกผันลวดผ่านตะแกรงผิวน้ำไปได้ ปริมาณน้ำในส่วนดังกล่าวนี้จะไหลเลยตะแกรงผิวน้ำไปทางท้ายน้ำซึ่งเรียกว่าน้ำที่เหลือจากการการถูกผันลวดผ่านตะแกรงผิวน้ำ โดยทั่วไปแล้วในการไหลที่มีอัตราการไหลเพิ่มขึ้นในทางน้ำที่มีหน้าตัดคงที่ใดๆ ค่าพลังงานจำเพาะของการไหลสู่ตะแกรงผิวน้ำ (E_0) ย่อมเพิ่มขึ้นตามไปด้วย แต่เนื่องจากว่าตะแกรงผิวน้ำแต่ละขนาดจะมีความสามารถในการผันน้ำอยู่ที่อัตราหนึ่งๆ ดังนั้นแม้ว่าเมื่อมีอัตราการไหลเข้าสู่ตะแกรงผิวน้ำเพิ่มขึ้นซึ่งจะทำให้พลังงานจำเพาะของการไหลสู่ตะแกรงผิวน้ำ (E_0) เพิ่มขึ้นก็ไม่ได้หมายความว่าจะมีการผันน้ำลวดผ่านตะแกรงได้มากขึ้น ทำให้เกิดมีน้ำที่เหลือจากการถูกผันลวดผ่านตะแกรงผิวน้ำมากขึ้นตามไปด้วย ดังจะเห็นจากรูป 6-1 คือเมื่อพลังงานจำเพาะของการไหลสู่ตะแกรงผิวน้ำ (E_0) มีค่ามากขึ้น แนวโน้มอัตราการเพิ่มขึ้นของอัตราการไหลที่ถูกผันลวดผ่านตะแกรงผิวน้ำ (Q_0) จะลดลงส่งผลให้อัตราการไหลที่เหลือจากการถูกผันลวดผ่านตะแกรงผิวน้ำ (Q_R) มีแนวโน้มเพิ่มขึ้น นั่นคืออัตราการไหลที่เหลือจากการถูกผันลวดผ่านตะแกรงผิวน้ำ (Q_R) จะแปรผันโดยตรงกับพลังงานจำเพาะของการไหลสู่ตะแกรงผิวน้ำ (E_0) ตามผลการทดลองที่ได้

นอกจากนี้แล้วหากพิจารณากราฟในรูป 6-1 อย่างละเอียดแล้วยังพบอีกว่าลักษณะความสัมพันธ์ของชุดข้อมูลอาจจะมองได้เป็น 3 ช่วงดังนี้ คือ

- ช่วงที่ 1 คือช่วงที่มีพลังงานจำเพาะของการไหลต่ำๆ นั่นคือ E_0 มีค่าประมาณ 0.05 – 0.08 เมตร หากพิจารณากราฟความสัมพันธ์ระหว่าง Q_0 และ E_0 จะเห็นได้ว่าในช่วงดังกล่าวนี้ ความสัมพันธ์เกือบจะเป็นเส้นตรงและมีความลาดชัน (Slope) ค่อนข้างจะคงที่ กล่าวคือเมื่อ E_0 เพิ่มขึ้นจะทำให้ Q_0 เพิ่มขึ้นด้วยอัตราที่ค่อนข้างจะคงที่ ซึ่งในช่วงดังกล่าวนี้ การไหลเข้าสู่ตะแกรงผิวน้ำจะมีพลังงานจำเพาะของการไหลที่ค่อนข้างต่ำ ทำให้สภาพการไหลค่อนข้างที่จะราบเรียบ เนื่องจากอนุภาคของน้ำจะเคลื่อนตัวอย่างเป็นระเบียบรวมทั้งเส้น

การไหล (Streamlines) จะมีลักษณะขนานกันไปโดยตลอด ดังนั้นน้ำจึงถูกผัน
 ลอดผ่านตะแกรงผันน้ำออกไปโดยพลังงานจำเพาะได้อย่างเต็มที่ นั่นคือเมื่อ
 พลังงานจำเพาะของการไหลสู่ตะแกรงผันน้ำ (E_0) มีค่าสูงขึ้นจะทำให้อัตราการ
 ไหลที่ถูกผันลอดผ่านตะแกรงผันน้ำ (Q_0) เพิ่มขึ้นตามไปด้วย ดังลักษณะ
 ของความสัมพันธ์ที่ได้ ในขณะที่อัตราการไหลที่เหลือจากการถูกผันลอดผ่าน
 ตะแกรงผันน้ำ (Q_R) จะมีการเพิ่มขึ้นเพียงเล็กน้อยหรือเกือบจะคงที่ เนื่องจาก
 ปริมาณน้ำส่วนใหญ่จะถูกตะแกรงผันน้ำผันออกไปได้เกือบจะทั้งหมด

- ช่วงที่ 2 คือช่วงที่มีพลังงานจำเพาะของการไหลสู่ตะแกรงผันน้ำ (E_0) ปานกลาง
 โดยมีค่าประมาณ 0.08 – 0.11 เมตร หากพิจารณากราฟความสัมพันธ์ระหว่าง
 Q_0 และ E_0 จะเห็นได้ว่าในช่วงดังกล่าวนี้ สำหรับกรณีของตะแกรงผันน้ำที่มี
 อัตราส่วนพื้นที่ช่องเปิดของตะแกรงผันน้ำ (ϵ) ต่างๆ คือ $\epsilon = 0.2083$, 0.2112
 และ 0.2754 ค่าของอัตราการไหลที่ถูกผันลอดผ่านตะแกรงผันน้ำ (Q_0) ก็ยัง
 คงแปรผันโดยตรงกับพลังงานจำเพาะของการไหลสู่ตะแกรงผันน้ำ (E_0) ใน
 ลักษณะเกือบจะเป็นเส้นตรงเหมือนในช่วงที่ 1 แต่จะแตกต่างกันตรงที่อัตรา
 การเพิ่มขึ้นของ Q_0 จะต่ำกว่าช่วงที่ 1 ซึ่งจะสังเกตได้จากเส้นกราฟจะมีความ
 ลาดชันลดลง ที่เป็นเช่นนี้เนื่องมาจากสำหรับตะแกรงผันน้ำแต่ละขนาดจะมี
 ความสามารถในการผันน้ำจำกัดด้วยอัตราหนึ่งๆ ตามขนาดของพื้นที่ช่องเปิด
 ดังนั้นแม้ว่าพลังงานจำเพาะของการไหลเข้าสู่ตะแกรงผันน้ำ (E_0) จะมีค่าเพิ่ม
 ขึ้นก็ไม่ได้หมายความว่าปริมาณน้ำจะถูกตะแกรงผันน้ำทำการผันออกไปได้
 เป็นปริมาณเกือบทั้งหมดเหมือนดังเช่นในช่วงที่ 1 ทำให้อัตราการไหลที่เหลือ
 จากการถูกผันลอดผ่านตะแกรงผันน้ำ (Q_R) มีค่าเพิ่มขึ้น ดังจะเห็นได้ว่าในช่วง
 ที่ 2 นี้ กราฟความสัมพันธ์ระหว่าง Q_R และ E_0 จะเริ่มมีความลาดชันมากกว่า
 ช่วงที่ 1 นอกจากผลของข้อจำกัดของขนาดช่องเปิดของตะแกรงผันน้ำที่มีผล
 ต่อพฤติกรรมการไหลในช่วงที่ 2 นี้แล้ว ปัจจัยอีกประการหนึ่งที่อาจจะมีอิทธิ

พลต่อพฤติกรรมการไหลในช่วงนี้ก็คือ ลักษณะของการไหลเหนือช่องเปิดของ ตะแกรงผ่น้ำ กล่าวคือ ในช่วงที่ 2 นี้พลังงานจำเพาะของการไหลจะมีค่าสูงขึ้นกว่าช่วงที่ 1 ตามอัตราการไหลที่เพิ่มขึ้น ทำให้ความเป็นระเบียบของอนุภาคน้ำที่เคลื่อนที่เริ่มลดลง โดยอาจมีการเคลื่อนที่ชนกันเองของอนุภาคน้ำ เส้นการไหลเริ่มจะไม่ขนานกัน อันเนื่องมาจากสภาพการไหลเหนือช่องเปิดของตะแกรงผ่น้ำเริ่มมีความปั่นป่วน (Turbulence) ซึ่งจะก่อให้เกิดการกีดขวางต่อน้ำที่จะถูกผ่นออกไป ซึ่งเมื่อพิจารณารวมกับเหตุผลของข้อจำกัดของความสามารถในการผ่นน้ำของตะแกรงผ่น้ำแต่ละขนาดแล้ว จึงเป็นสาเหตุให้พฤติกรรมการไหลที่เกิดขึ้นปรากฏดังผลการศึกษาที่ได้ สำหรับในกรณีของตะแกรงผ่น้ำที่มีค่าอัตราส่วนพื้นที่ช่องเปิดค่อนข้างสูง ได้แก่ $\epsilon = 0.3112$ และ 0.3804 จะพบว่าพฤติกรรมการไหลในช่วงที่ 2 นี้ ยังคงคล้ายเคียงกับในช่วงที่ 1 และผลเนื่องจากความปั่นป่วนของการไหลเหนือช่องเปิดของตะแกรงผ่น้ำแทบจะไม่มีผลต่อการผ่นน้ำเลยเนื่องจากตะแกรงผ่น้ำมีขนาดช่องเปิดค่อนข้างมากจึงทำให้การผ่นน้ำผ่านตะแกรงผ่น้ำเกิดขึ้นได้ง่ายกว่าตะแกรงผ่น้ำที่มีอัตราส่วนพื้นที่ช่องเปิดต่ำกว่า

- ช่วงที่ 3 คือ ช่วงที่มีพลังงานจำเพาะของการไหลค่อนข้างสูง คือ E_0 มีค่าประมาณ $0.11 - 0.13$ เมตร หากพิจารณากภาพความสัมพันธ์ระหว่าง Q_0 และ E_0 จะเห็นได้ว่าในช่วงดังกล่าวนี้ Q_0 ยังคงแปรผันโดยตรงกับ E_0 โดยอัตราการเพิ่มขึ้นของ Q_0 เมื่อเทียบกับ E_0 จะสูงกว่าช่วงที่ 2 และใกล้เคียงกับช่วงที่ 1 ที่เป็นเช่นนี้เนื่องจากว่า เมื่อการไหลมีพลังงานจำเพาะรวมทั้งความลึกการไหลเหนือตะแกรงผ่น้ำมีค่าเพิ่มสูงขึ้น อิทธิพลของความดันสถลศาสตร์สถิตย์ (Hydrostatic pressure) อันเนื่องมาจากความลึกการไหลที่เพิ่มสูงขึ้นก่อให้เกิดแรงอัดของน้ำผ่านช่องเปิดของตะแกรงผ่น้ำมากขึ้น ซึ่งจะมีอิทธิพลมากกว่าความปั่นป่วนของการไหลเหนือช่องเปิดของตะแกรงผ่น้ำที่กล่าวถึงใน

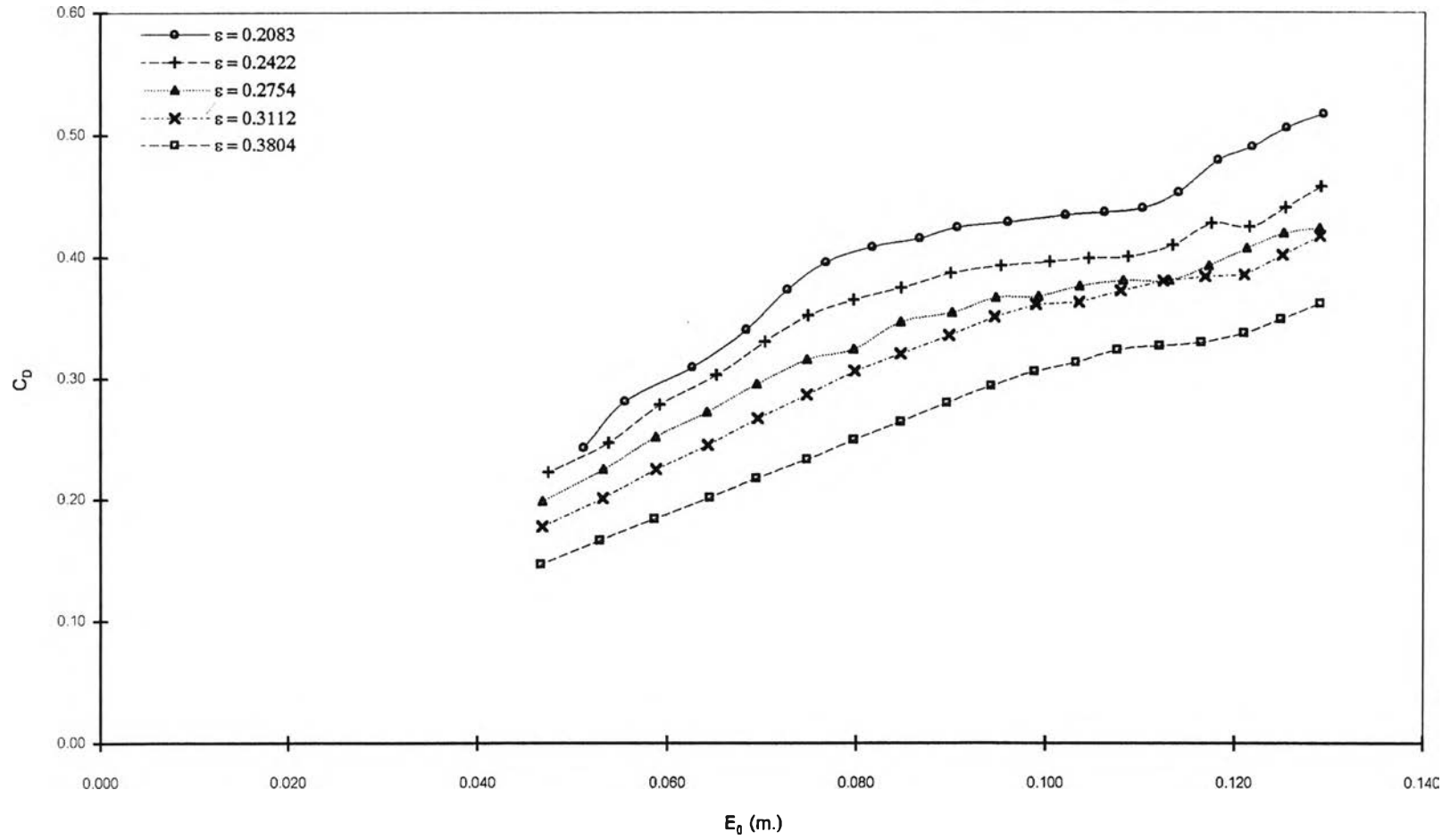
ช่วงที่ 2 จนทำให้อิทธิพลของความปั่นป่วนของการไหลเหนือช่องเปิดของ ตะแกรงมีผลน้อยมากต่อการไหลของน้ำผ่านตะแกรงผิวน้ำ ทำให้ตะแกรงผิวน้ำสามารถผันน้ำได้ด้วยอัตราที่สูงขึ้นกว่าในช่วงที่ 2 ซึ่งจะสังเกตเห็นว่าเส้น กราฟมีความลาดชันสูงกว่าช่วงที่ 2 สำหรับในส่วนของความสัมพันธ์ระหว่าง Q_R และ E_0 ก็จะพบว่าในช่วงที่ 3 นี้ ความลาดชันของเส้นกราฟก็จะเริ่มลดลง เมื่อเปรียบเทียบกับช่วงที่ 2 เนื่องจากตะแกรงผิวน้ำสามารถผันน้ำได้ด้วยอัตรา ที่สูงขึ้นดังที่ได้อธิบายเหตุผลไว้แล้วในข้างต้น

ข) สัมประสิทธิ์อัตราการไหลลอดผ่านตะแกรงผิวน้ำ (C_D)

จากกราฟความสัมพันธ์ระหว่างสัมประสิทธิ์อัตราการไหลลอดผ่านตะแกรงผิวน้ำ (C_D) และพลังงานจำเพาะของการไหลเข้าสู่ตะแกรงผิวน้ำ (E_0) (ดูรูป 6-2 ประกอบ) โดยมีค่า E_0 อยู่ ระหว่าง 0.0467 เมตร ถึง 0.1293 เมตร พบว่า

พลังงานจำเพาะของการไหลเข้าสู่ตะแกรงผิวน้ำ (E_0) มีผลต่อค่าสัมประสิทธิ์อัตราการไหล ลอดผ่านตะแกรงผิวน้ำ (C_D) กล่าวคือ สำหรับตะแกรงผิวน้ำที่มีอัตราส่วนพื้นที่ช่องเปิด (E) ใดๆ ค่าสัมประสิทธิ์อัตราการไหลลอดผ่านตะแกรงผิวน้ำ (C_D) แปรผันโดยตรงกับพลังงานจำเพาะของ การไหลเข้าสู่ตะแกรงผิวน้ำ (E_0) ซึ่งอธิบายได้จากความสัมพันธ์ระหว่างอัตราการไหลที่ถูกผันลอด ผ่านตะแกรงผิวน้ำ (Q_D) และพลังงานจำเพาะของการไหลสู่ตะแกรงผิวน้ำ (E_0) ดังเช่นที่ได้อธิบาย มาแล้ว กล่าวคือสัมประสิทธิ์อัตราการไหลลอดผ่านตะแกรงผิวน้ำ (C_D) เป็นพารามิเตอร์ตัวหนึ่งที่ แสดงถึงความสามารถในการผันน้ำของตะแกรงผิวน้ำ ดังนั้นการที่อัตราการไหลที่ถูกผันลอดผ่าน ตะแกรงผิวน้ำ (Q_D) แปรผันโดยตรงกับพลังงานจำเพาะของการไหลสู่ตะแกรงผิวน้ำ (E_0) ค่า สัมประสิทธิ์อัตราการไหลลอดผ่านตะแกรงผิวน้ำ (C_D) จึงแปรผันโดยตรงกับพลังงานจำเพาะของ การไหลเข้าสู่ตะแกรงผิวน้ำ (E_0) ด้วย

รูป 6-2 ความสัมพันธ์ระหว่างค่า C_D และค่า E_0 สำหรับการไหลแบบไดร็กฤตติสตระแกรงมันน้ำที่มี ϵ ต่าง ๆ

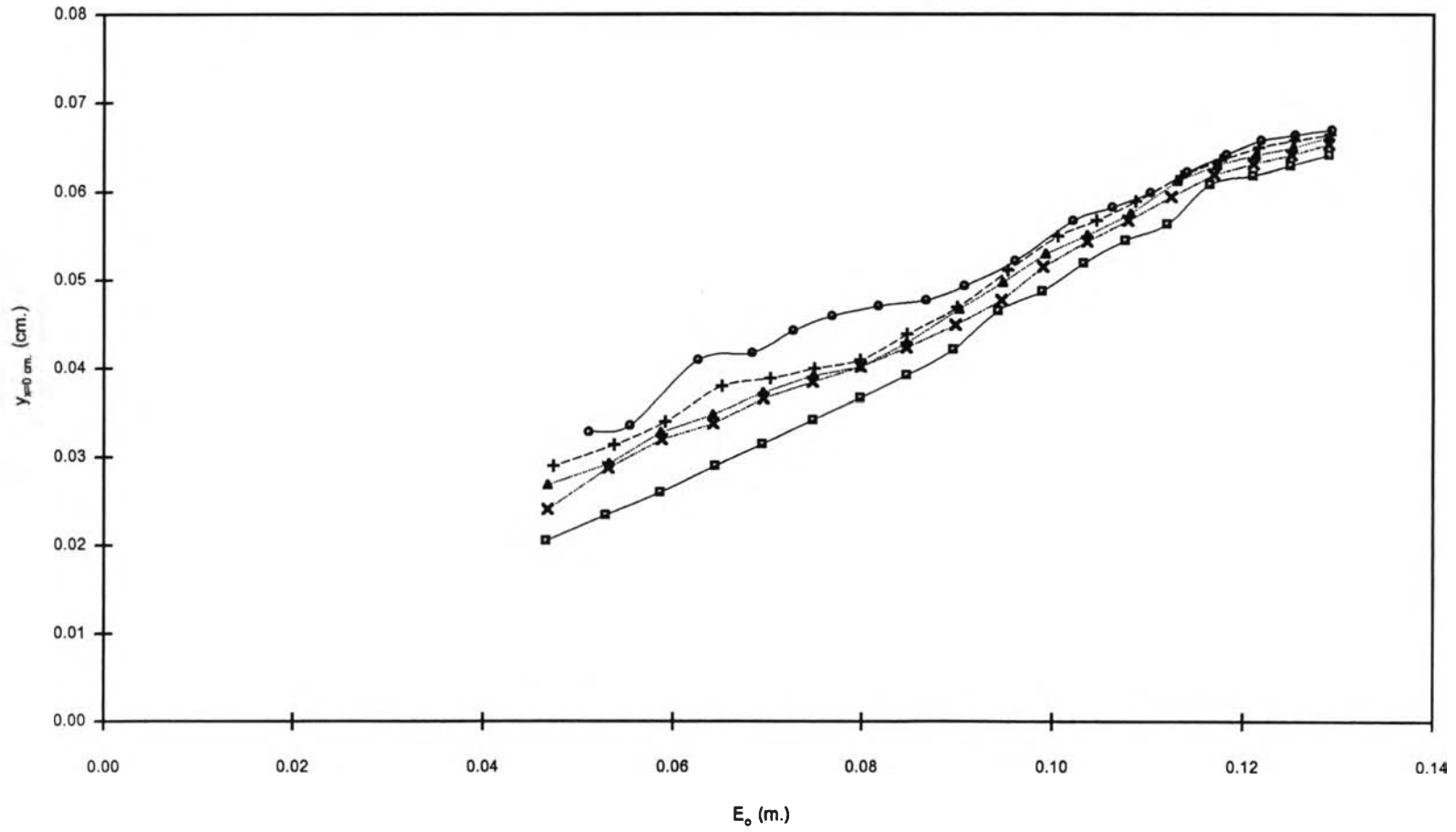


นอกจากนี้หากทำการพิจารณาเส้นกราฟในรูป 6-2 ต่อไปยังพบอีกว่า เมื่อพลังงานจำเพาะของการไหลเข้าสู่ตะแกรงผิวน้ำ (E_0) เพิ่มขึ้น แนวโน้มของการเพิ่มขึ้นของค่าสัมประสิทธิ์อัตราการไหลลอดผ่านตะแกรงผิวน้ำ (C_D) จะเริ่มลดลง ซึ่งสังเกตได้จากเส้นกราฟมีความลาดชันลดลง ทั้งนี้เนื่องมาจากข้อจำกัดของความสามารถในการผิวน้ำของตะแกรงผิวน้ำ คือ เมื่อเมื่อพลังงานจำเพาะของการไหลเข้าสู่ตะแกรงผิวน้ำ (E_0) เพิ่มขึ้น ก็ไม่ได้หมายความว่าตะแกรงจะสามารถผิวน้ำได้เพิ่มขึ้นไปเรื่อยๆ ดังที่ได้อธิบายไว้ในหัวข้อ 6.1.1 ก)

ค) ความลึกการไหลที่หน้าตัดเริ่มต้นของตะแกรงผิวน้ำ ($y_{x=0\text{cm}}$)

จากกราฟความสัมพันธ์ระหว่างความลึกการไหลที่หน้าตัดเริ่มต้นของตะแกรงผิวน้ำ (ระยะ $x = 0$ cm.) และพลังงานจำเพาะของการไหลสู่ตะแกรงผิวน้ำ (E_0) (ดูรูป 6-3 ประกอบ) โดยมีค่า พลังงานจำเพาะของการไหลสู่ตะแกรงผิวน้ำ (E_0) อยู่ระหว่าง 0.0467 เมตร ถึง 0.1293 เมตร พบว่าความลึกการไหลที่หน้าตัดเริ่มต้นของตะแกรงผิวน้ำจะแปรผันโดยตรงกับพลังงานจำเพาะของการไหลสู่ตะแกรงผิวน้ำ (E_0) เนื่องจากเมื่อมีอัตราการไหลสู่ตะแกรงผิวน้ำ (Q_0) เพิ่มมากขึ้น พลังงานจำเพาะซึ่งเป็นคุณสมบัติของการไหลก็จะเพิ่มขึ้นตามไปด้วย นอกจากนี้แล้วในการไหลใดๆ ในทางน้ำคงตัว เมื่อมีอัตราการไหลเพิ่มขึ้นความลึกการไหลก็จะเพิ่มขึ้นด้วย ด้วยเหตุนี้จึงบอกได้ว่าความลึกการไหลที่หน้าตัดเริ่มต้นของตะแกรงผิวน้ำจะแปรผันโดยตรงกับพลังงานจำเพาะของการไหลสู่ตะแกรงผิวน้ำ (E_0)

รูป 8-3 ความสัมพันธ์ระหว่างค่า $y_{x=0}$ cm. และค่า E_0 สำหรับการไหลแบบไดวิกฤติสู่ตะแกรงผันน้ำที่มี ϵ ต่างๆ



6.1.2) ผลเนื่องจากการเปลี่ยนแปลงของอัตราการไหลเข้าสู่ตะแกรงผิวน้ำ (Q_s) ที่มีต่อ

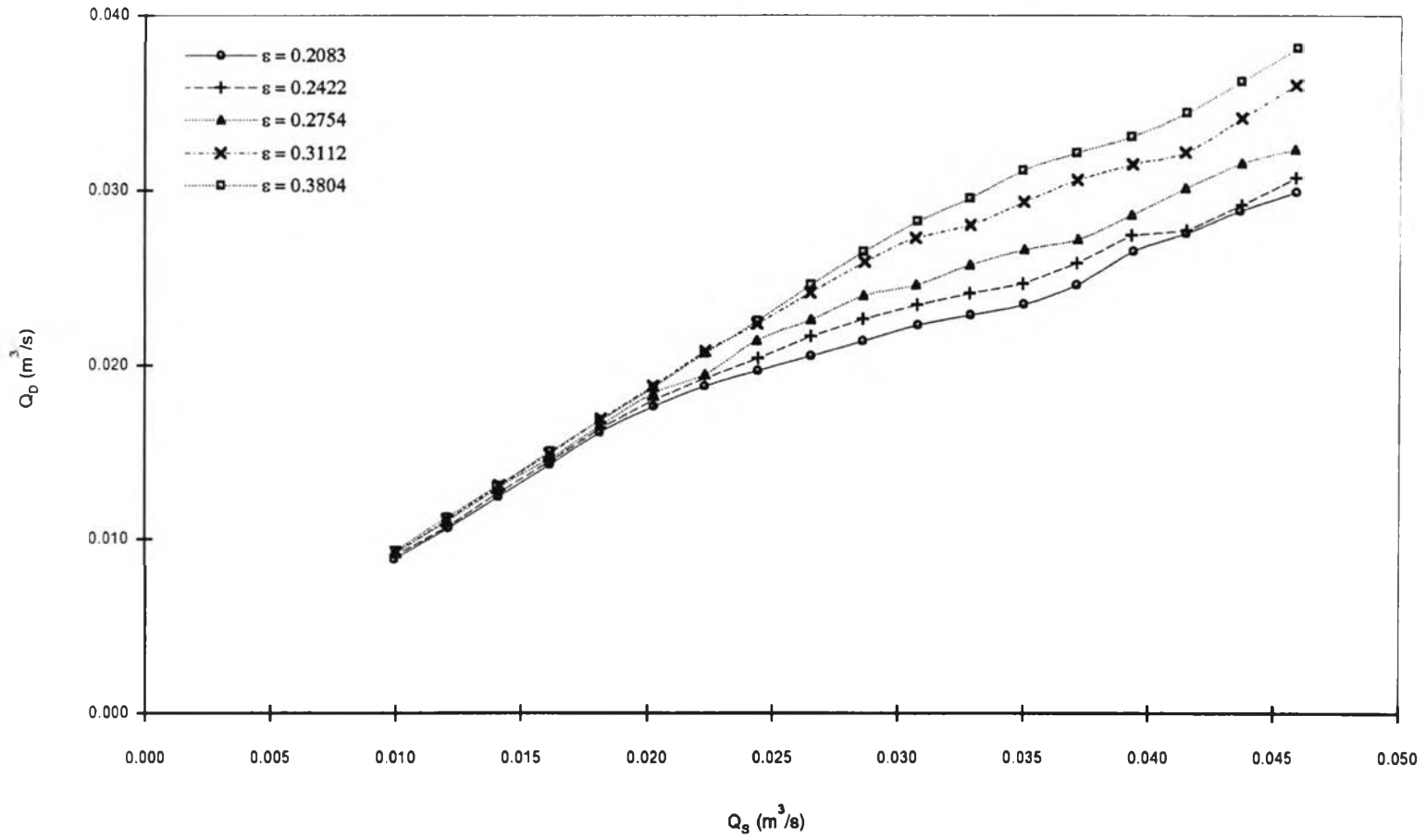
ก) อัตราการไหลที่ถูกผันลวดผ่านตะแกรงผิวน้ำ (Q_p) และอัตราการไหลที่เหลือจากการถูกผันลวดผ่านตะแกรงผิวน้ำ (Q_r)

จากรูป 6-4 ซึ่งเป็นความสัมพันธ์ระหว่างอัตราการไหลที่ถูกผันลวดผ่านตะแกรงผิวน้ำ (Q_p) และอัตราการไหลเข้าสู่ตะแกรงผิวน้ำ (Q_s) โดยอัตราการไหลเข้าสู่ตะแกรงผิวน้ำ (Q_s) มีค่าอยู่ระหว่าง $0.0100 \text{ m}^3/\text{s}$ ถึง $0.0459 \text{ m}^3/\text{s}$. พบว่าอัตราการไหลที่ถูกผันลวดผ่านตะแกรงผิวน้ำ (Q_p) แปรผันโดยตรงกับอัตราการไหลเข้าสู่ตะแกรงผิวน้ำ (Q_s) ซึ่งแสดงให้เห็นว่าเมื่ออัตราการไหลเข้าสู่ตะแกรงผิวน้ำ (Q_s) มีค่ามากขึ้นจะทำให้ปริมาณน้ำในทางน้ำที่ไหลเข้าสู่ตะแกรงผิวน้ำมีมากขึ้น อันจะส่งผลให้พลังงานจำเพาะของการไหลสู่ตะแกรงผิวน้ำ (E_p) มีค่ามากขึ้นด้วย ซึ่งจะทำให้เกิดมีศักยภาพที่จะผันน้ำให้ไหลลวดผ่านตะแกรงผิวน้ำได้มากขึ้น ปริมาณน้ำจึงถูกผันออกมามาก ในทางกลับกันเมื่ออัตราการไหลเข้าสู่ตะแกรงผิวน้ำ (Q_s) มีค่าน้อยลงจะทำให้ปริมาณน้ำในทางน้ำที่ไหลเข้าสู่ตะแกรงผิวน้ำมีน้อยลง อันจะส่งผลให้พลังงานจำเพาะของการไหลสู่ตะแกรงผิวน้ำ (E_p) มีค่าน้อยลง ซึ่งจะทำให้เกิดมีศักยภาพที่จะผันน้ำให้ไหลลวดผ่านตะแกรงผิวน้ำได้น้อยลง ปริมาณน้ำจึงถูกผันออกมาน้อย

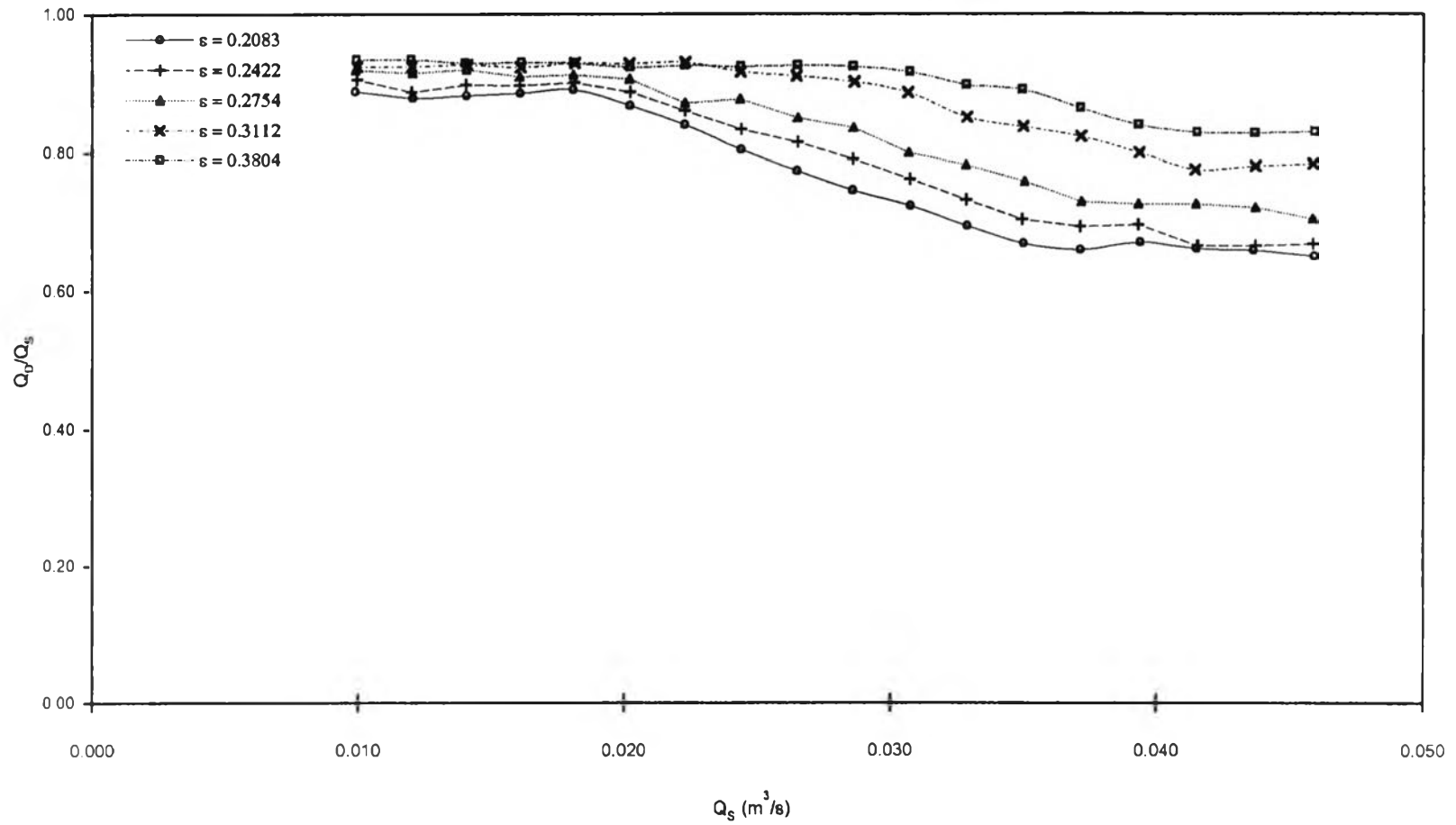
นอกจากนี้หากพิจารณารูป 6-5 ซึ่งเป็นการแสดงความสัมพันธ์ระหว่าง (Q_p/Q_s) และ Q_s จะพบว่าค่า (Q_p/Q_s) แปรผกผันกับ Q_s ซึ่งหมายความว่าเมื่ออัตราการไหลเข้าสู่ตะแกรงผิวน้ำ (Q_s) มีค่าเพิ่มขึ้น แนวโน้มของอัตราการเพิ่มขึ้นของอัตราการไหลที่ถูกผันลวดผ่านตะแกรงผิวน้ำ (Q_p) จะมีค่าลดลง กล่าวคือหากเพิ่มค่าอัตราการไหลเข้าสู่ตะแกรงผิวน้ำ (Q_s) ขึ้นไปเรื่อยๆจนถึงจุดๆหนึ่ง ค่าอัตราการไหลที่ถูกผันลวดผ่านตะแกรงผิวน้ำ (Q_p) อาจจะคงที่หรือเพิ่มขึ้นน้อยมาก ซึ่งเป็นผลมาจากขีดจำกัดของความสามารถในการผันน้ำของตะแกรงผิวน้ำโดยจะจำกัดอยู่ที่อัตราการไหลหนึ่งๆ



รูป 6-4 ความสัมพันธ์ระหว่างค่า Q_D และ Q_S สำหรับการไหลแบบไดวิกฤตสู่ตะแกรงมีน้ำที่มี ϵ ต่างๆ



รูป 6-5 ความสัมพันธ์ระหว่างค่า Q_p/Q_s และค่า Q_s สำหรับการไหลแบบใต้วงกุกติุระแวงมันน้ำที่มี ϵ ต่างๆ



ในการพิจารณาถึงลักษณะของกราฟที่ได้ในรูป 6-4 และรูป 6-5 อย่างละเอียดจะสามารถแบ่งช่วงของพฤติกรรมการณ์ไหลที่ได้ออกเป็น 3 ช่วงดังนี้ คือ

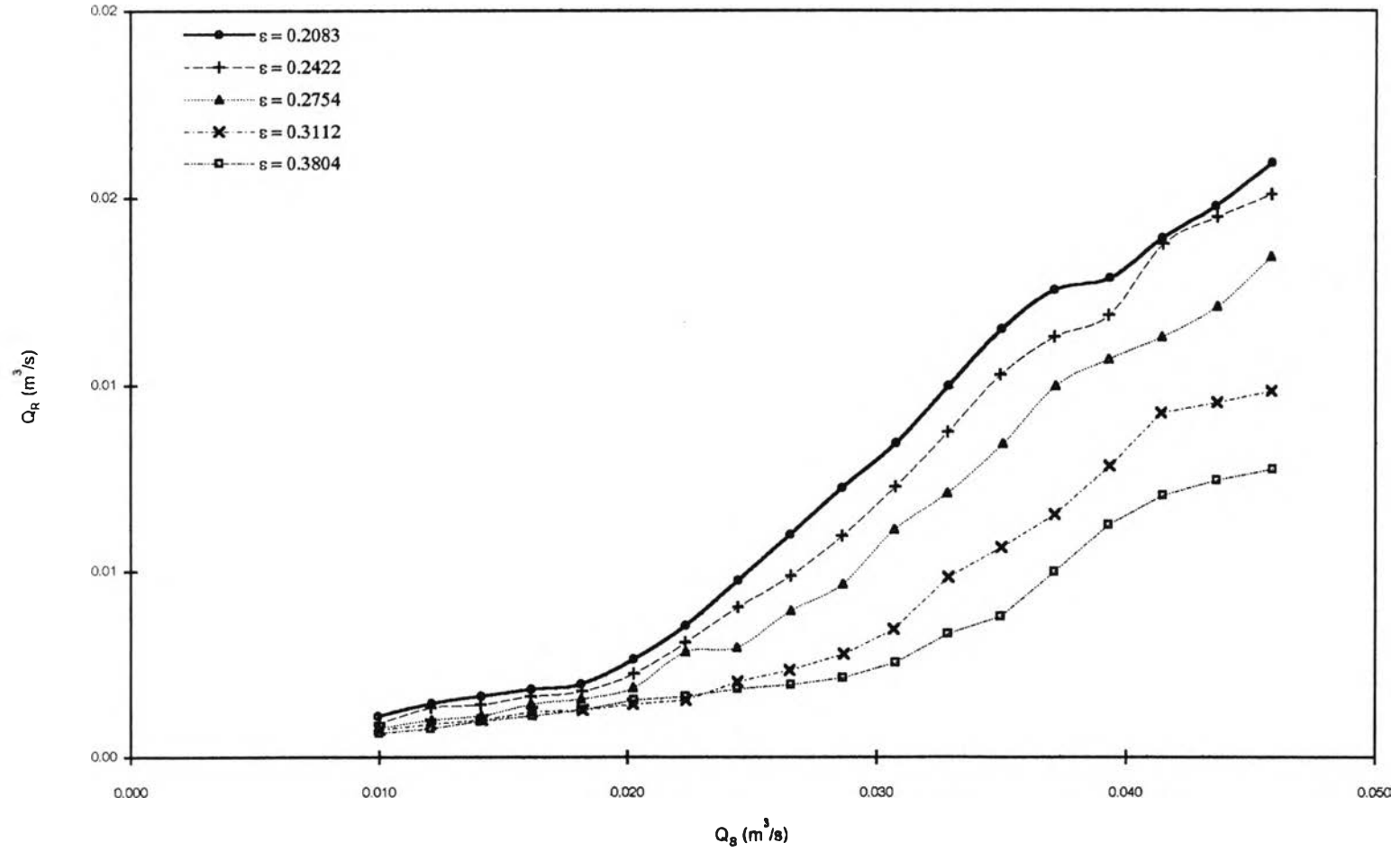
- ช่วงที่ 1 คือช่วงที่มี Q_s ต่ำๆ โดยมีค่าอยู่ประมาณ $0.01 - 0.02 \text{ m}^3/\text{s}$. โดยในช่วงนี้อัตราการไหลที่ถูกผันลวดผ่านตะแกรงผิวน้ำ (Q_0) จะแปรผันโดยตรงกับอัตราการไหลเข้าสู่ตะแกรงผิวน้ำ (Q_s) โดยลักษณะของเส้นกราฟของ Q_0 เมื่อเทียบกับ Q_s จะมีลักษณะเกือบเป็นเส้นตรงที่มีความลาดชันค่อนข้างคงที่ นั่นคืออัตราการเพิ่มขึ้นของ Q_0 เทียบกับ Q_s จะมีค่าคงที่ เนื่องจากในช่วงดังกล่าวนี้ การไหลเข้าสู่ตะแกรงผิวน้ำจะมีอัตราการไหลที่ไม่สูงมากนักและค่าพลังงานจำเพาะของการไหลที่ค่อนข้างต่ำ ทำให้มีสภาพการไหลค่อนข้างที่จะราบเรียบ โดยอนุภาคของน้ำจะเคลื่อนตัวอย่างเป็นระเบียบรวมทั้งเส้นการไหล (Streamlines) จะมีลักษณะขนานกันไปโดยตลอดดังนั้นน้ำจึงถูกผันลวดผ่านตะแกรงผิวน้ำออกไปโดยพลังงานจำเพาะได้อย่างเต็มที่ เหมือนดังเช่นที่ได้อธิบายไว้ในหัวข้อ 6.1.1 ก) นั่นคือเมื่ออัตราการไหลเข้าสู่ตะแกรงผิวน้ำ (Q_s) เพิ่มขึ้น จะทำให้พลังงานจำเพาะของการไหลสู่ตะแกรงผิวน้ำ (E_0) มีค่าสูงขึ้น ทำให้อัตราการไหลที่ถูกผันลวดผ่านตะแกรงผิวน้ำ (Q_0) เพิ่มขึ้นตามไปด้วย ดังลักษณะของความสัมพันธ์ที่ได้
- ช่วงที่ 2 คือช่วงที่มี Q_s ปานกลาง โดยมีค่าประมาณ $0.02 - 0.04 \text{ m}^3/\text{s}$. โดยในช่วงนี้อัตราการไหลที่ถูกผันลวดผ่านตะแกรงผิวน้ำ (Q_0) จะแปรผันโดยตรงกับอัตราการไหลเข้าสู่ตะแกรงผิวน้ำ (Q_s) เหมือนในช่วงที่ 1 แต่จะแตกต่างกันตรงที่เมื่อทำการเปรียบเทียบกับช่วงที่ 1 แล้ว อัตราการเพิ่มขึ้นของ Q_0 จะลดลงเมื่อ Q_s เพิ่มขึ้น โดยจะเห็นได้ชัดเจนในกรณีที่ตะแกรงผิวน้ำมีอัตราส่วนพื้นที่ช่องเปิดน้อย สำหรับเหตุผลที่ใช้ในการอธิบายถึงพฤติกรรมดังกล่าวสามารถใช้เหตุผลเดียวกับเหตุผลที่ใช้ในการอธิบายความสัมพันธ์ระหว่าง Q_0 และ E_0 ในช่วงที่ 2

เนื่องจากพลังงานจำเพาะของการไหลสู่ตะแกรงผิวน้ำ (E_o) จะขึ้นอยู่กับอัตราการไหลเข้าสู่ตะแกรงผิวน้ำ (Q_s)

- ช่วงที่ 3 คือช่วงที่มี Q_s ค่อนข้างสูง โดยมีค่าประมาณ $0.04 - 0.05 \text{ m}^3/\text{s}$. ซึ่งในช่วงนี้อัตราการไหลที่ถูกผันลวดผ่านตะแกรงผิวน้ำ (Q_p) จะแปรผันโดยตรงกับอัตราการไหลเข้าสู่ตะแกรงผิวน้ำ (Q_s) เหมือนในช่วงที่ 1 และช่วงที่ 2 แต่อัตราการเปลี่ยนแปลงของ Q_p เมื่อเทียบกับ Q_s จะเริ่มคงที่เหมือนดังช่วงที่ 1 ซึ่งสามารถอธิบายเหตุผลได้โดยใช้เหตุผลเดียวกับเหตุผลที่ใช้ในการอธิบายความสัมพันธ์ระหว่าง Q_p และ E_o ในช่วงที่ 3

ในทำนองเดียวกันหากพิจารณารูป 6-6 ซึ่งเป็นการแสดงความสัมพันธ์ระหว่าง อัตราการไหลที่เหลือจากการถูกผันลวดผ่านตะแกรงผิวน้ำ (Q_r) และอัตราการไหลเข้าสู่ตะแกรงผิวน้ำ (Q_s) จะพบว่าอัตราการไหลที่เหลือจากการถูกผันลวดผ่านตะแกรงผิวน้ำ (Q_r) แปรผันโดยตรงกับอัตราการไหลเข้าสู่ตะแกรงผิวน้ำ (Q_s) ซึ่งอธิบายได้ว่า ในแต่ละอัตราการไหลเข้าสู่ตะแกรงผิวน้ำ (Q_s) ความสามารถของตะแกรงผิวน้ำที่จะผันน้ำออกไปก็จะจำกัดอยู่ที่อัตราการไหลหนึ่งๆ ดังนั้นก็ย่อมจะมีอัตราการไหลที่เหลือจากการถูกผันลวดผ่านตะแกรงผิวน้ำ (Q_r) ดังนั้นการเพิ่มขึ้นหรือลดลงของอัตราการไหลเข้าสู่ตะแกรงผิวน้ำ (Q_s) ย่อมจะทำให้อัตราการไหลที่เหลือจากการถูกผันลวดผ่านตะแกรงผิวน้ำ (Q_r) มีการเพิ่มขึ้นหรือลดลงตามไปด้วย ซึ่งจากรูป 6-6 จะเห็นได้ว่าในช่วงที่อัตราการไหลเข้าสู่ตะแกรงผิวน้ำ (Q_s) มีค่าต่ำ การเพิ่มขึ้นของอัตราการไหลที่เหลือจากการถูกผันลวดผ่านตะแกรงผิวน้ำ (Q_r) จะมีการเพิ่มขึ้นที่ละน้อย เนื่องจากปริมาณน้ำส่วนใหญ่ที่ไหลเข้าสู่ตะแกรงผิวน้ำจะถูกผันออกจากทางน้ำ แต่เมื่ออัตราการไหลเข้าสู่ตะแกรงผิวน้ำ (Q_s) จนถึงจุดที่ตะแกรงผิวน้ำไม่สามารถผันน้ำออกไปได้หมด จะทำให้ปริมาณน้ำที่เหลือจากการถูกผันเพิ่มมากขึ้น ดังจะเห็นได้จากเส้นกราฟมีความลาดชันเพิ่มมากขึ้น

รูป 6-6 ความสัมพันธ์ระหว่างค่า Q_R และค่า Q_S สำหรับการไหลแบบไดวิกฤติสู่ตะแกรงผิวน้ำที่มี ϵ ต่างๆ



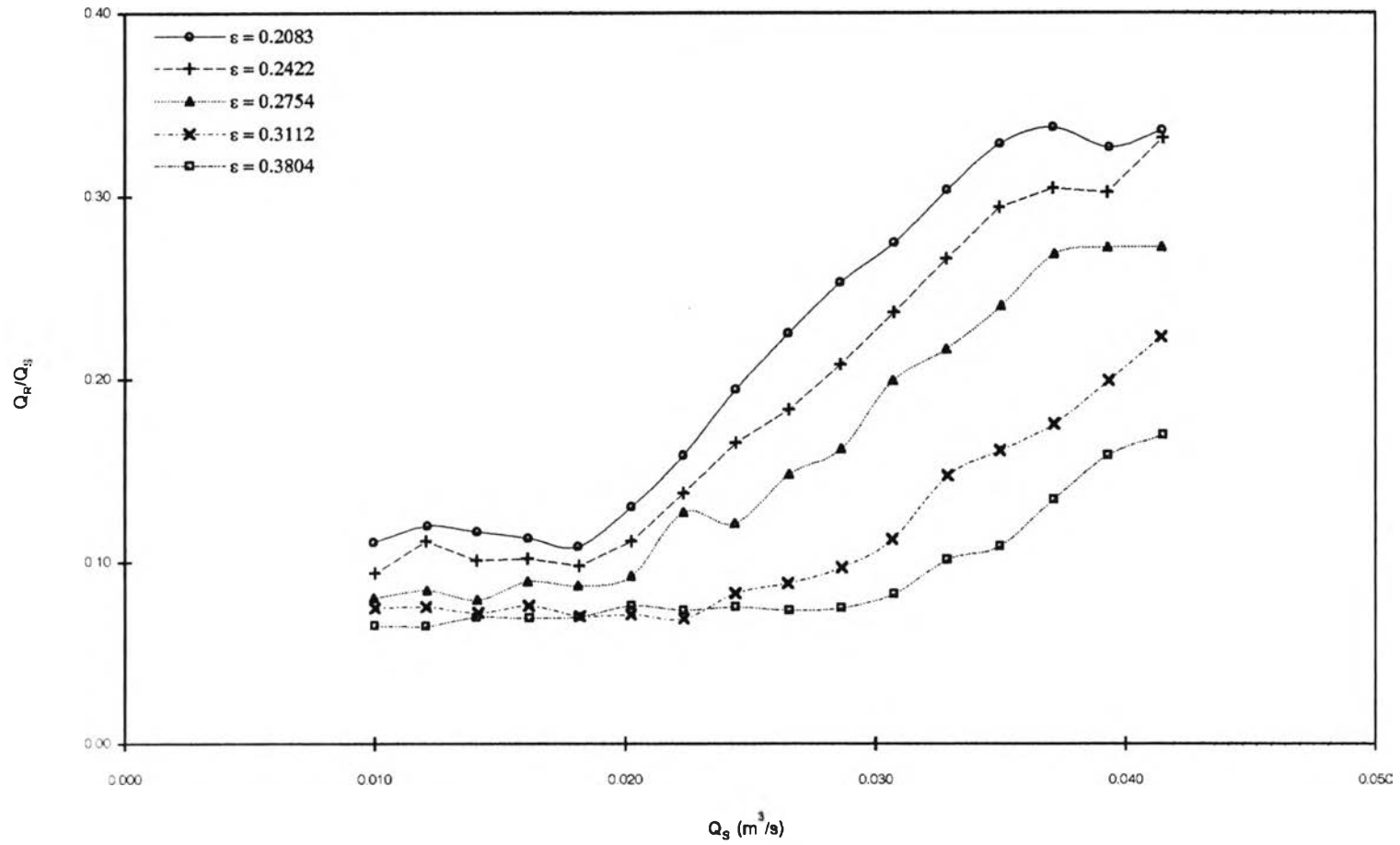
อนึ่ง หากพิจารณาในรูป 6-7 ซึ่งเป็นการแสดงความสัมพันธ์ระหว่าง (Q_r/Q_s) และ Q_s จะพบว่าค่า (Q_r/Q_s) แปรผันโดยตรงกับ Q_s ซึ่งหมายความว่าเมื่ออัตราการไหลเข้าสู่ตะแกรงผิวน้ำ (Q_s) มีค่าเพิ่มขึ้น แนวโน้มของอัตราการเพิ่มขึ้นของอัตราการไหลที่เหลือจากการถูกผันลวดผ่านตะแกรงผิวน้ำ (Q_r) จะมีความมากขึ้นซึ่งสังเกตได้จากที่อัตราการไหลเข้าสู่ตะแกรงผิวน้ำ (Q_s) สูงๆ เส้นกราฟจะมีความชันค่อนข้างมาก กล่าวคือหากเพิ่มค่าอัตราการไหลเข้าสู่ตะแกรงผิวน้ำ (Q_s) ขึ้นไปเรื่อยๆจนถึงจุดหนึ่ง ค่าอัตราการไหลที่ถูกผันลวดผ่านตะแกรงผิวน้ำ (Q_r) อาจจะคงที่หรือเพิ่มขึ้นน้อยมากทำให้อัตราการไหลเข้าสู่ตะแกรงผิวน้ำ (Q_s) ที่เพิ่มขึ้นไม่สามารถถูกผันออกไปได้ ปริมาณน้ำที่เหลือจากการถูกผันลวดผ่านตะแกรงผิวน้ำจึงมีแนวโน้มจะสูงขึ้นเรื่อยๆ ซึ่งสอดคล้องกับคำอธิบายความสัมพันธ์ระหว่าง (Q_r/Q_s) และ Q_s ดังกล่าวข้างต้น

ข) สัมประสิทธิ์อัตราการไหลลวดผ่านตะแกรงผิวน้ำ (C_o)

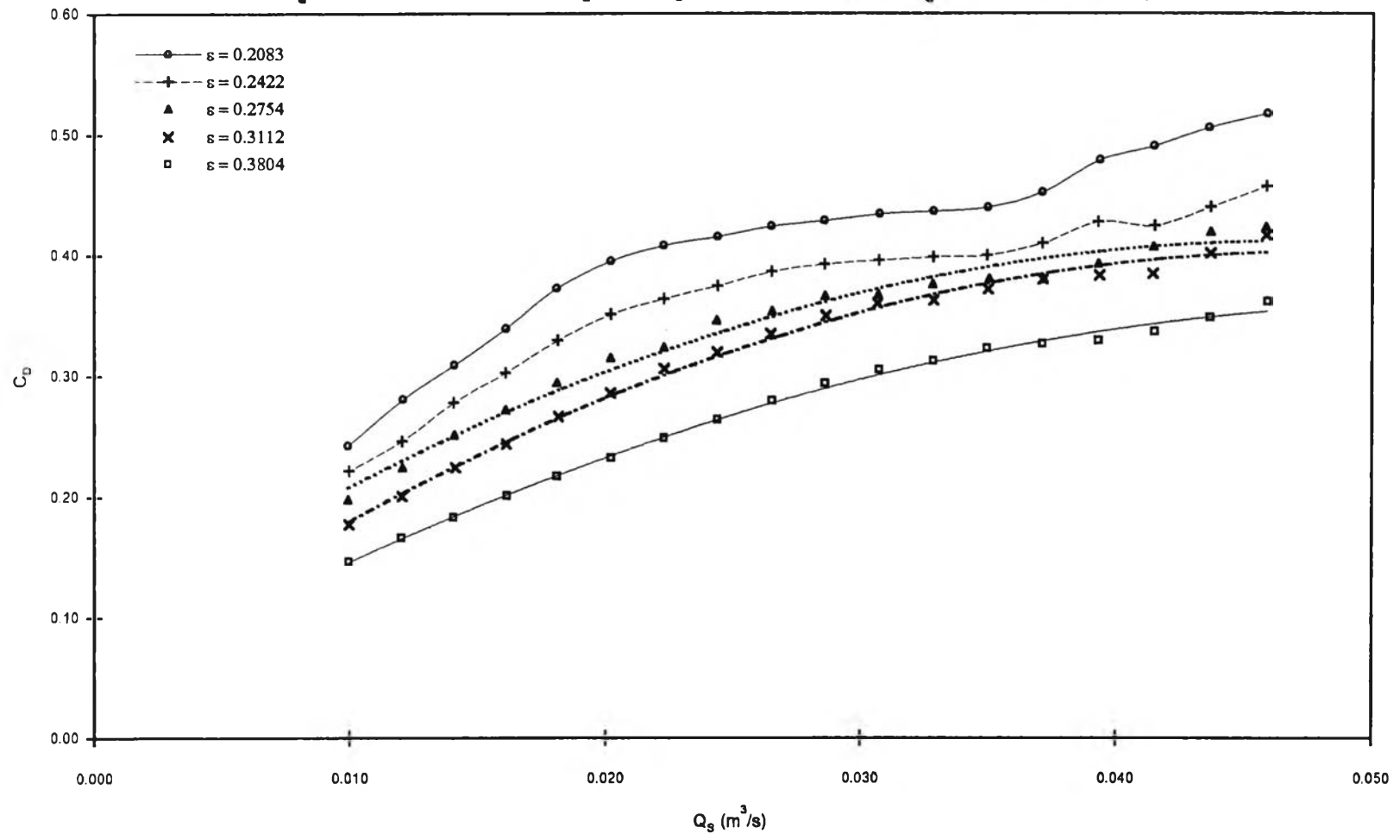
จากรูป 6-8 ซึ่งแสดงความสัมพันธ์ระหว่างสัมประสิทธิ์อัตราการไหลลวดผ่านตะแกรงผิวน้ำ (C_o) และอัตราการไหลเข้าสู่ตะแกรงผิวน้ำ (Q_s) โดยอัตราการไหลเข้าสู่ตะแกรงผิวน้ำ (Q_s) มีค่าอยู่ระหว่าง $0.0100 \text{ m}^3/\text{s}$. ถึง $0.0459 \text{ m}^3/\text{s}$. พบว่า

ในแต่ละชุดของตะแกรงผิวน้ำ สัมประสิทธิ์อัตราการไหลลวดผ่านตะแกรงผิวน้ำ (C_o) จะแปรผันโดยตรงกับอัตราการไหลเข้าสู่ตะแกรงผิวน้ำ (Q_s) เนื่องจากเมื่อมีการไหลในทางน้ำคงตัวเข้าสู่ตะแกรงผิวน้ำมากขึ้น ค่าพลังงานจำเพาะของการไหลเข้าสู่ตะแกรงผิวน้ำ (E_o) ก็เพิ่มขึ้น ทำให้มีปริมาณน้ำที่ถูกผันลวดผ่านตะแกรงผิวน้ำมากขึ้นด้วย ส่งผลให้อัตราการไหลที่ถูกผันลวดผ่านตะแกรงผิวน้ำ (Q_o) ของตะแกรงผิวน้ำใดๆมีค่าเพิ่มขึ้น ค่าสัมประสิทธิ์อัตราการไหลลวดผ่านตะแกรงผิวน้ำ (C_o) จึงเพิ่มขึ้นด้วย เนื่องจากสัมประสิทธิ์อัตราการไหลลวดผ่านตะแกรงผิวน้ำ (C_o) เป็นค่าที่บ่งบอกถึงความสามารถในการผันน้ำของตะแกรงผิวน้ำ ดังนั้นจึงสรุปได้ว่าสัมประสิทธิ์อัตราการไหลลวดผ่านตะแกรงผิวน้ำ (C_o) จะแปรผันโดยตรงกับอัตราการไหลเข้าสู่ตะแกรงผิวน้ำ (Q_s) นอกจากนี้แล้วจากรูป 6-8 ยังพบอีกว่าเมื่ออัตราการไหลเข้าสู่ตะแกรงผิวน้ำ

รูป 6-7 ความสัมพันธ์ระหว่างค่า Q_R/Q_S และค่า Q_S สำหรับการไหลแบบได้วิกฤติสุดตะแกรงมีน้ำที่มี ε ต่าง ๆ



รูป 6-8 ความสัมพันธ์ระหว่างค่า C_D และค่า Q_s สำหรับการไหลแบบไดวิกฤตที่ตะแกรงมีน้ำที่มี ϵ ต่างๆ



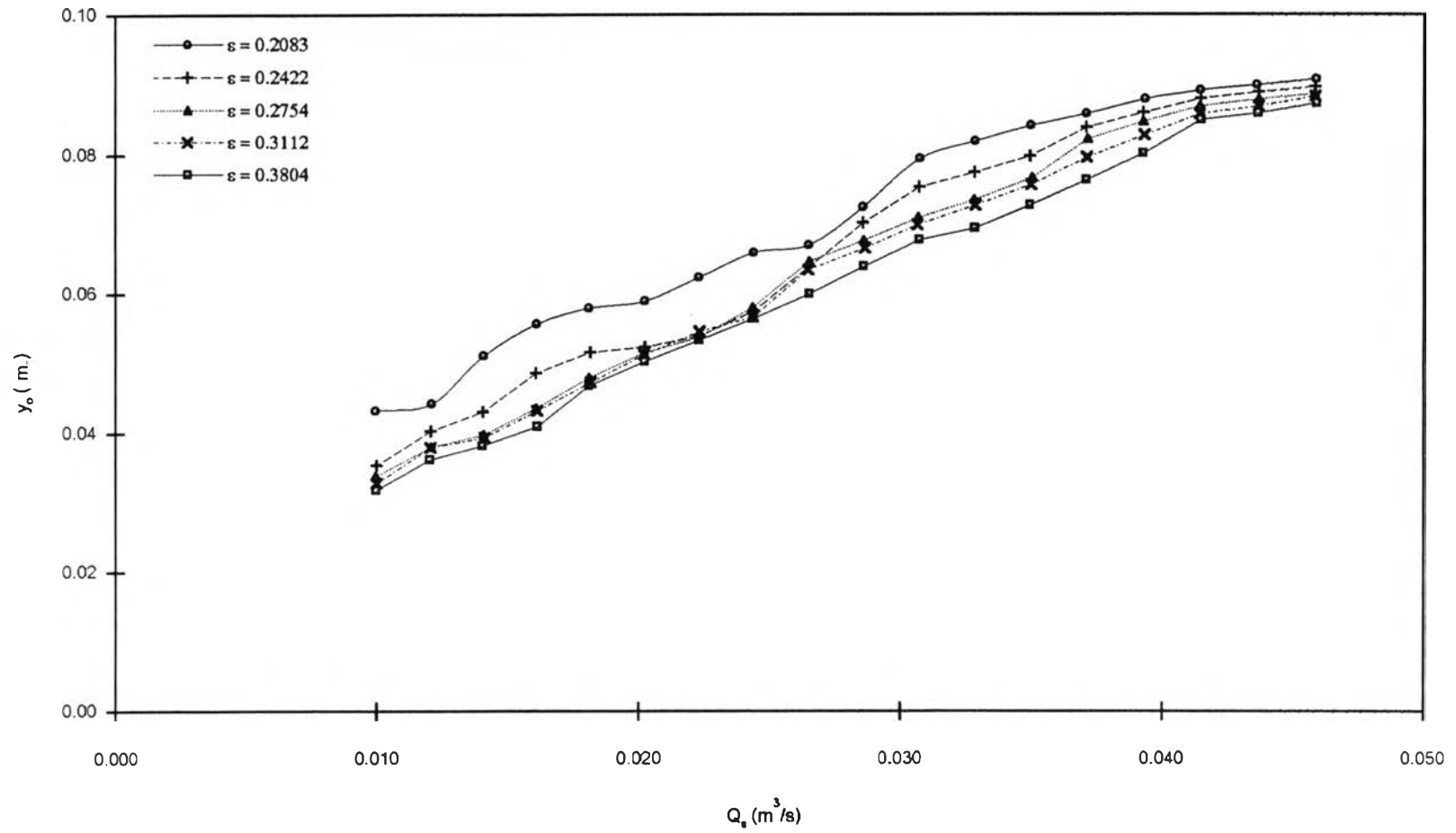
(Q_s) เพิ่มขึ้นเรื่อยๆ สัมประสิทธิ์อัตราการใช้ไหลลอดผ่านตะแกรงผืนน้ำ (C_0) จะมีการเพิ่มขึ้นน้อยมากและมีแนวโน้มจะคงที่ ทั้งนี้เนื่องจากความสามารถในการผันน้ำของตะแกรงผืนน้ำแต่ละขนาดจะมีขีดจำกัด ดังนั้นแม้ว่าอัตราการไหลเข้าสู่ตะแกรงผืนน้ำ (Q_s) หรือพลังงานจำเพาะของการไหลสู่ตะแกรงผืนน้ำ (E_0) จะเพิ่มมากขึ้น ก็ไม่ได้ทำให้ตะแกรงผืนน้ำสามารถผันน้ำได้เพิ่มขึ้นได้เท่าใดนัก

ค) ความลึกการไหลที่หน้าตัดต่างๆก่อนถึงตะแกรงผืนน้ำ

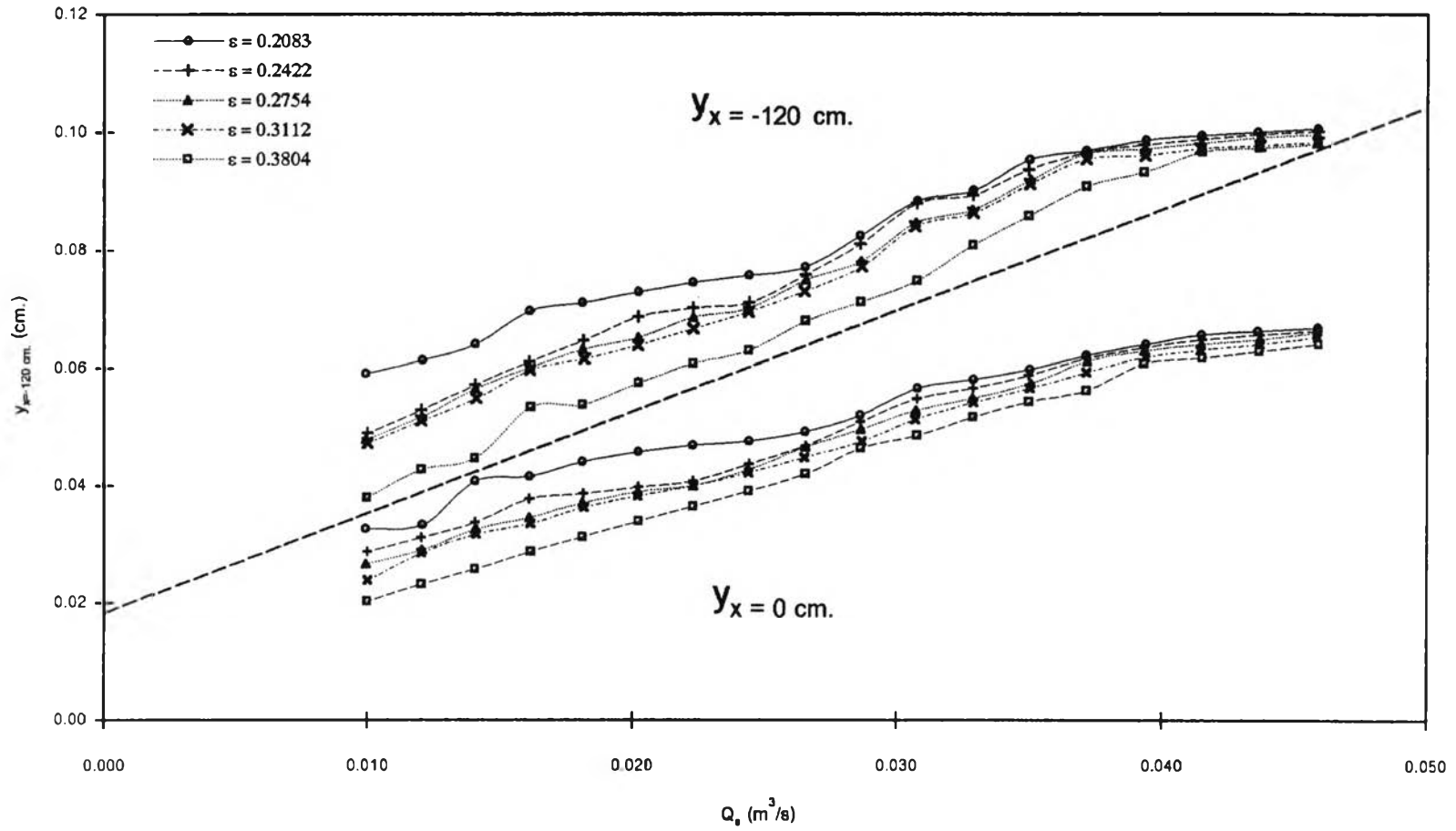
จากรูป 6-9 และรูป 6-10 ซึ่งเป็นการแสดงความสัมพันธ์ระหว่างความลึกการไหลที่หน้าตัดใดๆ (ได้แก่ ความลึกการไหลที่หน้าตัดที่อยู่ห่างจากหน้าตัดเริ่มต้นของตะแกรงผืนน้ำไปทางเหนือน้ำเป็นระยะ 5 เท่าของความลึกการไหลที่หน้าตัดเริ่มต้นของตะแกรงผืนน้ำ (y_0), ความลึกการไหลที่หน้าตัดที่อยู่ห่างจากหน้าตัดเริ่มต้นของตะแกรงผืนน้ำไปทางเหนือน้ำเป็นระยะ 120 เซนติเมตร ($y_{x=120 \text{ cm}}$), หน้าตัดเริ่มต้นของตะแกรงผืนน้ำ ($y_{x=0 \text{ cm}}$)) กับอัตราการไหลเข้าสู่ตะแกรงผืนน้ำ (Q_s) โดยอัตราการไหลเข้าสู่ตะแกรงผืนน้ำ (Q_s) มีค่าอยู่ระหว่าง $0.0100 \text{ m}^3/\text{s}$. ถึง $0.0459 \text{ m}^3/\text{s}$. พบว่า

ในแต่ละชุดของตะแกรงผืนน้ำ ความลึกการไหลที่หน้าตัดใดๆก่อนถึงตะแกรงผืนน้ำจะแปรผันโดยตรงกับอัตราการไหลเข้าสู่ตะแกรงผืนน้ำ (Q_s) เนื่องจากในการไหลในทางน้ำที่มีหน้าตัดคงตัวใดๆ ความลึกการไหลในทางน้ำจะแปรผันโดยตรงกับอัตราการไหลในทางน้ำนั้น และจากรูป 6-9 และรูป 6-10 ยังพบอีกว่าสำหรับตะแกรงผืนน้ำที่มีอัตราส่วนพื้นที่ช่องเปิด (ε) ใดๆ และมีอัตราการไหลเข้าสู่ตะแกรงผืนน้ำ (Q_s) ใดๆ ความลึกการไหลจะลดลงจาก $y_{x=120 \text{ cm}}$ ไปสู่ y_0 และ $y_{x=0 \text{ cm}}$ ตามลำดับ (สำหรับผลการทดลองวัดค่าความลึกการไหลที่ระยะต่างๆในทางน้ำ นอกเหนือจากที่แสดงไว้ในรูป 6-9 และรูป 6-10 สามารถดูรายละเอียดได้ใน ภาคผนวก จ)

รูป 6-9 ความสัมพันธ์ระหว่างค่า y_0 และค่า Q_0 สำหรับการไหลแบบไดวิกฤติสู่ตะแกรงฝัมน้ำที่มี ϵ ต่างๆ



รูป 6-10 ความสัมพันธ์ระหว่างค่า $y_{x=0 \text{ cm.}}$, $y_{x=-120 \text{ cm.}}$ และค่า Q_0 สำหรับการไหลแบบไดวิกฤตสู่ตะแกรงคั่นน้ำที่มี ε ต่างๆ



นอกจากนี้จากการพิจารณากาแฟในรูป 6-9 และรูป 6-10 จะยังพบอีกว่าลักษณะของค่าความลึกการไหลในทางน้ำจะไม่ค่อยสม่ำเสมอ ทั้งนี้เนื่องมาจากในการไหลในทางน้ำลักษณะเช่นนี้ ผิวน้ำจะไม่ค่อยราบเรียบเนื่องจากความปั่นป่วนของกระแสน้ำ แต่จากการพิจารณาลักษณะแนวโน้มโดยรวมของข้อมูลทำให้สามารถบอกได้ว่า ความลึกการไหลในทางน้ำที่หน้าตัดต่างๆก่อนถึงตะแกรงฝันน้ำจะแปรผันโดยตรงกับอัตราการไหลเข้าสู่ตะแกรงฝันน้ำ (Q_s)

6.1.3) ผลเนื่องจากการเปลี่ยนแปลงของอัตราส่วนพื้นที่ช่องเปิดของตะแกรงฝันน้ำ (ϵ) ที่มีต่อ

ก) อัตราการไหลที่ถูกฝันลอดผ่านตะแกรงฝันน้ำ (Q_p) และอัตราการไหลที่เหลือจากการถูกฝันลอดผ่านตะแกรงฝันน้ำ (Q_r)

จากรูป 6-4 ซึ่งเป็นความสัมพันธ์ระหว่างอัตราการไหลที่ถูกฝันลอดผ่านตะแกรงฝันน้ำ (Q_p) และอัตราการไหลเข้าสู่ตะแกรงฝันน้ำ (Q_s) สำหรับตะแกรงฝันน้ำที่มีอัตราส่วนพื้นที่ช่องเปิด (ϵ) ต่างๆ พบว่าขนาดช่องเปิดของตะแกรงฝันน้ำมีผลต่อค่าอัตราการไหลที่ถูกฝันลอดผ่านตะแกรงฝันน้ำ (Q_p) โดยพบว่าหากพิจารณาที่อัตราการไหลเข้าสู่ตะแกรงฝันน้ำ (Q_s) เดียวกัน จะได้ว่าอัตราการไหลที่ถูกฝันลอดผ่านตะแกรงฝันน้ำ (Q_p) แปรผันโดยตรงกับอัตราส่วนพื้นที่ช่องเปิดของตะแกรงฝันน้ำ (ϵ) และหากพิจารณากาแฟความสัมพันธ์ระหว่าง อัตราการไหลที่เหลือจากการถูกฝันลอดผ่านตะแกรงฝันน้ำ (Q_r) กับอัตราการไหลเข้าสู่ตะแกรงฝันน้ำ (Q_s) (ดูรูป 6-6 ประกอบ) จะพบว่า อัตราส่วนพื้นที่ช่องเปิดของตะแกรงฝันน้ำ (ϵ) มีผลต่ออัตราการไหลที่เหลือจากการถูกฝันลอดผ่านตะแกรงฝันน้ำ (Q_r) กล่าวคือ หากพิจารณาที่อัตราการไหลเข้าสู่ตะแกรงฝันน้ำ (Q_s) เดียวกัน จะได้ว่า อัตราการไหลที่เหลือจากการถูกฝันลอดผ่านตะแกรงฝันน้ำ (Q_r) แปรผันกับกับอัตราส่วนพื้นที่ช่องเปิดของตะแกรงฝันน้ำ, ϵ ซึ่งเป็นการแสดงให้เห็นว่าการเปลี่ยนแปลงขนาดพื้นที่ช่องเปิดของตะแกรงฝันน้ำจะมีผลโดยตรงต่ออัตราการไหลที่ถูกฝันลอด

ผ่านตะแกรงฝัมน้ำ (Q_o) และอัตราการไหลที่เหลือจากการถูกฝัมน้ำลอดผ่านตะแกรงฝัมน้ำ (Q_r) ดังนี้
คือ

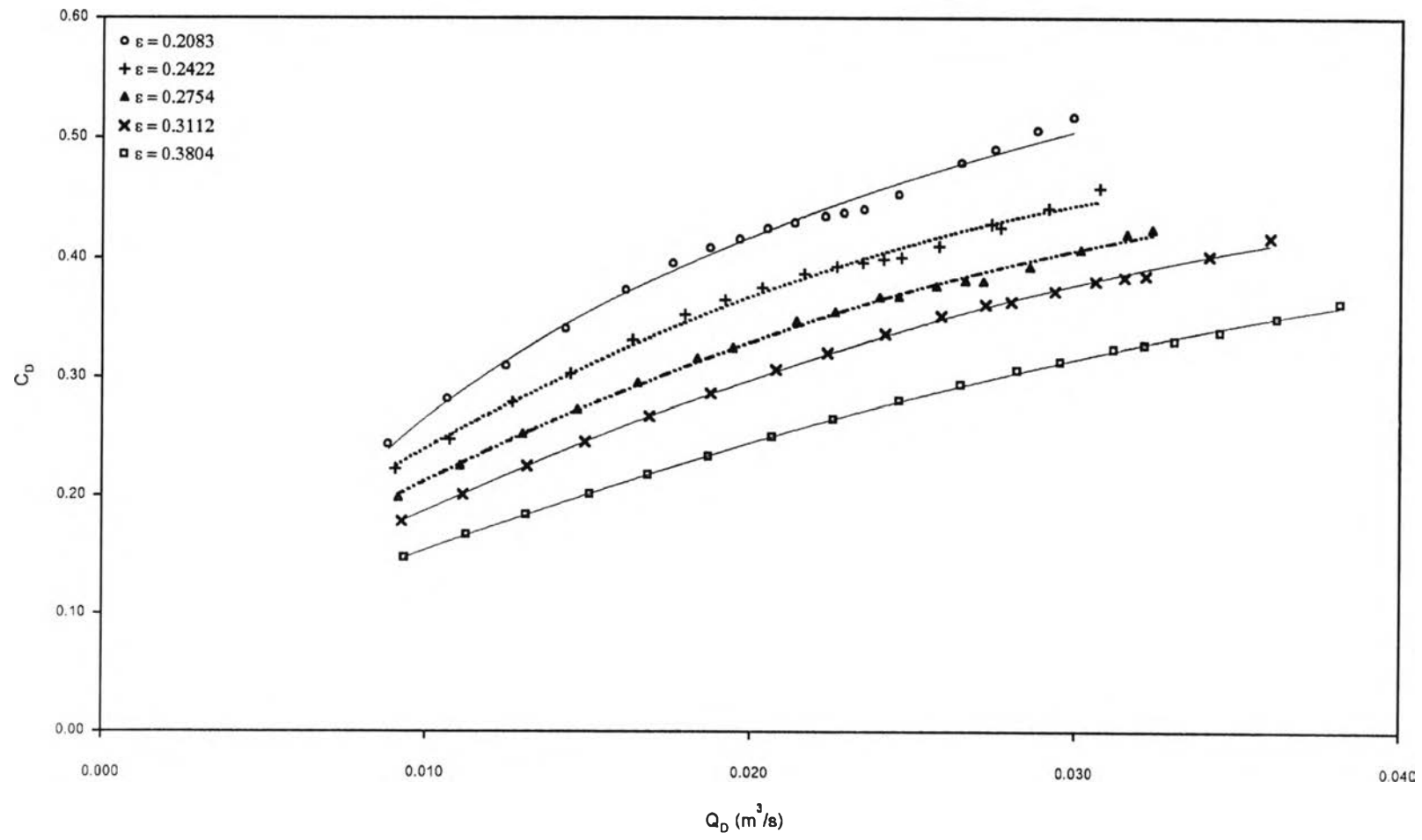
หากมีการเพิ่มขึ้นของพื้นที่ช่องเปิดของตะแกรงฝัมน้ำจะทำให้ น้ำที่ไหลเข้าสู่ตะแกรงฝัมน้ำถูกฝัมน้ำออกไปได้มาก ส่งผลให้น้ำที่เหลือจากการถูกฝัมน้ำลอดผ่านตะแกรงฝัมน้ำมีปริมาณน้อยลง ในทางกลับกันหากมีการลดพื้นที่ช่องเปิดของตะแกรงฝัมน้ำจะทำให้ น้ำที่ไหลเข้าสู่ตะแกรงฝัมน้ำถูกฝัมน้ำออกไปได้น้อยลง ส่งผลให้น้ำที่เหลือจากการถูกฝัมน้ำลอดผ่านตะแกรงฝัมน้ำมีปริมาณเพิ่มมากขึ้น

ข) สัมประสิทธิ์อัตราการไหลลอดผ่านตะแกรงฝัมน้ำ (C_o)

จากกราฟความสัมพันธ์ระหว่าง สัมประสิทธิ์อัตราการไหลลอดผ่านตะแกรงฝัมน้ำ (C_o) และอัตราการไหลที่ถูกฝัมน้ำลอดผ่านตะแกรงฝัมน้ำ (Q_o) (ดูรูป 6-11 ประกอบ) โดยมีค่าอัตราการไหลที่ถูกฝัมน้ำลอดผ่านตะแกรงฝัมน้ำ (Q_o) อยู่ระหว่าง $0.0089 \text{ m}^3/\text{s}$. ถึง $0.0381 \text{ m}^3/\text{s}$. พบว่า

อัตราส่วนพื้นที่ช่องเปิดของตะแกรงฝัมน้ำ (E) มีผลต่อสัมประสิทธิ์อัตราการไหลลอดผ่านตะแกรงฝัมน้ำ (C_o) โดยจะพบว่า หากพิจารณาที่อัตราการไหลที่ถูกฝัมน้ำลอดผ่านตะแกรงฝัมน้ำ (Q_o) เดียวกัน ค่าสัมประสิทธิ์อัตราการไหลลอดผ่านตะแกรงฝัมน้ำ (C_o) แปรผกผันกับขนาดพื้นที่ช่องเปิดหรืออัตราส่วนพื้นที่ช่องเปิดของตะแกรงฝัมน้ำ (E) เนื่องจากหากพิจารณาสมการของการไหลผ่านตะแกรงฝัมน้ำ $L_o = Q_o / (E c_b (2gE)^{0.5})$ (เมื่อ L_o = ความยาวตะแกรงฝัมน้ำ, $Q_o = Q_r = Q_o$ = อัตราการไหลที่ถูกฝัมน้ำลอดผ่านตะแกรงฝัมน้ำ, $c = C_o$ = สัมประสิทธิ์อัตราการไหลลอดผ่านตะแกรงฝัมน้ำ, $E = E_o$ = พลังงานจำเพาะของการไหลสู่ตะแกรงฝัมน้ำ) (Chow 1959:338) จะเห็นว่าหากอัตราการไหลที่ถูกฝัมน้ำลอดผ่านตะแกรงฝัมน้ำมีค่าคงที่สัมประสิทธิ์อัตราการไหลลอดผ่านตะแกรงฝัมน้ำ จะแปรผกผันกับอัตราส่วนพื้นที่ช่องเปิดของตะแกรงฝัมน้ำ ซึ่งสอดคล้องกับผลการศึกษาที่ได้

รูป 6-11 ความสัมพันธ์ระหว่างค่า C_D และค่า Q_D สำหรับการไหลแบบได้วิฤติสู่ตะแกรงฉันทน้ำที่มี ϵ ต่างๆ



ค) ความลึกการไหลที่หน้าตัดต่างๆก่อนถึงตะแกรงผัมน้ำ

จากกราฟความสัมพันธ์ระหว่างความลึกการไหลที่ระยะต่างๆในทางน้ำ ($y_0, y_{x=0}$ cm และ $y_{x=-120}$ cm.) และอัตราการไหลเข้าสู่ตะแกรงผัมน้ำ (Q_g) (ดูรูป 6-9 และรูป 6-10 ประกอบ) โดยมีค่าอัตราการไหลเข้าสู่ตะแกรงผัมน้ำ (Q_g) อยู่ระหว่าง $0.0100 \text{ m}^3/\text{s}$. ถึง $0.0459 \text{ m}^3/\text{s}$. พบว่า

อัตราส่วนพื้นที่ช่องเปิดของตะแกรงผัมน้ำ (ϵ) มีผลต่อค่าความลึกการไหลที่ระยะต่างๆในทางน้ำ กล่าวคือหากพิจารณาที่อัตราการไหลเข้าสู่ตะแกรงผัมน้ำ (Q_g) เดียวกัน จะพบว่าค่าความลึกการไหล ไม่ว่าจะเป็ความลึกการไหลที่หน้าตัดซึ่งอยู่ห่างจากตะแกรงผัมน้ำไปทางเหนือน้ำเป็นระยะ 120 เซนติเมตร ($y_x = -120$ cm.) ,ความลึกการไหลที่จุดเริ่มต้นของตะแกรงผัมน้ำ ($y_x = 0$ cm.) หรือความลึกการไหลที่หน้าตัด x_0 (อยู่ห่างจากหน้าตัด $x=0$ cm.ไปทางเหนือน้ำเป็นระยะ 5 เท่าของ $y_x = 0$ cm) จะแปรผกผันกับอัตราส่วนพื้นที่ช่องเปิดของตะแกรงผัมน้ำ (ϵ) ซึ่งแสดงให้เห็นว่าหากตะแกรงผัมน้ำมีขนาดพื้นที่ช่องเปิดน้อยๆ น้ำก็จะถูกผัมนออกไปจากทางน้ำได้น้อยทำให้ระดับน้ำลดลงไม่มาก ในทางกลับกันหากเพิ่มพื้นที่ช่องเปิดของตะแกรงผัมน้ำให้มากขึ้น น้ำก็ถูกผัมนออกไปจากทางน้ำได้มากขึ้นด้วย ทำให้ระดับน้ำในทางน้ำลดลงมากขึ้น (สำหรับผลการทดลองวัดค่าความลึกการไหลที่ระยะต่างๆในทางน้ำ นอกเหนือจากที่แสดงไว้ในรูป 6-9 และรูป 6-10 สามารถดูรายละเอียดได้ใน ภาคผนวก จ)

6.2 พฤติกรรมการไหลทั่ว ๆ ไปของการไหลเข้าสู่ตะแกรงฝัมน้ำที่เป็นการไหลแบบเหนือวิกฤติ

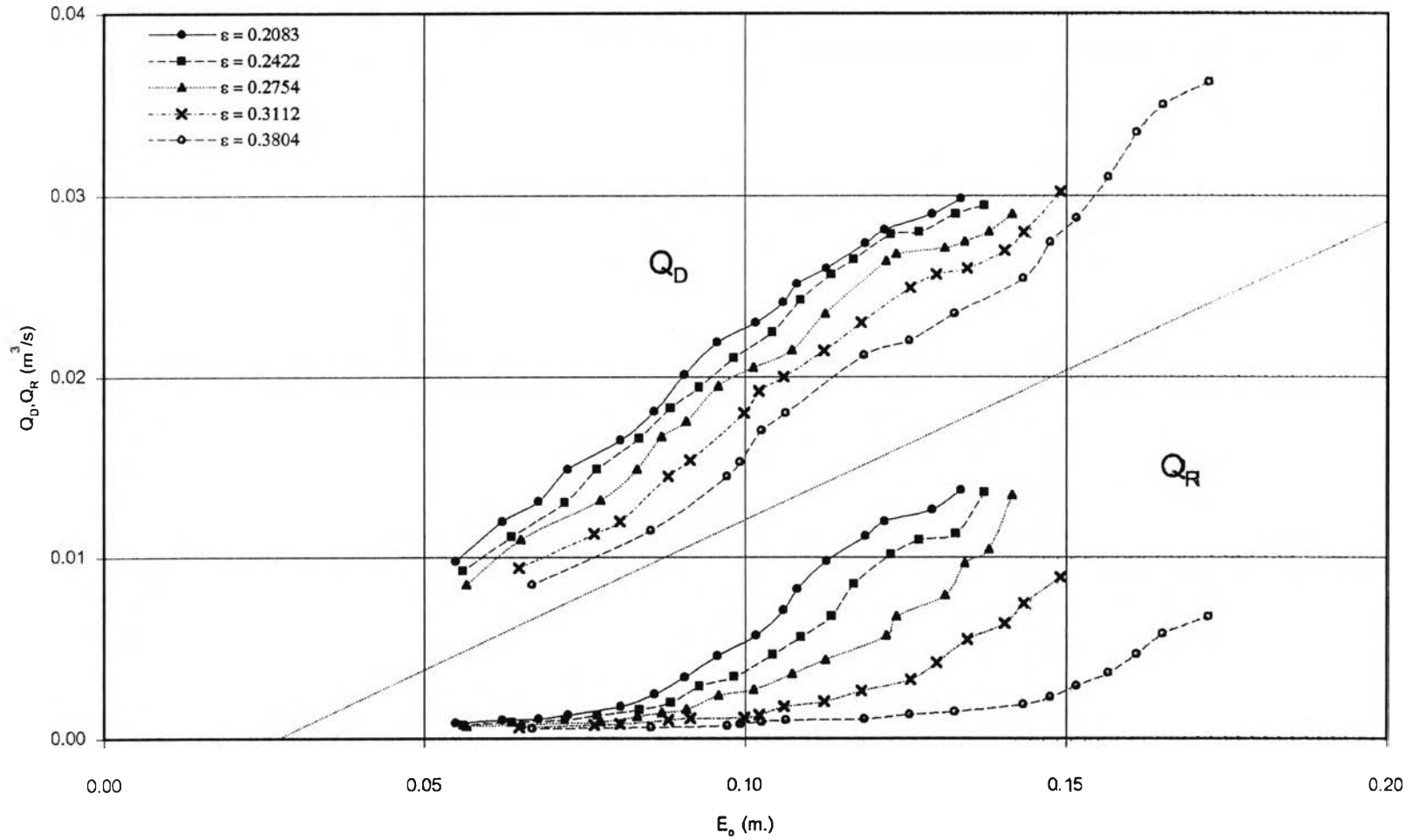
ได้ทำการศึกษาจากแบบจำลองตะแกรงฝัมน้ำ จำนวน 5 แบบ โดยเปลี่ยนแปลงค่าอัตราการไหลเข้าสู่ตะแกรงฝัมน้ำ (Q_0) อยู่ระหว่าง 500 ลิตรต่อนาที ถึง 2000 ลิตรต่อนาที จำนวนแบบละ 16 อัตราการไหล ผลการทดลองและผลการคำนวณทั้งหมดได้รวบรวมไว้ใน ภาคผนวก ก สำหรับผลการศึกษาเบื้องต้นนี้ คือ

6.2.1) ผลเนื่องจากการเปลี่ยนแปลงของพลังงานจำเพาะของการไหลสู่ตะแกรงฝัมน้ำ (E_0) ที่มีต่อ

ก) อัตราการไหลที่ถูกฝันลอดผ่านตะแกรงฝัมน้ำ (Q_p) และอัตราการไหลที่เหลือจากการถูกฝันลอดผ่านตะแกรงฝัมน้ำ (Q_r)

จากรูป 6-12 ซึ่งเป็นความสัมพันธ์ระหว่างอัตราการไหลที่ถูกฝันลอดผ่านตะแกรงฝัมน้ำ (Q_p) และพลังงานจำเพาะของการไหลสู่ตะแกรงฝัมน้ำ (E_0) จะเห็นได้ว่าในแต่ละชุดของตะแกรงฝัมน้ำ ค่าอัตราการไหลที่ถูกฝันลอดผ่านตะแกรงฝัมน้ำ (Q_p) จะแปรผันโดยตรงกับพลังงานจำเพาะของการไหลสู่ตะแกรงฝัมน้ำ (E_0) นอกจากนี้ในรูป 6-12 ยังได้แสดงความสัมพันธ์ระหว่างอัตราการไหลที่ถูกฝันลอดผ่านตะแกรงฝัมน้ำ (Q_p) และพลังงานจำเพาะของการไหลสู่ตะแกรงฝัมน้ำ (E_0) ไว้ด้วยเช่นกัน โดยจะเห็นได้ว่าค่าอัตราการไหลที่เหลือจากการถูกฝันลอดผ่านตะแกรงฝัมน้ำ (Q_r) จะแปรผันโดยตรงกับพลังงานจำเพาะของการไหลสู่ตะแกรงฝัมน้ำ (E_0) เช่นกัน (สำหรับการอธิบายถึงผลที่ได้สามารถให้หลักการเดียวกันกับที่ได้อธิบายไว้ในกรณีที่มีการไหลเข้าสู่ตะแกรงฝัมน้ำเป็นการไหลแบบใต้วิกฤติ ในหัวข้อ 6.1.1 ก)

รูป 8-12 ความสัมพันธ์ระหว่าง Q_D, Q_R และค่า E_o สำหรับการไหลแบบเหนือวิกฤติสู่ตะแกรงฝึบน้ำที่มี ϵ ต่างๆ



ข) สัมประสิทธิ์อัตราการไหลลอดผ่านตะแกรงผิวน้ำ (C_D)

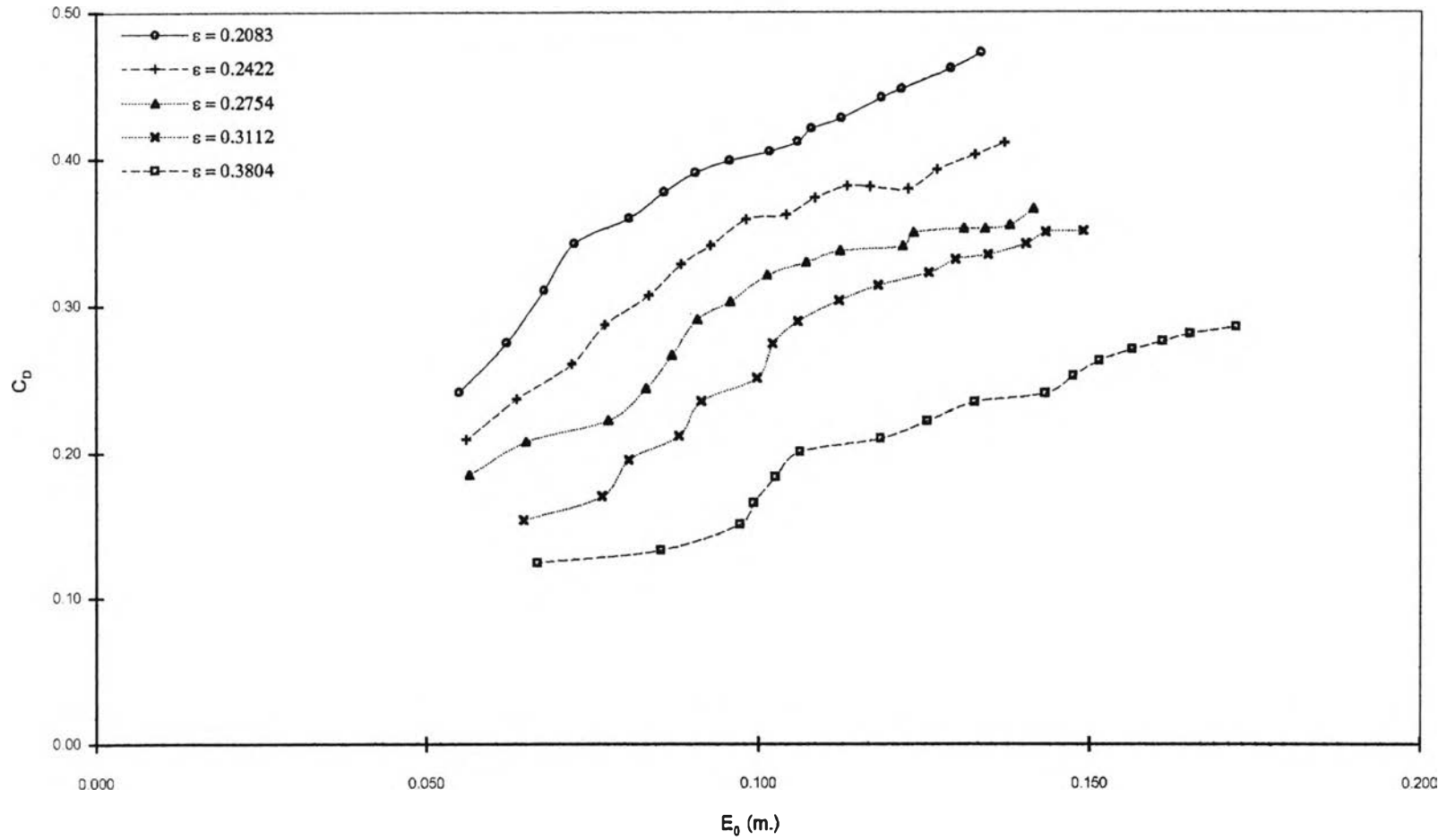
จากกราฟความสัมพันธ์ระหว่างสัมประสิทธิ์อัตราการไหลลอดผ่านตะแกรงผิวน้ำ (C_D) และพลังงานจำเพาะของการไหลเข้าสู่ตะแกรงผิวน้ำ (E_0) (ดูรูป 6-13 ประกอบ) โดยมีค่า E_0 อยู่ระหว่าง 0.0549 เมตร ถึง 0.1721 เมตร พบว่า

พลังงานจำเพาะของการไหลเข้าสู่ตะแกรงผิวน้ำ (E_0) มีผลต่อค่าสัมประสิทธิ์อัตราการไหลลอดผ่านตะแกรงผิวน้ำ (C_D) กล่าวคือ สำหรับตะแกรงผิวน้ำที่มีอัตราส่วนพื้นที่ช่องเปิด (ϵ) ใดๆ ค่าสัมประสิทธิ์อัตราการไหลลอดผ่านตะแกรงผิวน้ำ (C_D) แปรผันโดยตรงกับพลังงานจำเพาะของการไหลเข้าสู่ตะแกรงผิวน้ำ (E_0) เหมือนดังเช่นกรณีที่การไหลเข้าสู่ตะแกรงผิวน้ำเป็นการไหลแบบไดวิกฤติ (สำหรับการอธิบายถึงผลที่ได้สามารถใช้หลักการเดียวกันกับที่ได้อธิบายไว้ในกรณีที่การไหลเข้าสู่ตะแกรงผิวน้ำเป็นการไหลแบบไดวิกฤติ ในหัวข้อ 6.1.1 ข) ซึ่งจากการพิจารณาเส้นกราฟในรูป 6-13 จะเห็นว่าเส้นกราฟไม่ค่อยราบเรียบอันเนื่องมาจากสภาพการไหลที่มีการเปลี่ยนแปลงอัตราการไหลในทางนี้ แต่จากการพิจารณาแนวโน้มของข้อมูลก็สามารถที่จะอธิบายพฤติกรรมของการไหลได้ดังกล่าวข้างต้น

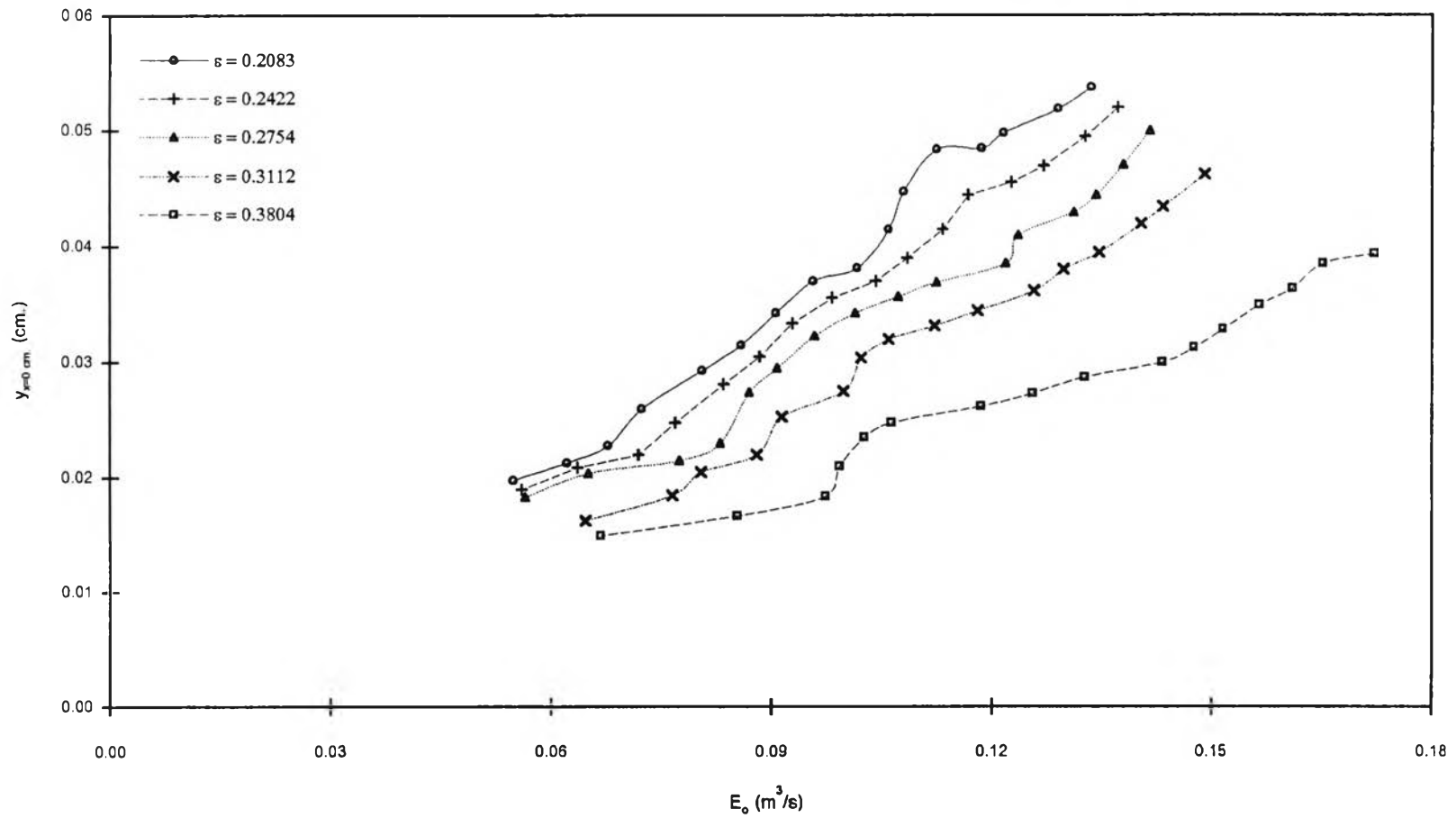
ค) ความลึกการไหลที่หน้าตัดเริ่มต้นของตะแกรงผิวน้ำ ($y_{x=0\text{ cm}}$)

จากกราฟความสัมพันธ์ระหว่างความลึกการไหลที่หน้าตัดเริ่มต้นของตะแกรงผิวน้ำ (ระยะ $x = 0\text{ cm.}$) และพลังงานจำเพาะของการไหลสู่ตะแกรงผิวน้ำ (E_0) (ดูรูป 6-14 ประกอบ) โดยมีค่า พลังงานจำเพาะของการไหลสู่ตะแกรงผิวน้ำ (E_0) อยู่ระหว่าง 0.0549 เมตร ถึง 0.1721 เมตร พบว่าความลึกการไหลที่หน้าตัดเริ่มต้นของตะแกรงผิวน้ำจะแปรผันโดยตรงกับพลังงานจำเพาะของการไหลสู่ตะแกรงผิวน้ำ (E_0) (สำหรับการอธิบายถึงผลที่ได้สามารถใช้หลักการเดียวกันกับที่ได้อธิบายไว้ในกรณีที่การไหลเข้าสู่ตะแกรงผิวน้ำเป็นการไหลแบบไดวิกฤติ ในหัวข้อ 6.1.1 ค) สำหรับลักษณะของเส้นกราฟในรูป 6-14 จะเห็นว่าการเปลี่ยนแปลงความลึกการไหลที่หน้าตัด

รูป 6-13 ความสัมพันธ์ระหว่างค่า C_D และค่า E_0 สำหรับการไหลแบบเหนือวิกฤติสู่ตะแกรงฝัมน้ำที่มี ϵ ต่างๆ



รูป 6-14 ความสัมพันธ์ระหว่างค่า $y_{x=0}$ cm และค่า E_0 สำหรับการไหลแบบเหนือวิกฤติสู่ตะแกรงผ่นน้ำที่มี ϵ ต่างๆ



เริ่มต้นของตะแกรงผืนน้ำ (ระยะ $x = 0$ cm.) จะไม่ค่อยแน่นอน ซึ่งสังเกตจากลักษณะของเส้นกราฟที่ไม่ค่อยราบเรียบ เนื่องจากว่าการไหลในทางน้ำที่มีตะแกรงผืนน้ำอยู่ที่ท้องน้ำจะเป็นการไหลที่มีลักษณะการไหลแบบมีอัตราการไหลไม่คงที่เนื่องจากความปั่นป่วนของการไหลโดยเฉพาะบริเวณใกล้ๆกับทางเข้าของตะแกรงผืนน้ำ ทำให้ลักษณะของความลึกการไหลที่หน้าตัดเริ่มต้นของตะแกรงผืนน้ำ (ระยะ $x = 0$ cm.) มีการเปลี่ยนแปลงแบบไม่ค่อยคงที่เท่าใดนัก

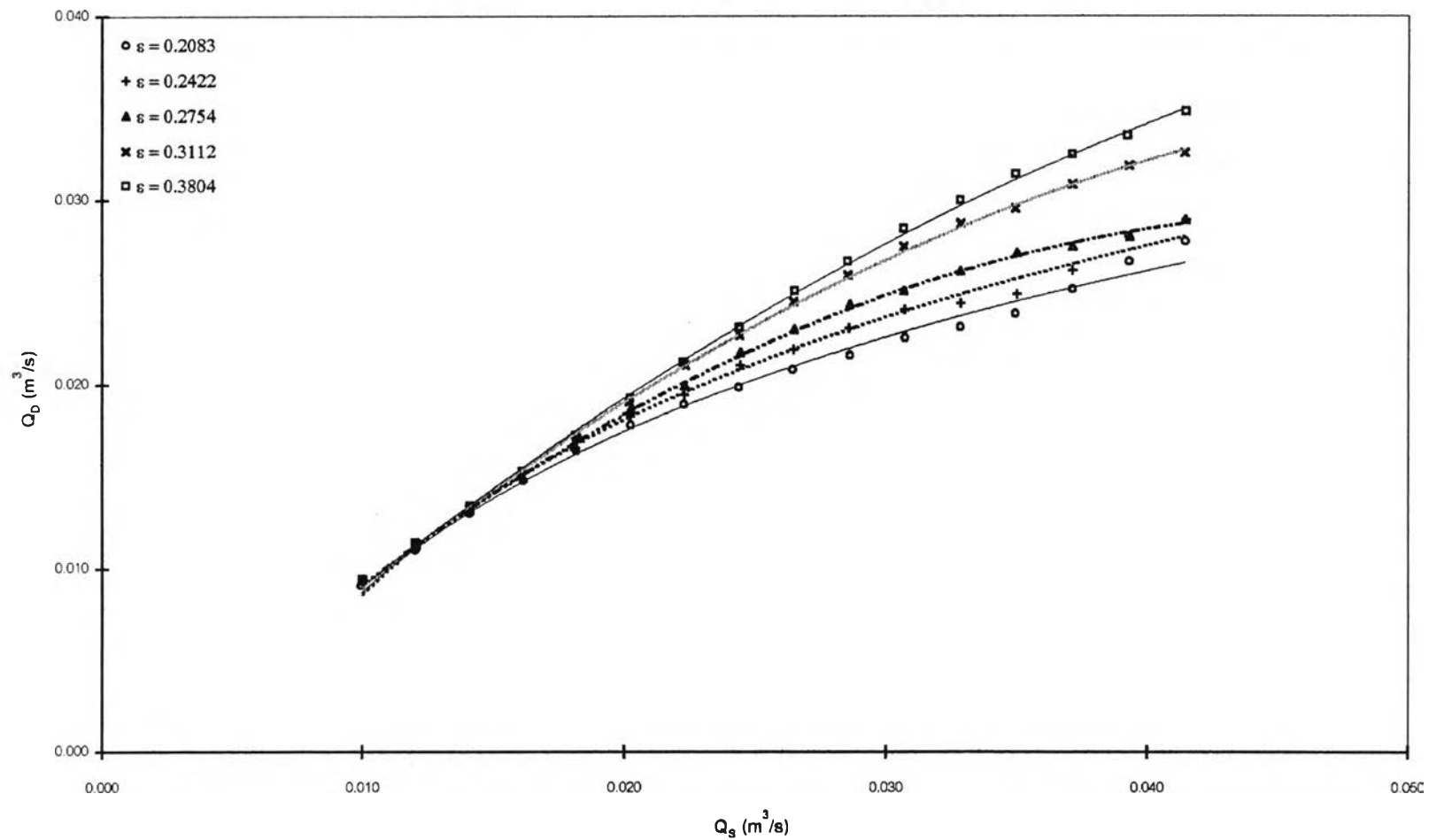
6.2.2) ผลเนื่องจากการเปลี่ยนแปลงของอัตราการไหลเข้าสู่ตะแกรงผืนน้ำ (Q_s) ที่มีต่อ

ก) อัตราการไหลที่ถูกผันลดผ่านตะแกรงผืนน้ำ (Q_o) และอัตราการไหลที่เหลือจากการถูกผันลดผ่านตะแกรงผืนน้ำ (Q_r)

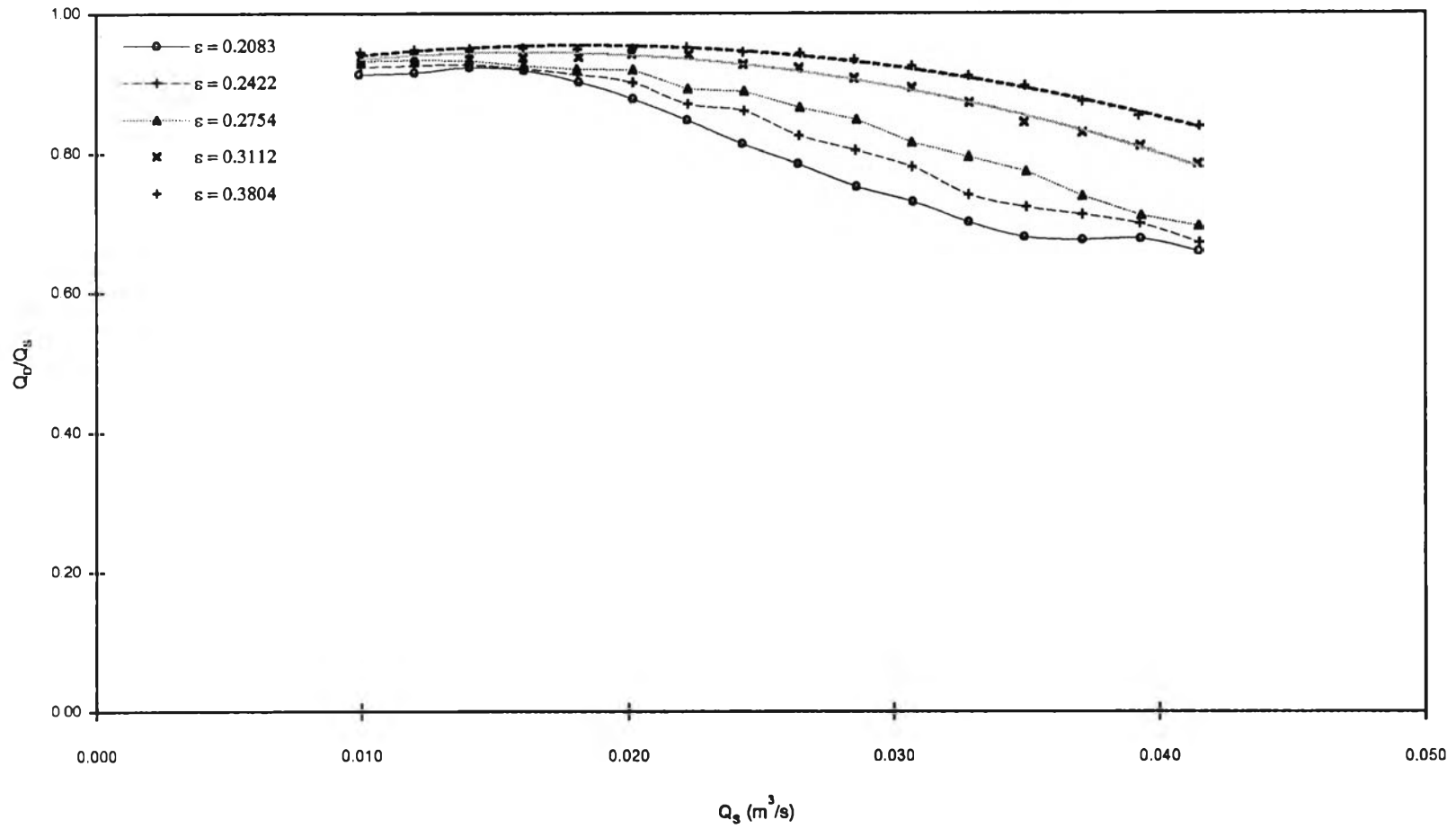
จากรูป 6-15 ซึ่งเป็นความสัมพันธ์ระหว่างอัตราการไหลที่ถูกผันลดผ่านตะแกรงผืนน้ำ (Q_o) และอัตราการไหลเข้าสู่ตะแกรงผืนน้ำ (Q_s) โดยอัตราการไหลเข้าสู่ตะแกรงผืนน้ำ (Q_s) มีค่าอยู่ระหว่าง $0.0100 \text{ m}^3/\text{s}$. ถึง $0.0415 \text{ m}^3/\text{s}$. พบว่าอัตราการไหลที่ถูกผันลดผ่านตะแกรงผืนน้ำ (Q_o)แปรผันโดยตรงกับ อัตราการไหลเข้าสู่ตะแกรงผืนน้ำ (Q_s) ซึ่งแสดงให้เห็นว่าเมื่ออัตราการไหลเข้าสู่ตะแกรงผืนน้ำ (Q_s) มีค่ามากขึ้นจะทำให้ปริมาณน้ำในทางน้ำที่ไหลเข้าสู่ตะแกรงผืนน้ำมีมากขึ้น อันจะส่งผลให้พลังงานจำเพาะของการไหลสู่ตะแกรงผืนน้ำ (E_o) มีค่ามากขึ้นด้วย ซึ่งจะทำให้เกิดมีศักยภาพที่จะผันน้ำให้ไหลลดผ่านตะแกรงผืนน้ำได้มากขึ้นด้วย ปริมาณน้ำจึงถูกผันออกมามาก ในทางกลับกันเมื่ออัตราการไหลเข้าสู่ตะแกรงผืนน้ำ (Q_s) มีค่าน้อยลงจะทำให้ปริมาณน้ำในทางน้ำที่ไหลเข้าสู่ตะแกรงผืนน้ำมีน้อยลง อันจะส่งผลให้พลังงานจำเพาะของการไหลสู่ตะแกรงผืนน้ำ (E_o) มีค่าน้อยลงด้วย ซึ่งจะทำให้เกิดมีศักยภาพที่จะผันน้ำให้ไหลลดผ่านตะแกรงผืนน้ำได้น้อยลง ปริมาณน้ำจึงถูกผันออกมาน้อย

นอกจากนี้หากพิจารณารูป 6-16 ซึ่งเป็นการแสดงความสัมพันธ์ระหว่าง (Q_o/Q_s) และ Q_s จะพบว่าค่า (Q_o/Q_s) แปรผกผันกับ Q_s ซึ่งหมายความว่าเมื่ออัตราการไหลเข้าสู่ตะแกรงผืนน้ำ

รูป 6-15 ความสัมพันธ์ระหว่างค่า Q_D และ Q_S สำหรับการไหลแบบเหนือวิกฤตในท่อขนาดคงที่ที่มี ϵ ต่างๆ



รูป 6-16 ความสัมพันธ์ระหว่างค่า Q_p/Q_s และค่า Q_s สำหรับกาขไหลแบบเหนือวิกฤติสุดในแกว่งน้ำที่มี ϵ ต่าง ๆ



(Q_s) มีค่าเพิ่มขึ้น แนวโน้มของอัตราการเพิ่มขึ้นของอัตราการไหลที่ถูกผันลดผ่านตะแกรงฝัมน้ำ (Q_o) จะมีค่าลดลง

ในทำนองเดียวกันหากพิจารณารูป 6-17 ซึ่งเป็นการแสดงความสัมพันธ์ระหว่าง อัตราการไหลที่เหลือจากการถูกผันลดผ่านตะแกรงฝัมน้ำ (Q_r) และอัตราการไหลเข้าสู่ตะแกรงฝัมน้ำ (Q_s) จะพบว่าอัตราการไหลที่เหลือจากการถูกผันลดผ่านตะแกรงฝัมน้ำ (Q_r) แปรผันโดยตรงกับ อัตราการไหลเข้าสู่ตะแกรงฝัมน้ำ (Q_s)

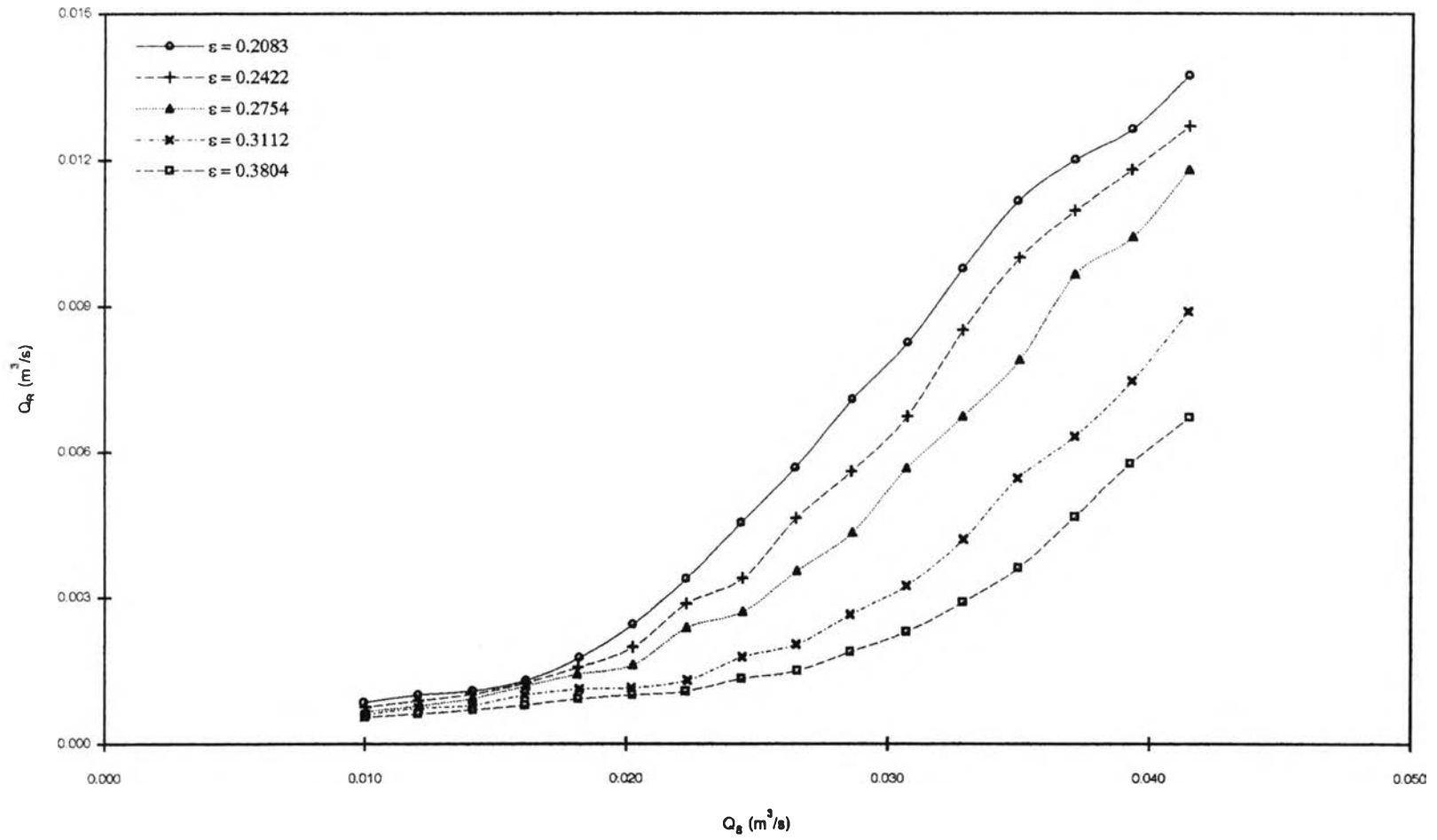
อนึ่ง หากพิจารณาในรูป 6-18 ซึ่งเป็นการแสดงความสัมพันธ์ระหว่าง (Q_r/Q_s) และ Q_s จะพบว่าค่า (Q_r/Q_s) แปรผันโดยตรงกับ Q_s ซึ่งหมายความว่าเมื่ออัตราการไหลเข้าสู่ตะแกรงฝัมน้ำ (Q_s) มีค่าเพิ่มขึ้น แนวโน้มของอัตราการเพิ่มขึ้นของอัตราการไหลที่เหลือจากการถูกผันลดผ่านตะแกรงฝัมน้ำ (Q_r) จะมีค่าเพิ่มสูงขึ้นซึ่งสังเกตได้จากที่อัตราการไหลเข้าสู่ตะแกรงฝัมน้ำ (Q_s) สูงๆ เส้นกราฟจะมีความชันค่อนข้างมาก

จากความคล้ายคลึงของพฤติกรรมการไหลข้างต้นของการไหลสู่ตะแกรงฝัมน้ำแบบได้ วิกฤติและเหนือวิกฤติ จึงสามารถนำหลักการที่ใช้อธิบายในหัวข้อ 6.1.2 ก) มาใช้อธิบายความสัมพันธ์ระหว่างอัตราการไหลที่ถูกผันลดผ่านตะแกรงฝัมน้ำ (Q_o) และอัตราการไหลที่เหลือจากการถูกผันลดผ่านตะแกรงฝัมน้ำ (Q_r) กับอัตราการไหลเข้าสู่ตะแกรงฝัมน้ำ (Q_s) ในกรณีที่มีการไหลสู่ตะแกรงฝัมน้ำเป็นการไหลแบบเหนือวิกฤติได้เช่นกัน

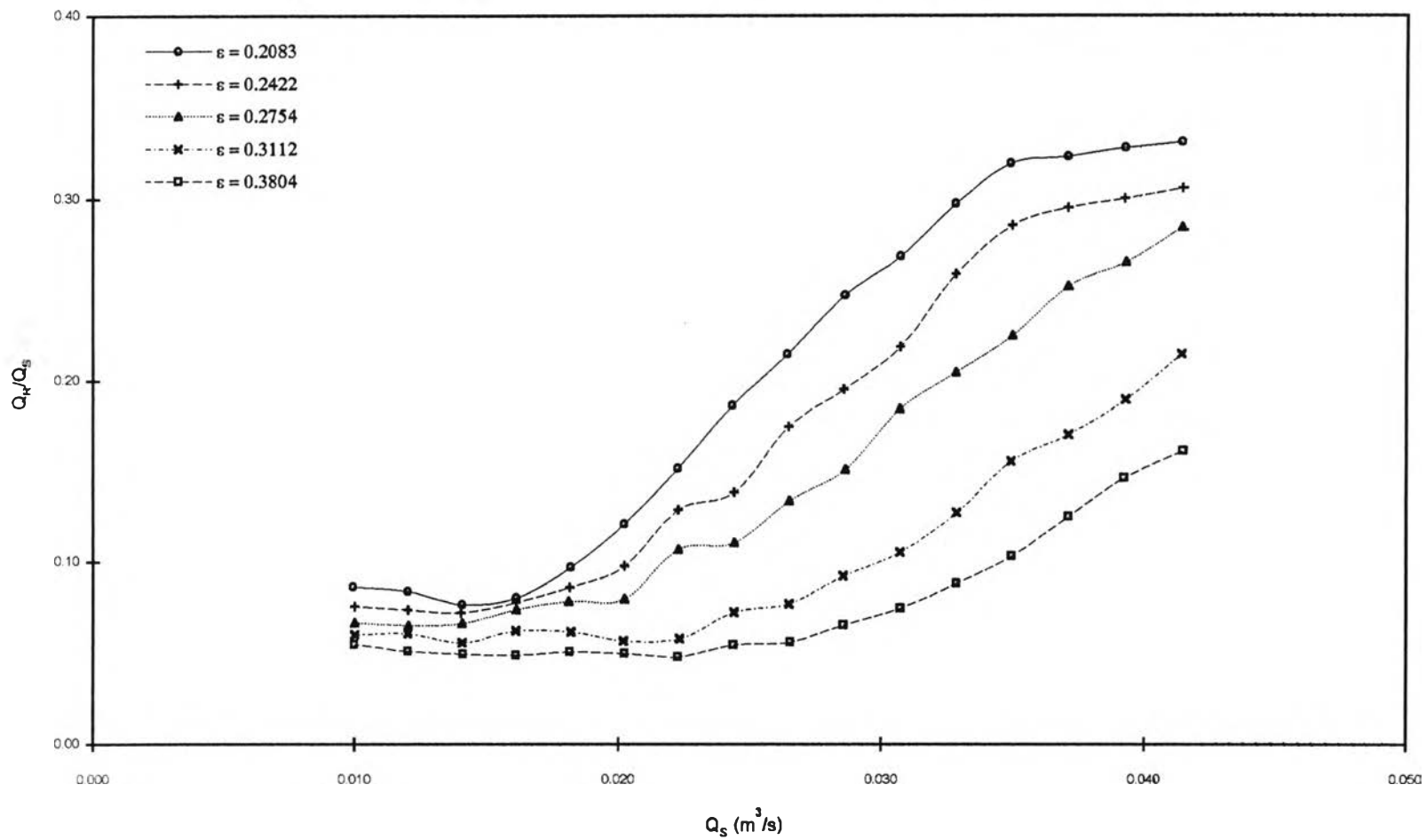
ข) สัมประสิทธิ์อัตราการไหลลดผ่านตะแกรงฝัมน้ำ (C_o)

จากรูป 6-19 ซึ่งแสดงความสัมพันธ์ระหว่างสัมประสิทธิ์อัตราการไหลลดผ่านตะแกรงฝัมน้ำ (C_o) และอัตราการไหลเข้าสู่ตะแกรงฝัมน้ำ (Q_s) โดยอัตราการไหลเข้าสู่ตะแกรงฝัมน้ำ (Q_s) มีค่าอยู่ระหว่าง $0.0100 \text{ m}^3/\text{s}$. ถึง $0.0415 \text{ m}^3/\text{s}$. พบว่า

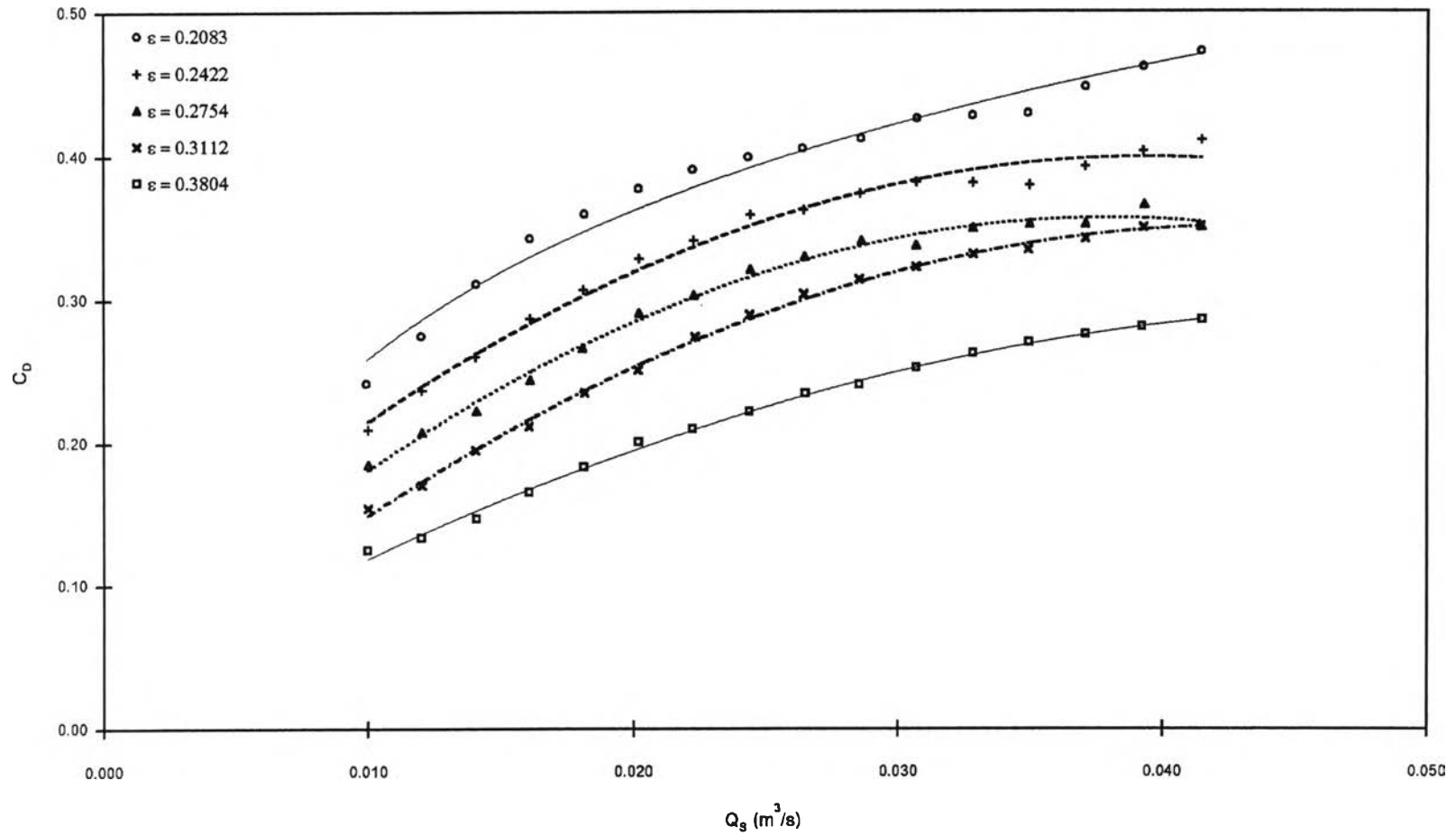
รูป 6-17 ความสัมพันธ์ระหว่างค่า Q_R และค่า Q_S สำหรับการไหลแบบเหนือวิกฤติสู่ตะแกองมันน้ำที่มี ϵ ต่างๆ



รูป 8-18 ความสัมพันธ์ระหว่างค่า Q_R/Q_S และค่า Q_S สำหรับการไหลแบบเหนือวิกฤติสู่ตะแกรงฝัมน้ำที่มี ϵ ต่างๆ



รูป 6-19 ความสัมพันธ์ระหว่างค่า C_D และค่า Q_g สำหรับการไหลแบบเหนือวิกฤติสู่ตะแกรงผิวน้ำที่มี ϵ ต่างๆ



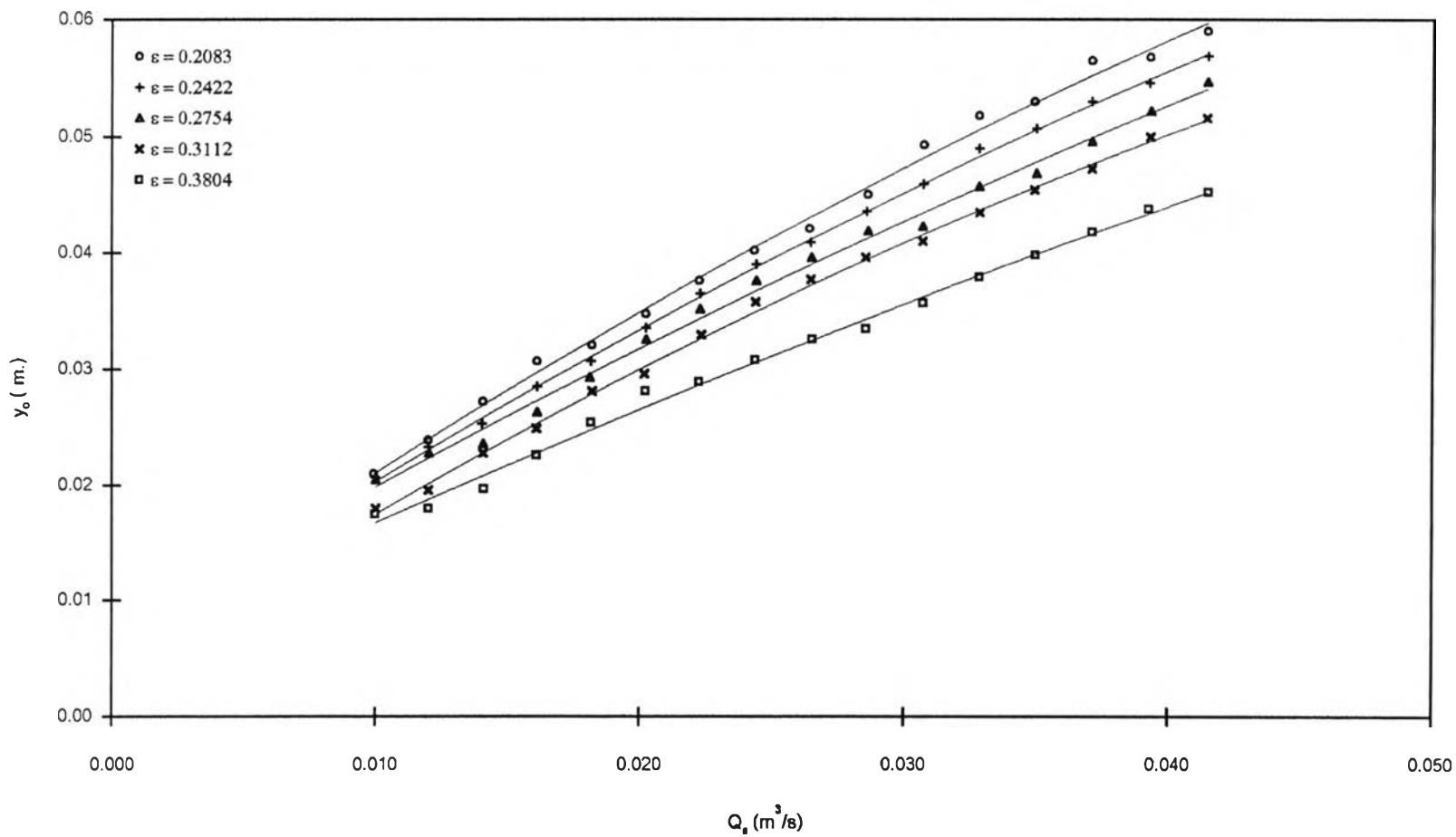
ในแต่ละชุดของตะแกรงผืนน้ำ สัมประสิทธิ์อัตราการไหลลอดผ่านตะแกรงผืนน้ำ (C_D) จะแปรผันโดยตรงกับอัตราการไหลเข้าสู่ตะแกรงผืนน้ำ (Q_S) ซึ่งสามารถอธิบายถึงผลที่ได้โดยใช้หลักการเดียวกันกับที่ใช้ในหัวข้อ 6.1.2 ข) นอกจากนี้จากรูป 6-19 ยังพบอีกว่าเมื่ออัตราการไหลเข้าสู่ตะแกรงผืนน้ำ (Q_S) เพิ่มขึ้นเรื่อยๆ ค่าสัมประสิทธิ์อัตราการไหลลอดผ่านตะแกรงผืนน้ำ (C_D) จะมีการเปลี่ยนแปลงน้อยมาก ซึ่งสามารถอธิบายได้เช่นเดียวกับที่ได้อธิบายไว้ในหัวข้อ 6.1.2 ข)

ค) ความลึกการไหลที่หน้าตัดต่างๆ ก่อนถึงตะแกรงผืนน้ำ

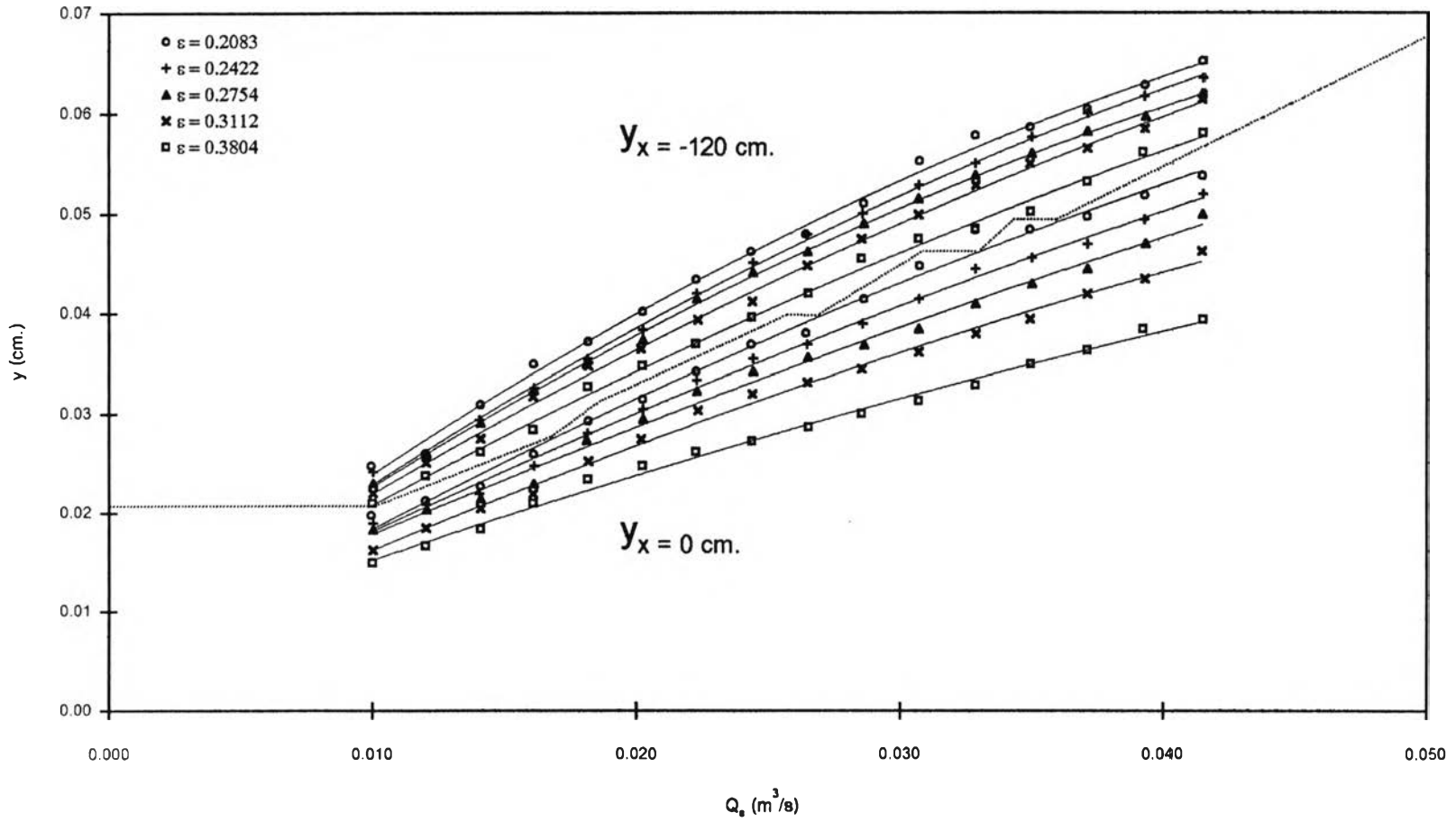
จากรูป 6-20 และรูป 6-21 ซึ่งเป็นการแสดงความสัมพันธ์ระหว่างความลึกการไหลที่หน้าตัดใดๆ (ได้แก่ ความลึกการไหลที่หน้าตัดที่อยู่ห่างจากหน้าตัดเริ่มต้นของตะแกรงผืนน้ำไปทางเหนือน้ำเป็นระยะ 5 เท่าของความลึกการไหลที่หน้าตัดเริ่มต้นของตะแกรงผืนน้ำ (y_0), ความลึกการไหลที่หน้าตัดที่อยู่ห่างจากหน้าตัดเริ่มต้นของตะแกรงผืนน้ำไปทางเหนือน้ำเป็นระยะ 120 เซนติเมตร ($y_{x=120\text{ cm}}$), หน้าตัดเริ่มต้นของตะแกรงผืนน้ำ ($y_{x=0\text{ cm}}$)) กับอัตราการไหลเข้าสู่ตะแกรงผืนน้ำ (Q_S) โดยอัตราการไหลเข้าสู่ตะแกรงผืนน้ำ (Q_S) มีค่าอยู่ระหว่าง $0.0100\text{ m}^3/\text{s}$. ถึง $0.0415\text{ m}^3/\text{s}$. พบว่า

ในแต่ละชุดของตะแกรงผืนน้ำ ความลึกการไหลที่หน้าตัดใดๆ ก่อนถึงตะแกรงผืนน้ำ จะแปรผันโดยตรงกับอัตราการไหลเข้าสู่ตะแกรงผืนน้ำ (Q_S) เนื่องจากในการไหลในทางน้ำที่มีหน้าตัดคงตัวใดๆ ความลึกการไหลในทางน้ำจะแปรผันโดยตรงกับอัตราการไหลในทางน้ำนั้น และจากรูป 6-20 และรูป 6-21 ยังพบอีกว่าสำหรับตะแกรงผืนน้ำที่มีอัตราสวนพื้นที่ช่องเปิด (ϵ) ใดๆ และมีอัตราการไหลเข้าสู่ตะแกรงผืนน้ำ (Q_S) ใดๆ ความลึกการไหลจะลดลงจาก $y_{x=120\text{ cm}}$ ไปสู่ y_0 และ $y_{x=0\text{ cm}}$ ตามลำดับ (สำหรับผลการทดลองวัดค่าความลึกการไหลที่ระยะต่างๆ ในทางน้ำ นอกเหนือจากที่แสดงไว้ในรูป 6-20 และรูป 6-21 สามารถดูรายละเอียดได้ใน ภาคผนวก จ)

รูป 6-20 ความสัมพันธ์ระหว่างค่า y_0 และค่า Q_1 สำหรับการไหลแบบเหนือวิกฤตที่ระดับน้ำตลิ่งชันที่มี ϵ ต่างๆ



รูป 6-21 ความสัมพันธ์ระหว่างค่า $y_{x=0 \text{ cm.}}$, $y_{x=-120 \text{ cm.}}$ และค่า Q_0 สำหรับการไหลแบบเหนือวิกฤติสู่ตะแกรงผันน้ำที่ ϵ ต่างๆ



6.2.3) ผลเนื่องจากการเปลี่ยนแปลงของอัตราส่วนพื้นที่ช่องเปิดของตะแกรงผัมน้ำ (E) ที่มีต่อ

ก) อัตราการไหลที่ถูกผัมนลอดผ่านตะแกรงผัมน้ำ (Q_p) และอัตราการไหลที่เหลือจากการถูกผัมนลอดผ่านตะแกรงผัมน้ำ (Q_r)

จากรูป 6-15 ซึ่งเป็นความสัมพันธ์ระหว่างอัตราการไหลที่ถูกผัมนลอดผ่านตะแกรงผัมน้ำ (Q_p) และอัตราการไหลเข้าสู่ตะแกรงผัมน้ำ (Q_s) สำหรับตะแกรงผัมน้ำที่มีอัตราส่วนพื้นที่ช่องเปิด (E) ต่างๆ พบว่าขนาดช่องเปิดของตะแกรงผัมน้ำมีผลต่อค่าอัตราการไหลที่ถูกผัมนลอดผ่านตะแกรงผัมน้ำ (Q_p) โดยพบว่าหากพิจารณาที่อัตราการไหลเข้าสู่ตะแกรงผัมน้ำ (Q_s) เดียวกัน จะได้ว่าอัตราการไหลที่ถูกผัมนลอดผ่านตะแกรงผัมน้ำ (Q_p) แปรผันโดยตรงกับอัตราส่วนพื้นที่ช่องเปิดของตะแกรงผัมน้ำ (E) และหากพิจารณากราฟความสัมพันธ์ระหว่าง อัตราการไหลที่เหลือจากการถูกผัมนลอดผ่านตะแกรงผัมน้ำ (Q_r) กับอัตราการไหลเข้าสู่ตะแกรงผัมน้ำ (Q_s) (ดูรูป 6-17 ประกอบ) จะพบว่า อัตราส่วนพื้นที่ช่องเปิดของตะแกรงผัมน้ำ (E) มีผลต่ออัตราการไหลที่เหลือจากการถูกผัมนลอดผ่านตะแกรงผัมน้ำ (Q_r) กล่าวคือ หากพิจารณาที่อัตราการไหลเข้าสู่ตะแกรงผัมน้ำ (Q_s) เดียวกัน จะได้ว่า อัตราการไหลที่เหลือจากการถูกผัมนลอดผ่านตะแกรงผัมน้ำ (Q_r) แปรผกผันกับกับอัตราส่วนพื้นที่ช่องเปิดของตะแกรงผัมน้ำ, E ซึ่งเป็นการแสดงให้เห็นว่าการเปลี่ยนแปลงขนาดพื้นที่ช่องเปิดของตะแกรงผัมน้ำจะมีผลโดยตรงต่ออัตราการไหลที่ถูกผัมนลอดผ่านตะแกรงผัมน้ำ (Q_p) และอัตราการไหลที่เหลือจากการถูกผัมนลอดผ่านตะแกรงผัมน้ำ (Q_r) ดังนี้คือ

หากมีการเพิ่มขึ้นของพื้นที่ช่องเปิดของตะแกรงผัมน้ำจะทำให้หน้าที่ไหลเข้าสู่ตะแกรงผัมน้ำถูกผัมนออกไปได้มาก ส่งผลให้น้ำที่เหลือจากการถูกผัมนลอดผ่านตะแกรงผัมน้ำมีปริมาณน้อยลงในทางกลับกันหากมีการลดพื้นที่ช่องเปิดของตะแกรงผัมน้ำจะทำให้หน้าที่ไหลเข้าสู่ตะแกรงผัมน้ำถูกผัมนออกไปได้น้อยลง ส่งผลให้น้ำที่เหลือจากการถูกผัมนลอดผ่านตะแกรงผัมน้ำมีปริมาณเพิ่มขึ้น



ข) สัมประสิทธิ์อัตราการไหลลอดผ่านตะแกรงผิวน้ำ (C_p)

จากกราฟความสัมพันธ์ระหว่าง สัมประสิทธิ์อัตราการไหลลอดผ่านตะแกรงผิวน้ำ (C_p) และอัตราการไหลที่ถูกผิวน้ำลอดผ่านตะแกรงผิวน้ำ (Q_0) (ดูรูป 6-22 ประกอบ) โดยมีค่าอัตราการไหลที่ถูกผิวน้ำลอดผ่านตะแกรงผิวน้ำ (Q_0) อยู่ระหว่าง $0.0091 \text{ m}^3/\text{s}$. ถึง $0.0348 \text{ m}^3/\text{s}$. พบว่า

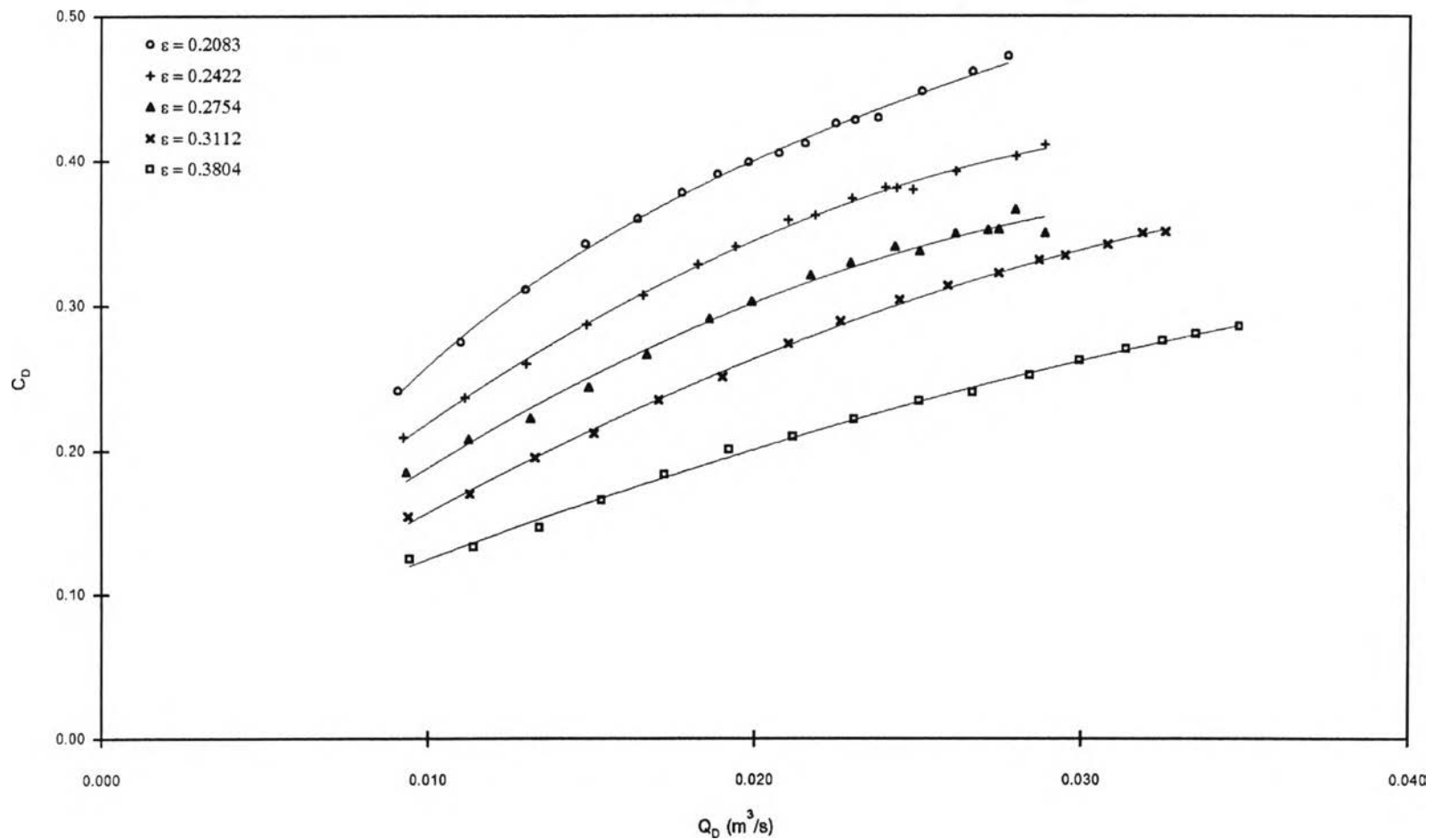
อัตราส่วนพื้นที่ช่องเปิดของตะแกรงผิวน้ำ (E) มีผลต่อสัมประสิทธิ์อัตราการไหลลอดผ่านตะแกรงผิวน้ำ (C_p) โดยจะพบว่า หากพิจารณาที่อัตราการไหลที่ถูกผิวน้ำลอดผ่านตะแกรงผิวน้ำ (Q_0) เดียวกัน ค่าสัมประสิทธิ์อัตราการไหลลอดผ่านตะแกรงผิวน้ำ (C_p) แปรผกผันกับขนาดพื้นที่ช่องเปิดหรืออัตราส่วนพื้นที่ช่องเปิดของตะแกรงผิวน้ำ (E) (คำอธิบายใช้หลักการเช่นเดียวกับที่ได้อธิบายไว้ในหัวข้อ 6.1.3 ข))

ค) ความลึกการไหลที่หน้าตัดต่างๆ ก่อนถึงตะแกรงผิวน้ำ

จากกราฟความสัมพันธ์ระหว่างความลึกการไหลที่ระยะต่างๆ ในทางน้ำ ($y_0, y_{x=0 \text{ cm}}$ และ $y_{x=-120 \text{ cm}}$) และอัตราการไหลเข้าสู่ตะแกรงผิวน้ำ (Q_0) (ดูรูป 6-20 และรูป 6-21 ประกอบ) โดยมีค่าอัตราการไหลเข้าสู่ตะแกรงผิวน้ำ (Q_0) อยู่ระหว่าง $0.0100 \text{ m}^3/\text{s}$. ถึง $0.0415 \text{ m}^3/\text{s}$. พบว่า

อัตราส่วนพื้นที่ช่องเปิดของตะแกรงผิวน้ำ (E) มีผลต่อค่าความลึกการไหลที่ระยะต่างๆ ในทางน้ำ กล่าวคือหากพิจารณาที่อัตราการไหลเข้าสู่ตะแกรงผิวน้ำ (Q_0) เดียวกัน จะพบว่าค่าความลึกการไหล ไม่ว่าจะ เป็นความลึกการไหลที่หน้าตัดซึ่งอยู่ห่างจากตะแกรงผิวน้ำไปทางเหนือ น้ำเป็นระยะ 120 เซนติเมตร ($y_{x = -120 \text{ cm}}$) , ความลึกการไหลที่จุดเริ่มต้นของตะแกรงผิวน้ำ ($y_{x = 0 \text{ cm}}$) หรือความลึกการไหลที่หน้าตัด x_0 (อยู่ห่างจากหน้าตัด $x=0 \text{ cm}$. ไปทางเหนือ น้ำเป็นระยะ 5 เท่าของ $y_{x = 0 \text{ cm}}$ จะแปรผกผันกับอัตราส่วนพื้นที่ช่องเปิดของตะแกรงผิวน้ำ (E) ซึ่งแสดงให้เห็นว่า หากตะแกรงผิวน้ำมีขนาดพื้นที่ช่องเปิดน้อยๆ น้ำก็จะถูกผิวน้ำออกไปจากทางน้ำได้น้อยทำให้ระดับ

รูป 6-22 ความสัมพันธ์ระหว่างค่า C_D และค่า Q_D สำหรับการไหลแบบเหนือวิกฤตที่ตะแกรงชันน้ำที่มี ϵ ต่างๆ



น้ำลดลงไม่มาก ในทางกลับกันหากเพิ่มพื้นที่ช่องเปิดของตะแกรงผืนน้ำให้มากขึ้น น้ำก็ถูกผืนออกไปจากทางน้ำได้มากขึ้นด้วย ทำให้ระดับน้ำในทางน้ำลดลงมากขึ้น (สำหรับผลการทดลองวัดค่าความลึกการไหลที่ระยะต่างๆในทางน้ำ นอกเหนือจากที่แสดงไว้ในรูป 6-20 และรูป 6-21 สามารถดูรายละเอียดได้ใน ภาคผนวก ๑)

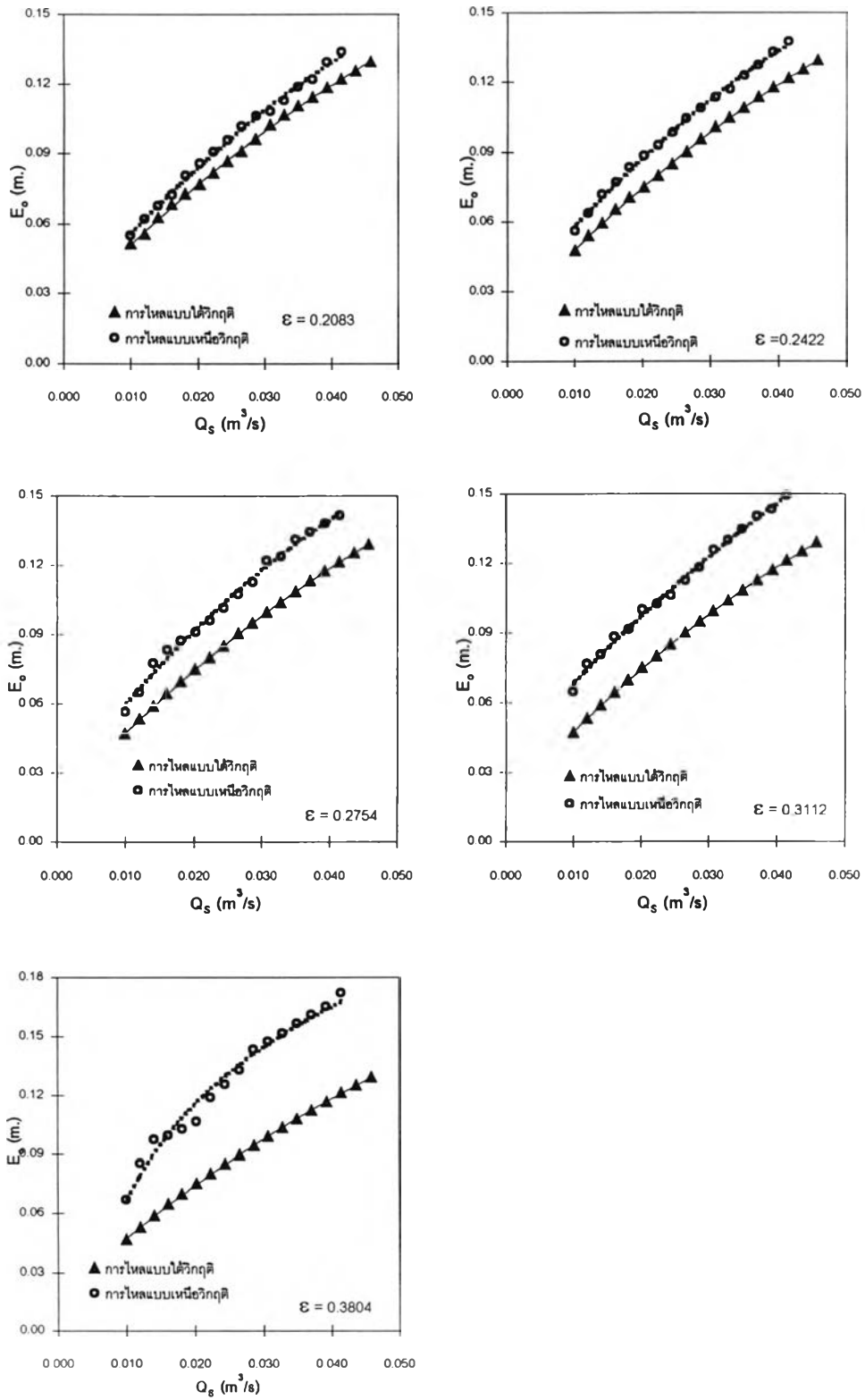
6.3 การเปรียบเทียบพฤติกรรมการไหลทั่วไปของการไหลสู่ตะแกรงผืนน้ำที่เป็นการไหลแบบได้วิกฤติและการไหลแบบเหนื่อวิกฤติ

จากผลการทดลองศึกษาสภาพการไหลเข้าสู่ตะแกรงผืนน้ำทั้งที่เป็นการไหลแบบได้วิกฤติและการไหลแบบเหนื่อวิกฤติ ทำให้สามารถเปรียบเทียบความแตกต่างของพฤติกรรมการไหลที่เกิดจากการไหลทั้ง 2 แบบได้ดังนี้

6.3.1 การเปรียบเทียบพลังงานจำเพาะของการไหลสู่ตะแกรงผืนน้ำ (E_o)

จากรูป 6-23 ซึ่งเป็นการเปรียบเทียบความสัมพันธ์ระหว่าง ค่าพลังงานจำเพาะของการไหลสู่ตะแกรงผืนน้ำ (E_o) และอัตราการไหลเข้าสู่ตะแกรงผืนน้ำ (Q_s) ไม่ว่าจะเป็นการไหลแบบได้วิกฤติหรือการไหลแบบเหนื่อวิกฤติ จะพบว่าในแต่ละชุดของตะแกรงผืนน้ำ ค่าพลังงานจำเพาะของการไหลเข้าสู่ตะแกรงผืนน้ำ (E_o) จะแปรผันโดยตรงกับอัตราการไหลเข้าสู่ตะแกรงผืนน้ำ (Q_s) นอกจากนี้หากพิจารณาที่ค่าอัตราการไหลเข้าสู่ตะแกรงผืนน้ำ (Q_s) เดียวกัน จะพบว่าค่าพลังงานจำเพาะของการไหลเข้าสู่ตะแกรงผืนน้ำ (E_o) ของการไหลแบบเหนื่อวิกฤติมีค่าสูงกว่าค่าพลังงานจำเพาะของการไหลเข้าสู่ตะแกรงผืนน้ำ (E_o) ของการไหลแบบได้วิกฤติ โดยจะมีผลต่างของพลังงานจำเพาะมากขึ้นเมื่ออัตราส่วนพื้นที่ช่องเปิดของตะแกรงเพิ่มขึ้น

สำหรับสาเหตุที่พลังงานจำเพาะ (E_o) ของการไหลแบบเหนื่อวิกฤติสู่ตะแกรงผืนน้ำมีค่าสูงกว่าพลังงานจำเพาะ (E_o) ของการไหลแบบได้วิกฤติสู่ตะแกรงผืนน้ำ เมื่อเป็นการไหลสู่ตะแกรงผืนน้ำด้วยอัตราการไหลเดียวกันสามารถอธิบายได้ดังนี้คือ

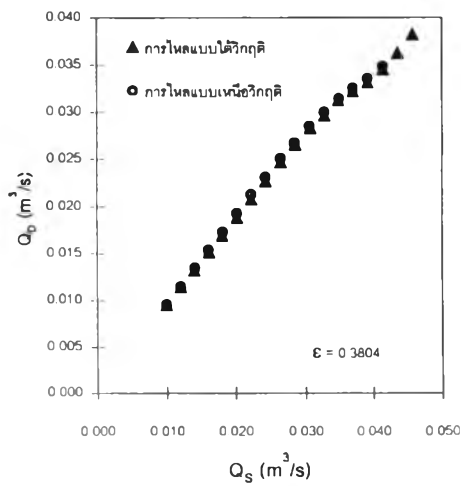
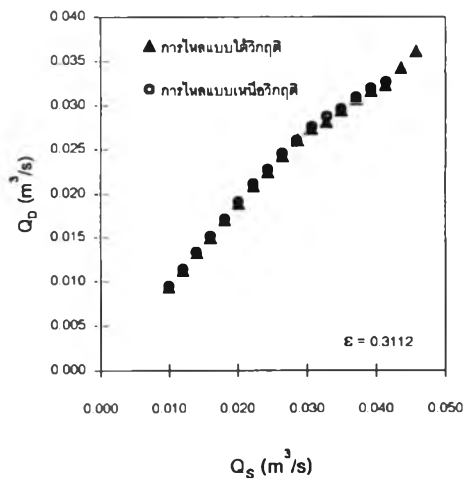
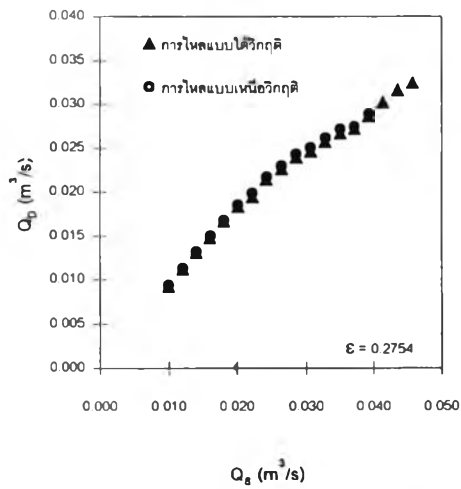
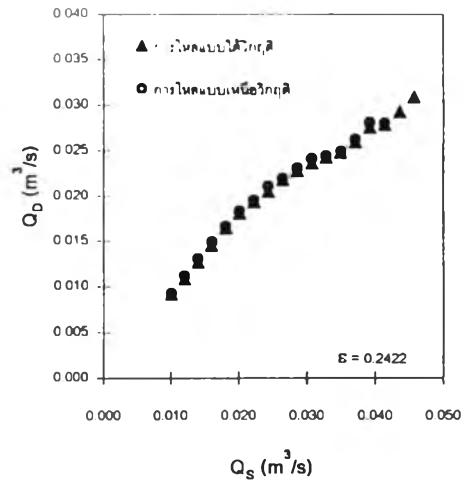
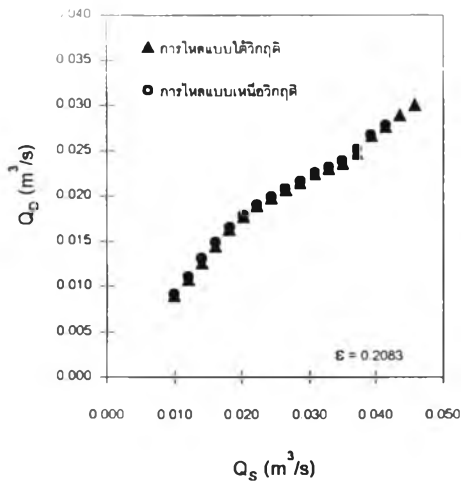


รูป 6-23 เปรียบเทียบความสัมพันธ์ระหว่างค่า E_o และ Q_s ของการไหลแบบใต้วิกฤติและเหนือวิกฤติ

- ก) สภาพทางน้ำไม่เหมือนกัน เนื่องจากในการศึกษาในครั้งนี้ การไหลสู่ตะแกรงผิวน้ำที่เป็นกรไหลแบบได้วิกฤติห้องน้ำของทางน้ำจะอยู่ในแนวราบ ส่วนการไหลแบบเหนือวิกฤติห้องน้ำของทางน้ำจะมีความลาดเอียงจากเหนือน้ำไปยังท้ายน้ำ
- ข) จากคำนิยามเกี่ยวกับพลังงานจำเพาะของการไหลเข้าสู่ตะแกรงผิวน้ำ (E_0) ที่กล่าวไว้ในบทที่ 2 ที่ว่าจะทำการหาค่า E_0 โดยทำการวัดค่า y_0 บริเวณหน้าตัดที่อยู่ห่างจากหน้าตัดเริ่มต้นของตะแกรงผิวน้ำไปทางเหนือน้ำเป็นระยะทาง 5 เท่าของความลึกการไหลที่หน้าตัดเริ่มต้นของตะแกรงผิวน้ำ ซึ่งในการไหลแบบเหนือวิกฤติสู่ตะแกรงผิวน้ำ สภาพการไหลจะเป็นการไหลด้วยความลึกการไหลที่ต่ำโดยเฉพาะอย่างยิ่งที่หน้าตัดทางเข้าของตะแกรงผิวน้ำจะมีการลดระดับความลึกการไหลลงมากกว่าการไหลแบบได้วิกฤติ ทำให้ตำแหน่งหน้าตัดที่จะใช้วัดค่า y_0 อยู่ไม่ห่างจากหน้าตัดทางเข้าของตะแกรงผิวน้ำมากนัก ทำให้ค่า y_0 ที่วัดค่าได้มีค่าไม่สูงนักและน่าจะมีค่าน้อยกว่าความลึกการไหลที่เป็นระดับน้ำต่ำ (low stage) ของการไหลแบบเหนือวิกฤติ ซึ่งเป็นความลึกสลับ (alternate depth) ของความลึกการไหลที่เป็นระดับน้ำสูง (high stage) ของการไหลแบบได้วิกฤติ สำหรับอัตราการไหลเดียวกัน ดังนั้นหากพิจารณาเส้นโค้ง $E = f(y)$ สำหรับอัตราการไหลใดๆ (ที่กล่าวไว้ในหัวข้อ 2.2.5) ในสภาพการไหลที่เป็นกรไหลแบบเหนือวิกฤติเมื่อความลึกการไหลลดลงจะทำให้ค่าพลังงานจำเพาะมีค่าสูงขึ้น ดังนั้นที่อัตราการไหลเดียวกันเข้าสู่ตะแกรงผิวน้ำค่าพลังงานจำเพาะของการไหลแบบเหนือวิกฤติจะมีค่าสูงกว่าค่าพลังงานจำเพาะของการไหลแบบได้วิกฤติ ดังผลการศึกษาที่ได้ในรูป 6-23

6.3.2) การเปรียบเทียบค่าอัตราการไหลที่ถูกผันลดผ่านตะแกรงผิวน้ำ (Q_0)

พิจารณาจากรูป 6-24 ซึ่งเป็นการเปรียบเทียบความสัมพันธ์ระหว่างค่าอัตราการไหลที่ถูกผันลดผ่านตะแกรงผิวน้ำ (Q_0) กับอัตราการไหลเข้าสู่ตะแกรงผิวน้ำ (Q_1) ของการไหลแบบได้วิกฤติและการไหลแบบเหนือวิกฤติ จะพบว่าในแต่ละชุดของตะแกรงผิวน้ำนั้นหากพิจารณาที่ค่า

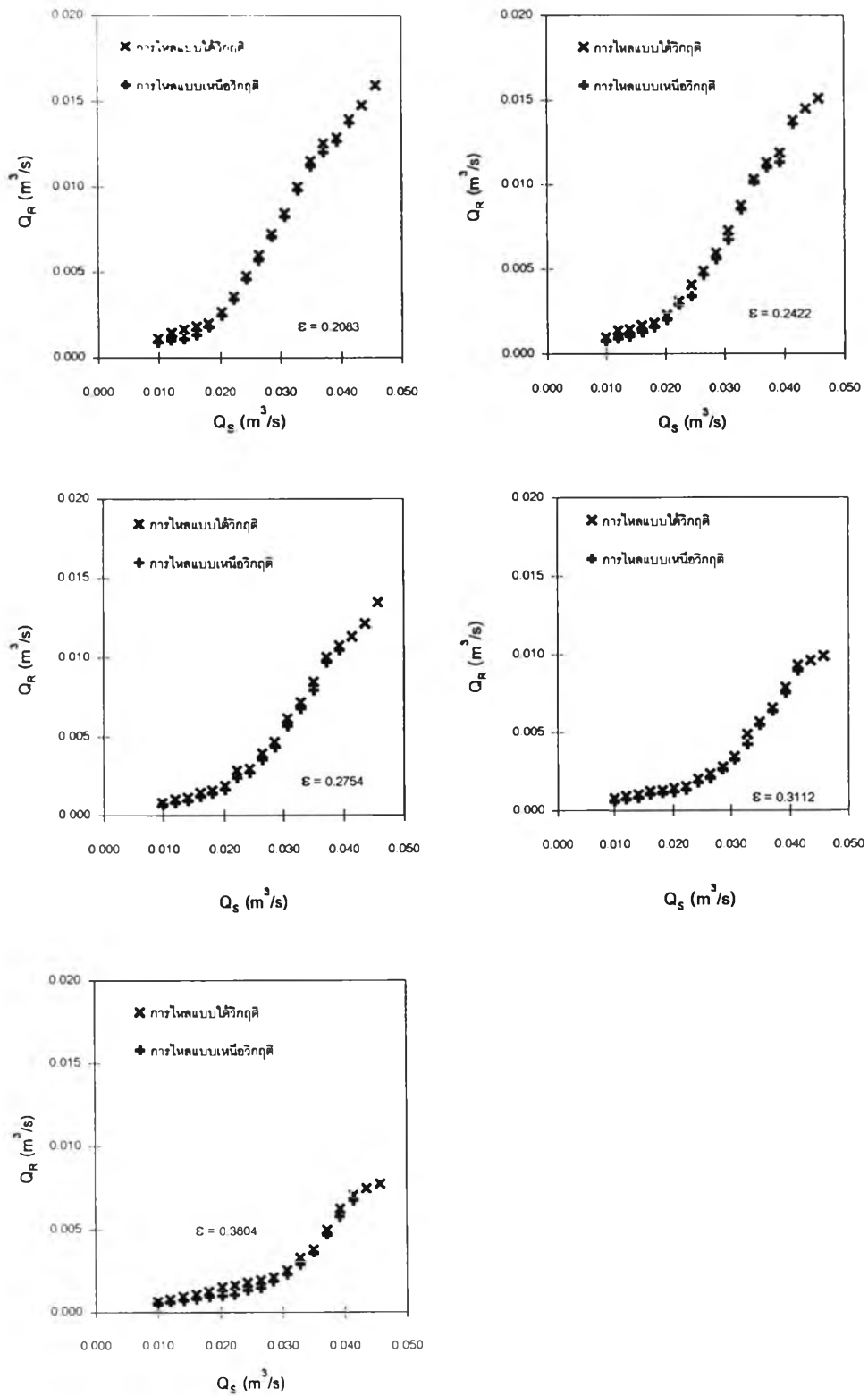


รูป 6-24 เปรียบเทียบความสัมพันธ์ระหว่าง Q_D และ Q_S ของการไหลแบบไดวิกฤติและเหนือวิกฤติ

อัตราการไหลเข้าสู่ตะแกรงผิวน้ำ (Q_s) เดียวกัน จะเห็นว่าค่าอัตราการไหลที่ถูกผันลดผ่านตะแกรงผิวน้ำ (Q_0) ของการไหลแบบเหนือวิกฤติจะมีค่าสูงกว่าการไหลแบบใต้วิกฤติเพียงเล็กน้อย ซึ่งมีสาเหตุมาจากหากพิจารณารูป 6-23 และคำอธิบายในหัวข้อ 6.3.1) จะพบว่าค่าพลังงานจำเพาะของการไหลเข้าสู่ตะแกรงผิวน้ำ (E_0) ของการไหลแบบเหนือวิกฤติมีค่าสูงกว่าค่าพลังงานจำเพาะของการไหลเข้าสู่ตะแกรงผิวน้ำ (E_0) ของการไหลแบบใต้วิกฤติ ดังนั้นจึงทำให้การไหลแบบเหนือวิกฤติมีศักย์หรือพลังงานที่จะผันน้ำให้ไหลลอดผ่านตะแกรงผิวน้ำได้มากกว่าการไหลแบบใต้วิกฤติ ทำให้อัตราการไหลที่ถูกผันลดผ่านตะแกรงผิวน้ำ (Q_0) ของการไหลแบบเหนือวิกฤติจะมีค่าสูงกว่าการไหลแบบใต้วิกฤติดังกล่าวข้างต้น

6.3.3) การเปรียบเทียบค่าอัตราการไหลที่เหลือจากการถูกผันลดผ่านตะแกรงผิวน้ำ (Q_r)

พิจารณาจากรูป 6-25 ซึ่งเป็นการเปรียบเทียบความสัมพันธ์ระหว่างค่าอัตราการไหลที่เหลือจากการถูกผันลดผ่านตะแกรงผิวน้ำ (Q_r) กับอัตราการไหลเข้าสู่ตะแกรงผิวน้ำ (Q_s) ของการไหลแบบใต้วิกฤติและการไหลแบบเหนือวิกฤติ จะพบว่าในแต่ละชุดของตะแกรงผิวน้ำนั้นหากพิจารณาที่ค่าอัตราการไหลเข้าสู่ตะแกรงผิวน้ำ (Q_s) เดียวกัน จะเห็นว่าค่าอัตราการไหลที่เหลือจากการถูกผันลดผ่านตะแกรงผิวน้ำ (Q_r) ของการไหลแบบใต้วิกฤติจะมีค่าสูงกว่าการไหลแบบเหนือวิกฤติเพียงเล็กน้อย ซึ่งมีสาเหตุมาจากหากพิจารณารูป 6-23 และคำอธิบายในหัวข้อ 6.3.1) จะพบว่าค่าพลังงานจำเพาะของการไหลเข้าสู่ตะแกรงผิวน้ำ (E_0) ของการไหลแบบใต้วิกฤติมีค่าต่ำกว่าค่าพลังงานจำเพาะของการไหลเข้าสู่ตะแกรงผิวน้ำ (E_0) ของการไหลแบบเหนือวิกฤติ ดังนั้นจึงทำให้การไหลแบบใต้วิกฤติมีศักย์หรือพลังงานที่จะผันน้ำให้ไหลลอดผ่านตะแกรงผิวน้ำได้น้อยกว่าการไหลแบบเหนือวิกฤติ และด้วยเหตุที่หากพิจารณาที่อัตราการไหลเข้าสู่ตะแกรงผิวน้ำ (Q_s) เดียวกัน อัตราการไหลที่เหลือจากการถูกผันลดผ่านตะแกรงผิวน้ำ (Q_r) ของการไหลแบบใต้วิกฤติมีค่าสูงกว่าการไหลแบบเหนือวิกฤติดังกล่าวข้างต้น

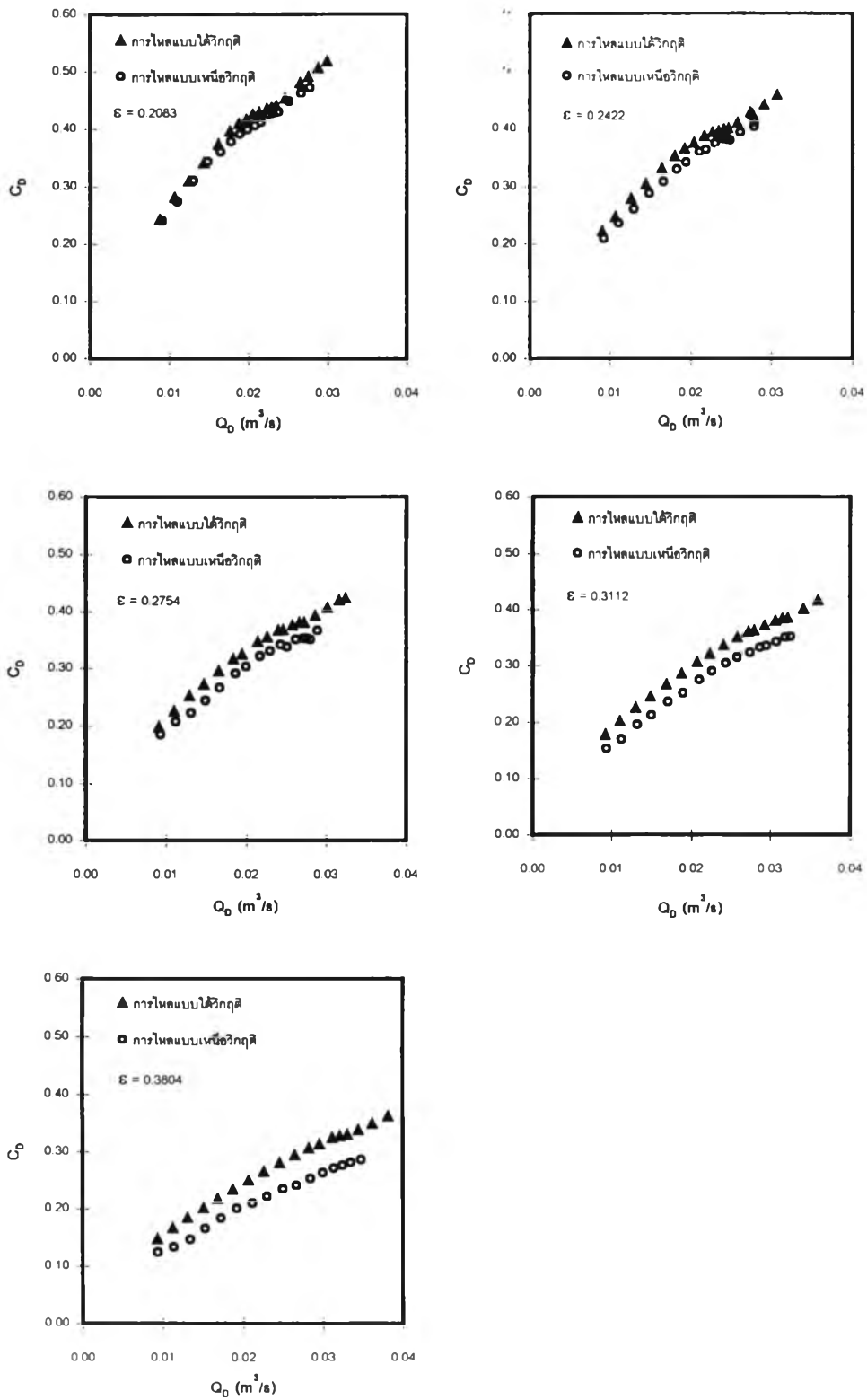


รูป 6-25 เปรียบเทียบความสัมพันธ์ระหว่าง Q_R และ Q_S ของการไหลแบบไดวิกฤติและเหนือวิกฤติ

จากการพิจารณาเส้นกราฟรูป 6-25 ต่อไปจะยังพบอีกว่า โดยส่วนใหญ่แล้วในช่วงที่มี อัตราการไหลเข้าสู่ตะแกรงผิวน้ำ (Q_s) ต่ำๆ แนวโน้มการเพิ่มขึ้นของอัตราการไหลที่เหลือจากการถูกผันลวดผ่านตะแกรงผิวน้ำ (Q_r) จะมีการเพิ่มขึ้นด้วยอัตราที่ไม่สูงนัก แต่เมื่ออัตราการไหลเข้าสู่ ตะแกรงผิวน้ำ (Q_s) มีค่าเพิ่มขึ้นเรื่อยๆ การเพิ่มขึ้นของอัตราการไหลที่เหลือจากการถูกผันลวด ผ่านตะแกรงผิวน้ำ (Q_r) ก็จะเริ่มเพิ่มขึ้นด้วยอัตราที่สูงขึ้น ดังเช่นที่ได้อธิบายไปแล้วในหัวข้อก่อน หน้านี้เกี่ยวกับขีดจำกัดความสามารถในการผันน้ำของตะแกรงผิวน้ำแต่ละขนาด นอกจากนี้แล้ว ตะแกรงผิวน้ำใดที่มีอัตราส่วนพื้นที่ช่องเปิด (ϵ) น้อยๆ น้ำก็จะถูกผันออกไปได้น้อย แนวโน้มการ เพิ่มขึ้นของอัตราการไหลที่เหลือจากการถูกผันลวดผ่านตะแกรงผิวน้ำ (Q_r) เมื่ออัตราการไหลเข้าสู่ ตะแกรงผิวน้ำ (Q_s) เพิ่มขึ้นก็จะยังมีมาก ดังจะเห็นในรูป 6-25 สำหรับตะแกรงผิวน้ำที่มี $\epsilon = 0.2083$, 0.2422 และ 0.2754 ในทางกลับกันตะแกรงผิวน้ำใดที่มีอัตราส่วนพื้นที่ช่องเปิด (ϵ) สูง น้ำก็จะถูกผันออกไปได้มาก แนวโน้มการเพิ่มขึ้นของอัตราการไหลที่เหลือจากการถูกผันลวด ผ่านตะแกรงผิวน้ำ (Q_r) เมื่ออัตราการไหลเข้าสู่ตะแกรงผิวน้ำ (Q_s) เพิ่มขึ้นก็จะไม่เพิ่มสูงมากนัก เมื่อเทียบกับตะแกรงผิวน้ำที่มีอัตราส่วนพื้นที่ช่องเปิด (ϵ) น้อยๆ ดังจะเห็นในรูป 6-25 สำหรับ ตะแกรงผิวน้ำที่มี $\epsilon = 0.3112$ และ 0.3804

6.3.4) การเปรียบเทียบสัมประสิทธิ์อัตราการไหลลวดผ่านตะแกรงผิวน้ำ (C_o)

พิจารณาจากรูป 6-26 ซึ่งเป็นการเปรียบเทียบความสัมพันธ์ระหว่างค่าสัมประสิทธิ์อัตรา การไหลลวดผ่านตะแกรงผิวน้ำ (C_o) และอัตราการไหลที่ถูกผันลวดผ่านตะแกรงผิวน้ำ (Q_o) ของ การไหลเข้าสู่ตะแกรงผิวน้ำแบบไดวิกฤติ กับการไหลเข้าสู่ตะแกรงผิวน้ำแบบเหนือวิกฤติจะพบว่า หากพิจารณาที่อัตราการไหลที่ถูกผันลวดผ่านตะแกรงผิวน้ำ (Q_o) เดียวกันจะได้ว่า ค่าสัมประสิทธิ์ อัตราการไหลลวดผ่านตะแกรงผิวน้ำ (C_o) ในกรณีที่มีการไหลเข้าสู่ตะแกรงผิวน้ำแบบไดวิกฤติจะมี ค่าสูงกว่าค่าสัมประสิทธิ์อัตราการไหลลวดผ่านตะแกรงผิวน้ำ (C_o) ในกรณีที่มีการไหลเข้าสู่ ตะแกรงผิวน้ำแบบเหนือวิกฤติ ซึ่งสามารถอธิบายได้โดยการพิจารณา รูป 6-23 และคำอธิบายใน หัวข้อ 6.3.1) จะเห็นได้ว่าค่าพลังงานจำเพาะของการไหลเข้าสู่ตะแกรงผิวน้ำ (E_o) ของการไหล



รูป 6-26 เปรียบเทียบความสัมพันธ์ระหว่างค่า C_D และ Q_D ของการไหลแบบไดวิกฤติและเหนือวิกฤติ

แบบไดวิกฤติมีค่าน้อยกว่าค่าพลังงานจำเพาะของการไหลเข้าสู่ตะแกรงผิวน้ำ (E_o) ของการไหลแบบเหนือวิกฤติ ดังนั้นการไหลเข้าสู่ตะแกรงผิวน้ำแบบไดวิกฤติจึงมีศักย์หรือพลังงานที่จะมาผิวน้ำได้น้อยกว่า ดังนั้นในการที่จะผิวน้ำให้ได้อัตราการผิวน้ำเท่าๆกัน ตะแกรงผิวน้ำที่มีการไหลเข้าสู่ตะแกรงแบบไดวิกฤติจึงจะต้องมีสัมประสิทธิ์อัตราการไหลลอดผ่านตะแกรง(C_o) สูงกว่าตะแกรงผิวน้ำที่มีการไหลเข้าสู่ตะแกรงแบบเหนือวิกฤติ

ในการทำงานเดียวกันหากสัมประสิทธิ์อัตราการไหลลอดผ่านตะแกรงผิวน้ำ (C_o) มีค่าคงที่ อัตราการไหลที่ถูกผิวน้ำลอดผ่านตะแกรงผิวน้ำ (Q_o) ที่เกิดจากการไหลสู่ตะแกรงผิวน้ำแบบเหนือวิกฤติจะมีค่าสูงกว่าของการไหลแบบไดวิกฤติ เนื่องจากในการไหลแบบเหนือวิกฤติพลังงานจำเพาะของการไหลสู่ตะแกรงผิวน้ำ (E_o) มีค่าสูงกว่าพลังงานจำเพาะ (E_o) ของการไหลแบบไดวิกฤติ

6.3.5) การเปรียบเทียบความลึกการไหลในทางน้ำที่เกิดจากการไหลแบบไดวิกฤติ และการไหลแบบเหนือวิกฤติ

ในการเปรียบเทียบความลึกการไหลในทางน้ำจะทำการเปรียบเทียบความลึกการไหล 2 ส่วนใหญ่ๆ คือ

ก) ความลึกการไหลที่หน้าตัดต่างๆก่อนที่จะถึงตะแกรงผิวน้ำ

จากการพิจารณารูป 6-9 ,รูป 6-10 ซึ่งเป็นความสัมพันธ์ระหว่างความลึกการไหลที่หน้าตัดต่างๆก่อนถึงตะแกรงผิวน้ำในกรณีที่มีการไหลเข้าสู่ตะแกรงผิวน้ำเป็นการไหลแบบไดวิกฤติ และ รูป 6-20, รูป 6-21 ซึ่งเป็นความสัมพันธ์ระหว่างความลึกการไหลที่หน้าตัดต่างๆก่อนถึงตะแกรงผิวน้ำในกรณีที่มีการไหลเข้าสู่ตะแกรงผิวน้ำเป็นการไหลแบบเหนือวิกฤติ รวมทั้งผลการทดลองวัดค่าความลึกการไหลในทางน้ำก่อนถึงตะแกรงผิวน้ำใน ภาคผนวก ๑ จะพบว่า

ที่อัตราการไหลเข้าสู่ตะแกรงผิวน้ำ (Q_s) ใดๆ ความลึกการไหลที่หน้าตัดต่างๆก่อนถึงตะแกรงผิวน้ำของการไหลเข้าสู่ตะแกรงแบบได้วิกฤติจะมีค่าสูงกว่าการไหลเข้าสู่ตะแกรงแบบเหนือวิกฤติ เนื่องจากในการไหลของอัตราการไหลใดๆในทางน้ำ ความลึกการไหลของการไหลแบบได้วิกฤติจะมีค่าสูงกว่าการไหลแบบเหนือวิกฤติโดยมีความลึกวิกฤติของแต่ละอัตราการไหลเป็นตัวแบ่ง

ข) ความลึกการไหลเหนือตะแกรงผิวน้ำ

หากพิจารณาผลการทดลองวัดค่าความลึกการไหลในทางน้ำก่อนถึงตะแกรงผิวน้ำในกรณีที่มีการไหลเข้าสู่ตะแกรงผิวน้ำเป็นการไหลแบบได้วิกฤติและเหนือวิกฤติใน ภาคผนวก ๑ จะพบว่า

สำหรับการไหลเข้าสู่ตะแกรงผิวน้ำที่มีอัตราส่วนพื้นที่ช่องเปิดใดๆ ด้วยอัตราการไหลหนึ่งๆ ความลึกการไหลเหนือตะแกรงผิวน้ำในกรณีที่มีการไหลเข้าสู่ตะแกรงเป็นการไหลแบบเหนือวิกฤติจะมีค่าต่ำกว่าความลึกการไหลเหนือตะแกรงผิวน้ำในกรณีที่มีการไหลเข้าสู่ตะแกรงเป็นการไหลแบบได้วิกฤติ เนื่องจากในการไหลแบบเหนือวิกฤตินั้นจะไหลด้วยความลึกการไหลต่ำๆเข้าสู่ตะแกรงผิวน้ำ รวมทั้งพลังงานจำเพาะของการไหลสู่ตะแกรงผิวน้ำจะมีค่าสูงกว่าการไหลแบบได้วิกฤติ จึงมีศักยภาพที่จะผิวน้ำให้ไหลลอดผ่านตะแกรงผิวน้ำไปได้มากกว่าส่งผลให้มีการลดลงของความลึกการไหลเหนือตะแกรงได้มากกว่ากรณีที่มีการไหลเข้าสู่ตะแกรงเป็นการไหลแบบได้วิกฤติ

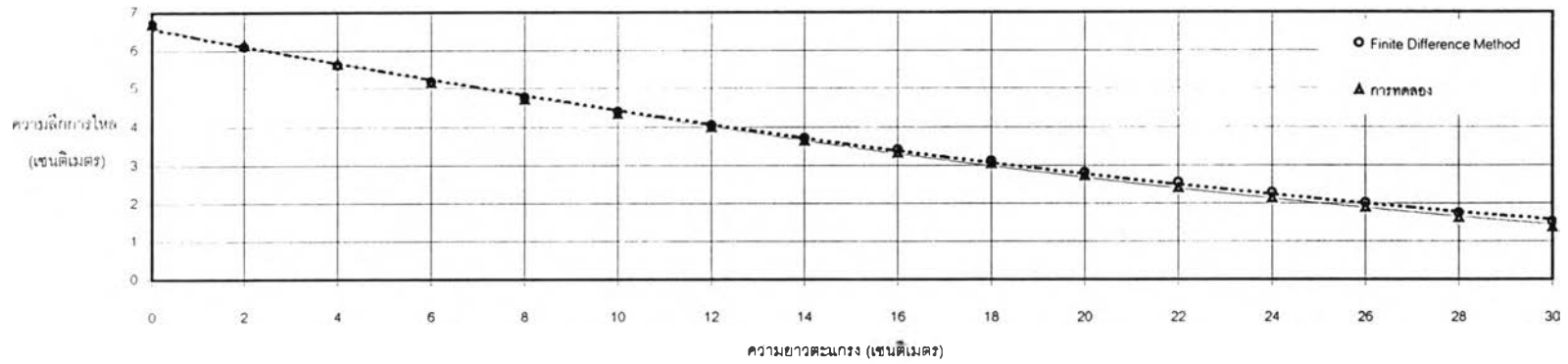
6.4 การเปรียบเทียบความลึกการไหลเหนือตะแกรงฝัมน้ำที่ได้จากวิธี Finite Difference Method และจากการทดลอง

6.4.1) เปรียบเทียบความลึกการไหลเหนือตะแกรงฝัมน้ำ

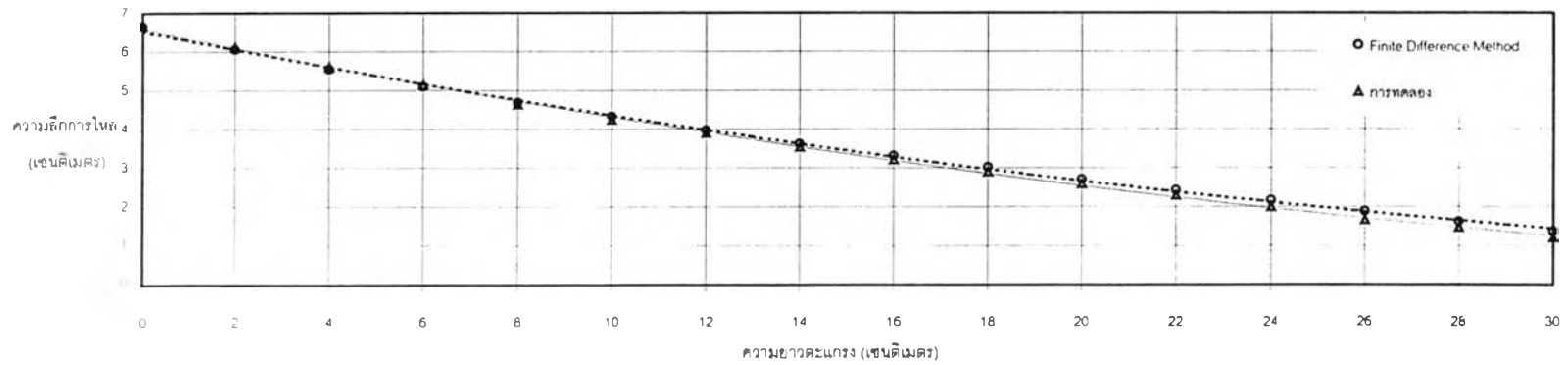
ในการศึกษาวิจัยในครั้งนี้ส่วนหนึ่งจะทำการศึกษาถึงความลึกการไหลเหนือตะแกรงฝัมน้ำทั้งจากการทดลองกับแบบจำลองและจากการคำนวณในทางทฤษฎี ผลการวัดค่าความลึกการไหลจากการทดลองแสดงไว้ใน ภาคผนวก ข ส่วนการคำนวณในทางทฤษฎีนั้นจะใช้วิธี Finite Difference Method ดังรายละเอียดในบทที่ 4 และวิธีการคำนวณใน ภาคผนวก จ เมื่อนำความลึกการไหลเหนือตะแกรงฝัมน้ำทั้งจากการทดลองกับแบบจำลองและจากการคำนวณในทางทฤษฎีมาแสดงความสัมพันธ์เทียบกับระยะต่างๆ ตามแนวตะแกรงฝัมน้ำ ซึ่งจะทำให้ได้กราฟหน้าข้างการไหลของฝัมน้ำ (Water Surface Profiles) เหนือตะแกรงฝัมน้ำที่อัตราการไหลต่างๆ ของแต่ละชุดตะแกรงฝัมน้ำซึ่งได้แสดงตัวอย่างบางส่วนไว้ใน ภาคผนวก ค

จากรูป 6-27 ถึงรูป 6-36 เป็นตัวอย่างการเปรียบเทียบความลึกการไหลเหนือตะแกรงฝัมน้ำที่อัตราการไหลสูงสุดของแต่ละชุดตะแกรงฝัมน้ำ จะเห็นได้ว่าโดยส่วนใหญ่แล้วไม่ว่าการไหลเข้าสู่ตะแกรงฝัมน้ำจะเป็นการไหลแบบได้วิกฤติหรือการไหลแบบเหนือวิกฤติ ช่วงต้นๆของความยาวตะแกรงฝัมน้ำ (ระหว่าง 0 และ 8 เซนติเมตร) ค่าความลึกการไหลที่คำนวณได้จากวิธี Finite Difference Method จะมีค่าน้อยกว่าความลึกการไหลที่วัดค่าได้จากการทดลองเพียงเล็กน้อย แต่เมื่อการไหลผ่านช่วงต้นๆดังกล่าวของตะแกรงฝัมน้ำมาแล้ว ความลึกการไหลที่คำนวณได้จากวิธี Finite Difference Method จะมีค่ามากกว่าความลึกการไหลที่วัดค่าได้จากการทดลองและเป็นเช่นนี้ตลอดไปจนสุดความยาวของตะแกรงฝัมน้ำ สำหรับสาเหตุที่ส่วนใหญ่แล้วความลึกการไหลที่คำนวณได้ได้จากวิธี Finite Difference Method มีค่ามากกว่าความลึกการไหลที่วัดค่าได้จากการทดลองนั้นสามารถพิจารณาจาก สมมติฐานเบื้องต้นของการศึกษา (ดูบทที่ 4 ประกอบ) ที่กำหนดเอาไว้ว่า ค่าพลังงานจำเพาะของการไหลในทางน้ำที่มีตะแกรงฝัมน้ำอยู่ที่ท้องน้ำถูกสมมติให้มีค่าคงที่ ซึ่งในแง่ของความเป็นจริงแล้วในสภาพการไหลใดๆ โดยเฉพาะการไหลที่มีอัตราการไหล

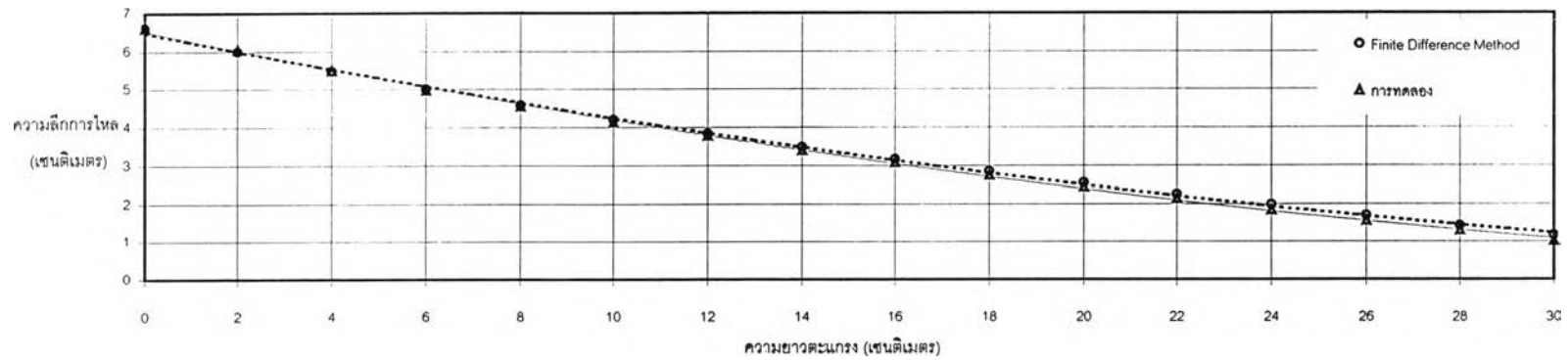
รูป 6-27 ความสัมพันธ์ระหว่างความลึกการไหลกับความยาวของตะแกรงผันน้ำที่มี $\epsilon = 0.2083$ สำหรับการไหลแบบไดวิกฤติที่มีอัตราการไหลเข้าสู่ตะแกรง $0.0459 \text{ m}^3/\text{s}$.



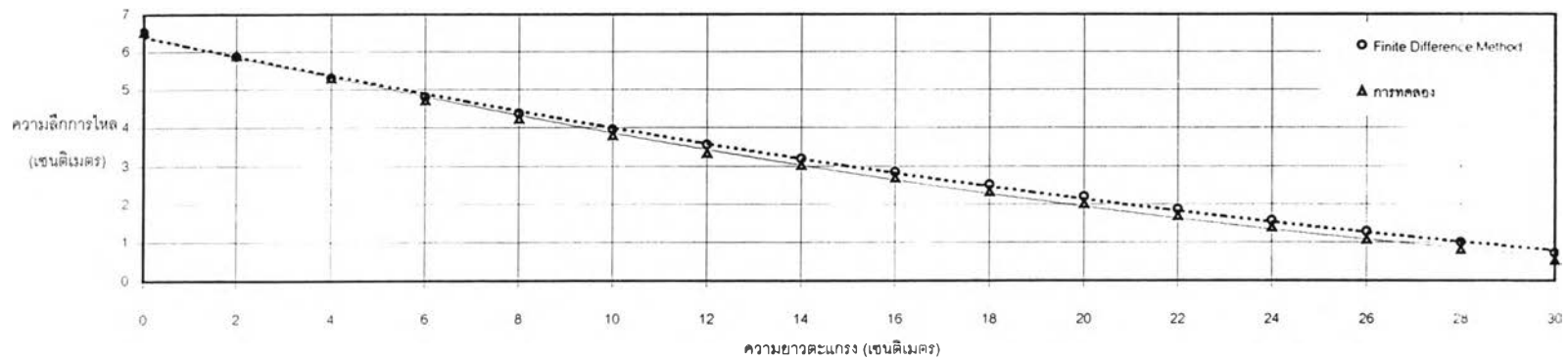
รูป 6-28 ความสัมพันธ์ระหว่างความลึกการไหลกับความยาวของตะแกรงผันน้ำที่มี $\epsilon = 0.2422$ สำหรับการไหลแบบไดวิกฤติที่มีอัตราการไหลเข้าสู่ตะแกรง $0.0458 \text{ m}^3/\text{s}$.



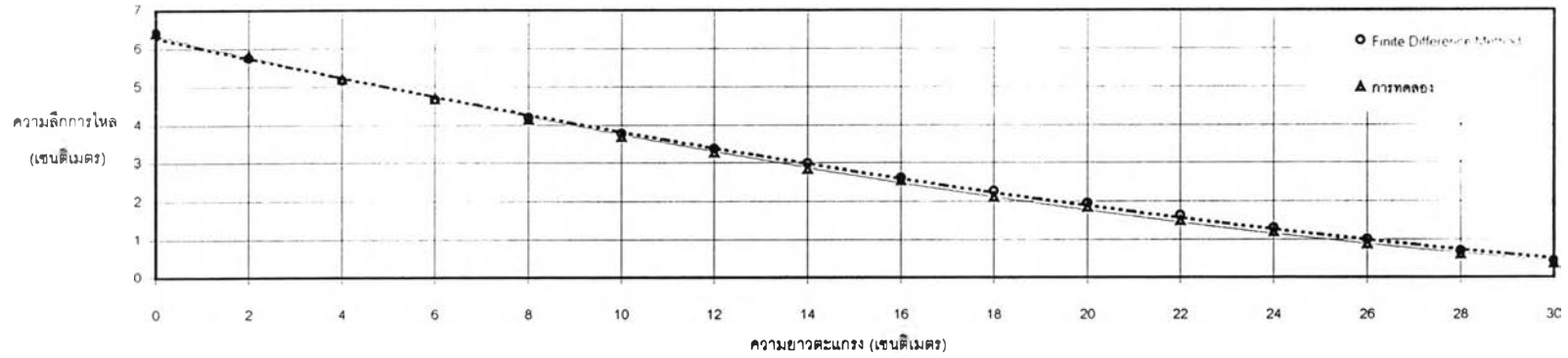
รูป 6-29 ความสัมพันธ์ระหว่างความลึกการไหลกับความยาวของตะแกรงฝัมน้ำที่มี $\epsilon = 0.2754$ สำหรับการไหลแบบไดวิกฤติที่มีอัตราการไหลเข้าสู่ตะแกรง $0.0458 \text{ m}^3/\text{s}$.



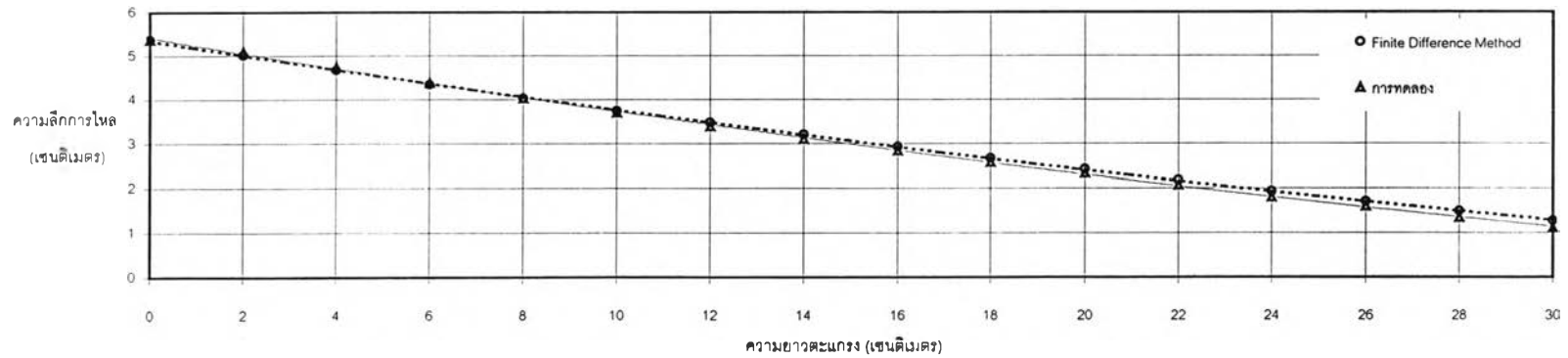
รูป 6-30 ความสัมพันธ์ระหว่างความลึกการไหลกับความยาวของตะแกรงฝัมน้ำที่มี $\epsilon = 0.3112$ สำหรับการไหลแบบไดวิกฤติที่มีอัตราการไหลเข้าสู่ตะแกรง $0.0458 \text{ m}^3/\text{s}$.



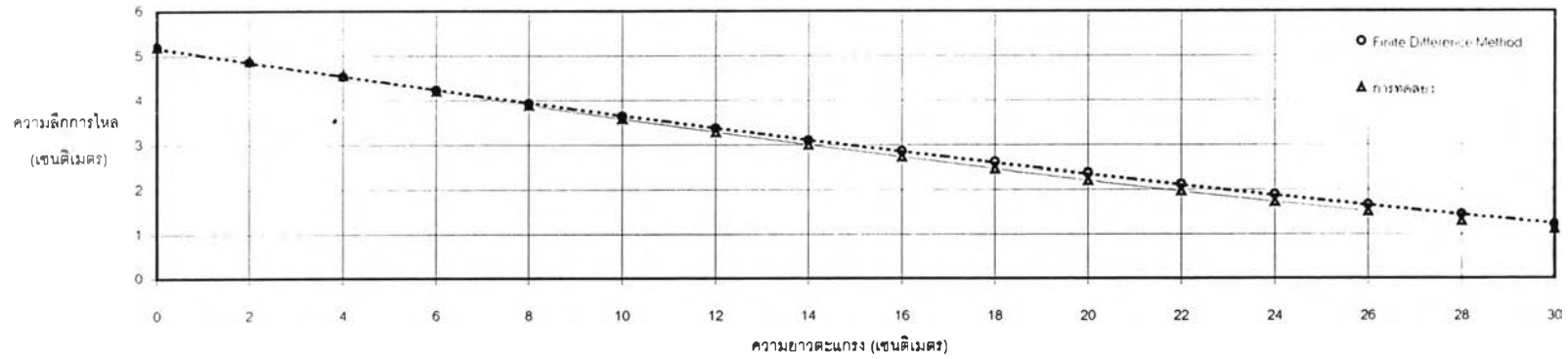
รูป 6-31 ความสัมพันธ์ระหว่างความลึกการไหลกับความยาวของตะแกรงฝัมน้ำที่มี $\epsilon = 0.3804$ สำหรับการไหลแบบไดวิกฤตที่มีอัตราการไหลเข้าสู่ตะแกรง $0.0459 \text{ m}^3/\text{s}$



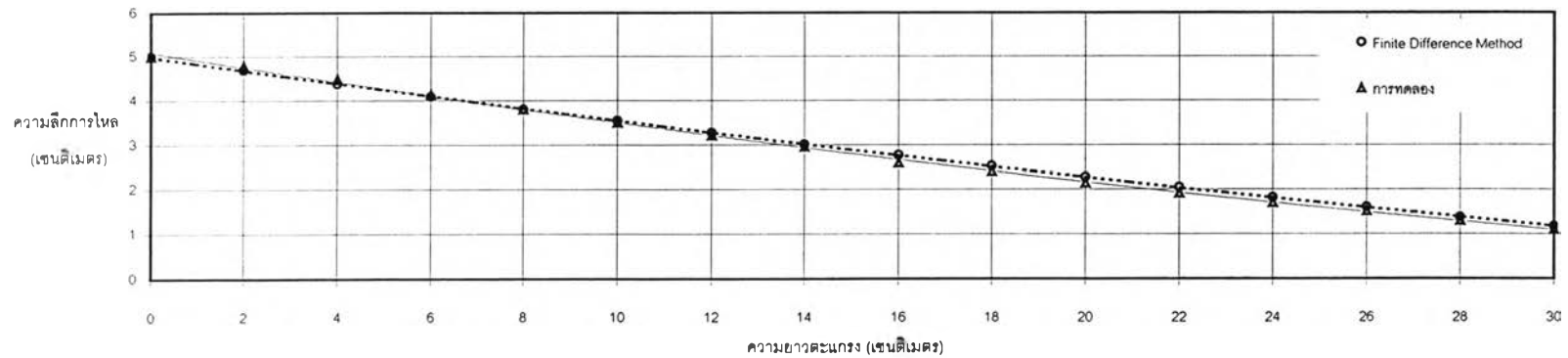
รูป 6-32 ความสัมพันธ์ระหว่างความลึกการไหลกับความยาวของตะแกรงฝัมน้ำที่มี $\epsilon = 0.2083$ สำหรับการไหลแบบเหนือวิกฤตที่มีอัตราการไหลเข้าสู่ตะแกรง $0.0415 \text{ m}^3/\text{s}$



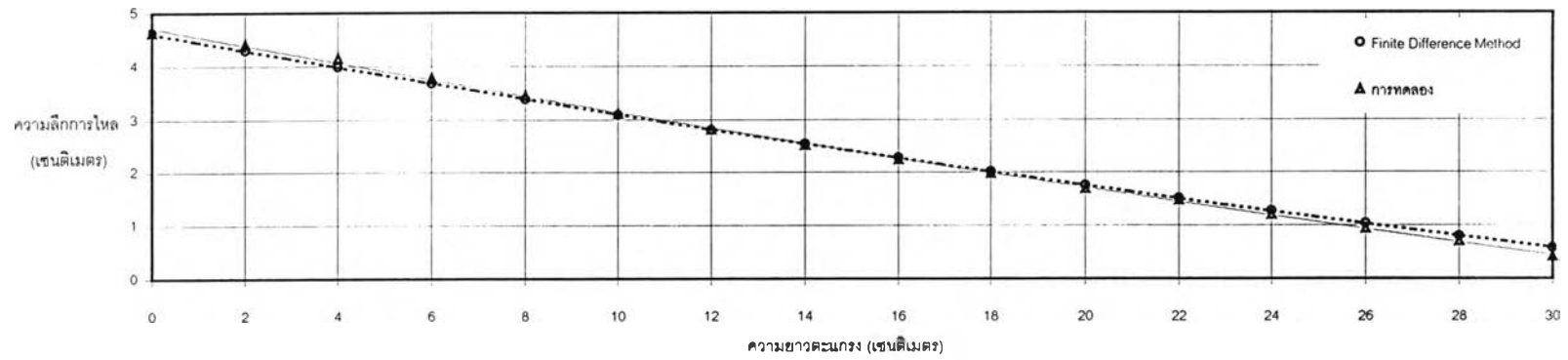
รูป 6-33 ความสัมพันธ์ระหว่างความลึกการไหลกับความยาวของตะแกรงผันน้ำที่มี $\epsilon = 0.2422$ สำหรับการไหลแบบเหนือวิกฤตที่มีอัตราการไหลเข้าสู่ตะแกรง $0.0415 \text{ m}^3/\text{s}$.



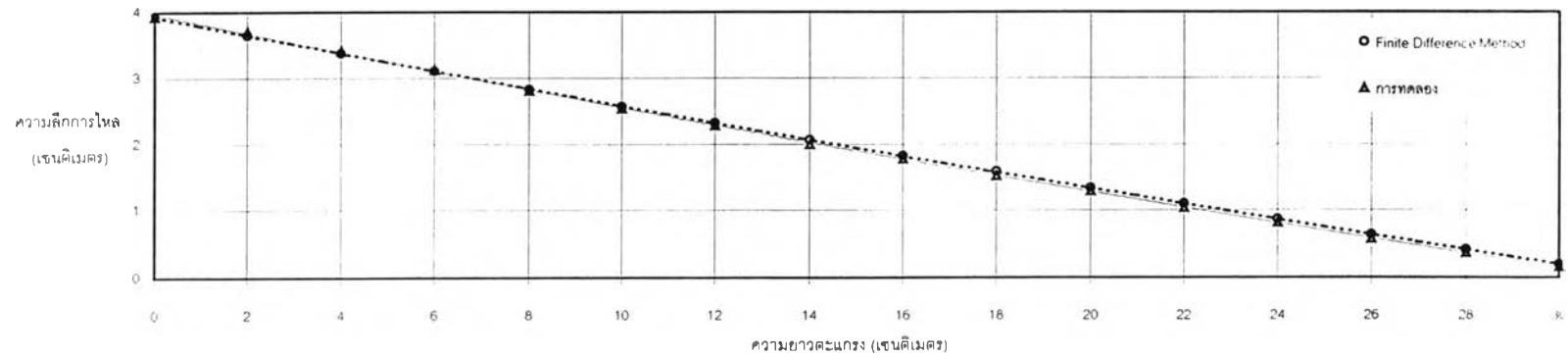
รูป 6-34 ความสัมพันธ์ระหว่างความลึกการไหลกับความยาวของตะแกรงผันน้ำที่มี $\epsilon = 0.2754$ สำหรับการไหลแบบเหนือวิกฤตที่มีอัตราการไหลเข้าสู่ตะแกรง $0.0415 \text{ m}^3/\text{s}$.



รูป 6-35 ความสัมพันธ์ระหว่างความลึกการไหลกับความยาวของตะแกรงฝัมน้ำที่มี $\epsilon = 0.3112$ สำหรับการไหลแบบเหนือวิกฤติที่มีอัตราการไหลเข้าสู่ตะแกรง $0.0415 \text{ m}^3/\text{s}$.



รูป 6-36 ความสัมพันธ์ระหว่างความลึกการไหลกับความยาวของตะแกรงฝัมน้ำที่มี $\epsilon = 0.3804$ สำหรับการไหลแบบเหนือวิกฤติที่มีอัตราการไหลเข้าสู่ตะแกรง $0.0415 \text{ m}^3/\text{s}$.



เปลี่ยนแปลงไป ตามความยาวของทางน้ำย่อมจะมีการสูญเสียพลังงานเกิดขึ้นเสมอ ดังนั้นในการไหลลอดผ่านตะแกรงฝัมน้ำนั้นค่าพลังงานจำเพาะของการไหลเหนือตะแกรงฝัมน้ำย่อมมีค่าลดลงเรื่อยๆตามแนวตะแกรงฝัมน้ำ และการไหลลอดผ่านตะแกรงฝัมน้ำจะเป็นการไหลด้วยความเร็วสูงเนื่องจากเป็นการไหลแบบเหนือวิกฤติ องค์ประกอบของพลังงานจำเพาะของการไหลที่อยู่ในรูปของศักย์ความเร็ว (Velocity Head) จึงเพิ่มสูงขึ้น ประกอบกับมีการสูญเสียพลังงาน (Energy Loss) เกิดขึ้น จึงทำให้ความลึกการไหลของการไหลเหนือตะแกรงฝัมน้ำซึ่งเป็นศักย์ความสูง (Elevation Head) ลดลง ดังนั้นจึงทำให้ความลึกการไหลที่วัดค่าได้จากการทดลอง มีค่าน้อยกว่าความลึกการไหลคำนวณได้ได้จากวิธี Finite Difference Method

6.4.2) ความคลาดเคลื่อนของความลึกการไหลเหนือตะแกรงฝัมน้ำที่คำนวณได้จากวิธี Finite Difference Method เทียบกับที่วัดค่าได้จากการทดลอง

ในการหาค่าคลาดเคลื่อน (Error) ของความลึกการไหลเหนือตะแกรงฝัมน้ำจะคำนวณว่าความลึกการไหลที่คำนวณได้จากวิธี Finite Difference Method มีค่าแตกต่างไปจากค่าได้จากการทดลองเพียงใด จากนั้นจึงนำเอาค่าคลาดเคลื่อนที่คำนวณได้จากแต่ละหน้าตัดของอัตราการไหลหนึ่งๆ มาหาค่าเฉลี่ยซึ่งค่าเฉลี่ยนี้จะเป็นตัวแทนของค่าคลาดเคลื่อนทั้งหมดของความลึกการไหลเหนือตะแกรงฝัมน้ำชุดนั้นๆ ซึ่งได้ผลดังนี้

ก) การไหลแบบใต้วิกฤติสู่ตะแกรงฝัมน้ำ

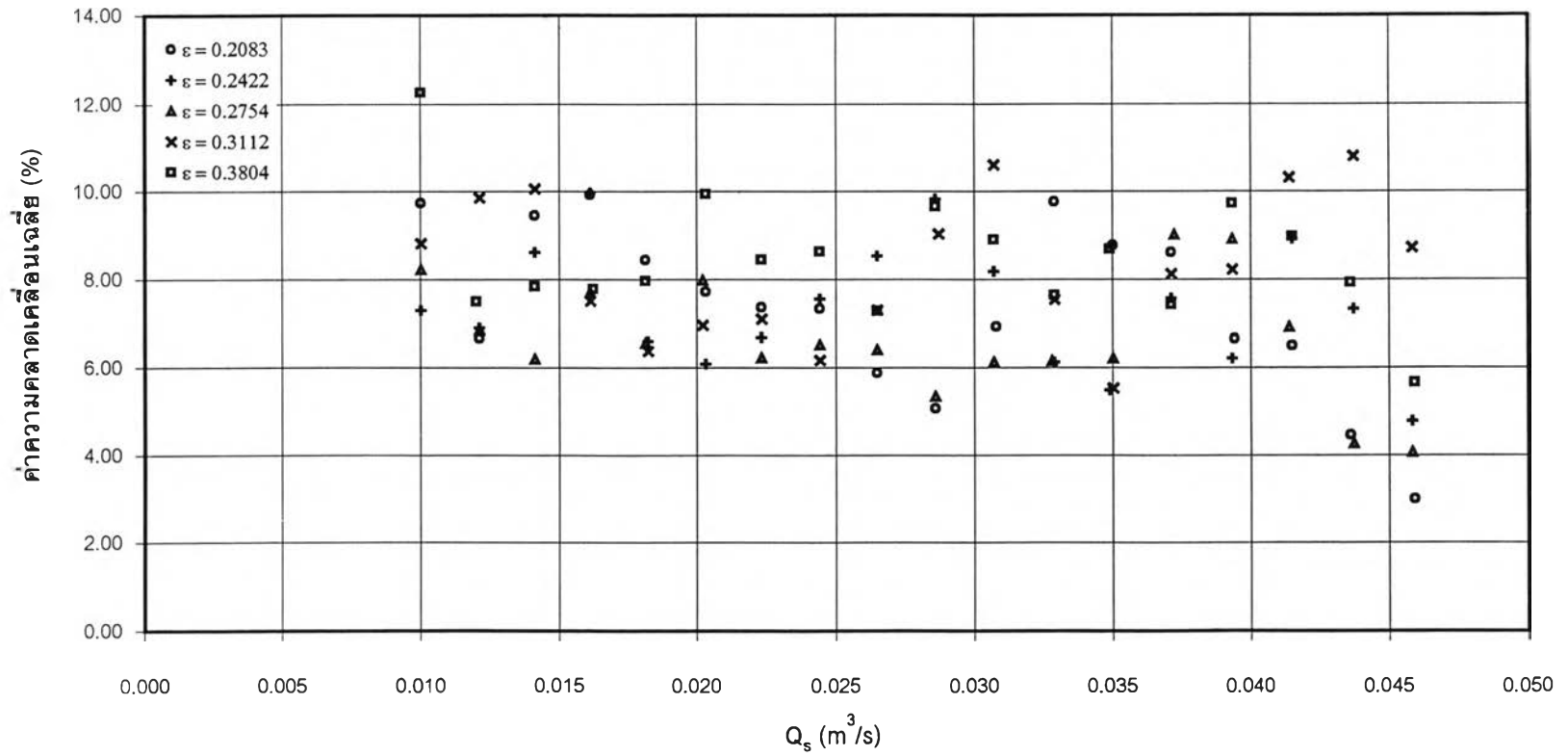
จากตาราง 6-1 ซึ่งแสดงค่าคลาดเคลื่อนเฉลี่ยของความลึกการไหลเหนือตะแกรงฝัมน้ำที่คำนวณได้จากวิธี Finite Difference Method เทียบกับที่วัดค่าได้จากการทดลองกับแบบจำลอง ในกรณีที่การไหลสู่ตะแกรงฝัมน้ำเป็นการไหลแบบใต้วิกฤติ เมื่อนำค่าคลาดเคลื่อนเฉลี่ยของความลึกการไหลเหนือตะแกรงฝัมน้ำไปแสดงความสัมพันธ์กับอัตราการไหลเข้าสู่ตะแกรงฝัมน้ำในช่วง

ตาราง 6-1 ค่าคลาดเคลื่อนเฉลี่ยของความลึกการไหลเหนือตะแกรงฝัมน้ำที่คำนวณได้จากวิธี

Finite Difference Method เทียบกับที่ได้จากการทดลอง ในกรณีที่การไหลเข้าสู่ตะแกรงฝัมน้ำ
เป็นการไหลแบบใต้วิกฤติ (Subcritical Flow)

$\epsilon = 0.2083$		$\epsilon = 0.2422$		$\epsilon = 0.2754$		$\epsilon = 0.3112$		$\epsilon = 0.3804$	
Q_e (m ³ /s)	Error (%)	Q_e (m ³ /s)	Error (%)	Q_e (m ³ /s)	Error (%)	Q_e (m ³ /s)	Error (%)	Q_e (m ³ /s)	Error (%)
0.0100	9.75	0.0100	7.30	0.0100	8.23	0.0100	8.82	0.0100	12.27
0.0121	6.68	0.0121	6.91	0.0121	6.86	0.0121	9.86	0.0120	7.51
0.0141	9.47	0.0141	8.63	0.0141	6.19	0.0141	10.06	0.0141	7.84
0.0161	9.93	0.0161	9.98	0.0161	7.72	0.0161	7.52	0.0162	7.79
0.0181	8.45	0.0182	6.61	0.0181	6.57	0.0182	6.38	0.0181	7.97
0.0203	7.73	0.0203	6.08	0.0202	7.99	0.0202	6.97	0.0203	9.95
0.0223	7.37	0.0223	6.69	0.0223	6.23	0.0223	7.10	0.0223	8.45
0.0244	7.35	0.0244	7.56	0.0244	6.52	0.0244	6.17	0.0244	8.64
0.0265	5.89	0.0265	8.54	0.0265	6.41	0.0265	7.30	0.0265	7.29
0.0286	5.07	0.0286	9.83	0.0286	5.34	0.0287	9.04	0.0286	9.66
0.0308	6.94	0.0307	8.18	0.0307	6.13	0.0307	10.61	0.0307	8.91
0.0329	9.78	0.0329	6.12	0.0328	6.16	0.0329	7.55	0.0329	7.64
0.0350	8.78	0.0349	5.49	0.0350	6.21	0.0350	5.53	0.0349	8.70
0.0371	8.63	0.0371	7.57	0.0372	9.03	0.0371	8.13	0.0371	7.43
0.0394	6.66	0.0393	6.21	0.0393	8.92	0.0393	8.23	0.0393	9.73
0.0415	6.51	0.0415	8.92	0.0414	6.92	0.0414	10.32	0.0415	8.98
0.0436	4.47	0.0437	7.33	0.0437	4.26	0.0437	10.80	0.0436	7.93
0.0459	3.00	0.0458	4.78	0.0458	4.07	0.0458	8.72	0.0459	5.65
เฉลี่ย (%)	7.36	เฉลี่ย (%)	7.37	เฉลี่ย (%)	6.65	เฉลี่ย (%)	8.28	เฉลี่ย (%)	8.46

รูป 6-37 ความสัมพันธ์ระหว่างค่าความคลาดเคลื่อนเฉลี่ยของความลึกการไหลเหนือตะแกรงผ่นน้ำ (ที่คำนวณได้จาก Finite Difference Method เทียบกับที่ได้จากการทดลอง) และอัตราการไหลเข้าสู่ตะแกรงผ่นน้ำ (Q_s) ในกรณีที่มีการไหลเข้าเป็นการไหลแบบได้วิฤติ



0.0100 m³/s. และ 0.0459 m³/s. ดังรูป 6-37 จะเห็นได้ว่าโดยส่วนใหญ่แล้วค่าคลาดเคลื่อนเฉลี่ยของความลึกการไหลเหนือตะแกรงฝัมน้ำจะมีการกระจายตัวอยู่ระหว่าง 5 % ถึง 10 %

ข) การไหลแบบเหนือวิกฤติสู่ตะแกรงฝัมน้ำ

จากตาราง 6-2 ซึ่งแสดงค่าคลาดเคลื่อนเฉลี่ยของความลึกการไหลเหนือตะแกรงฝัมน้ำที่คำนวณได้จากวิธี Finite Difference Method เทียบกับที่วัดค่าได้จากการทดลองกับแบบจำลอง ในกรณีที่การไหลสู่ตะแกรงฝัมน้ำเป็นการไหลแบบเหนือวิกฤติ เมื่อนำค่าคลาดเคลื่อนเฉลี่ยของความลึกการไหลเหนือตะแกรงฝัมน้ำไปแสดงความสัมพันธ์กับอัตราการไหลเข้าสู่ตะแกรงฝัมน้ำในช่วง 0.0100 m³/s. และ 0.0415 m³/s. ดังรูป 6-38 จะเห็นได้ว่าโดยส่วนใหญ่แล้วค่าคลาดเคลื่อนเฉลี่ยของความลึกการไหลเหนือตะแกรงฝัมน้ำจะมีการกระจายตัวอยู่ระหว่าง 3 % ถึง 9 %

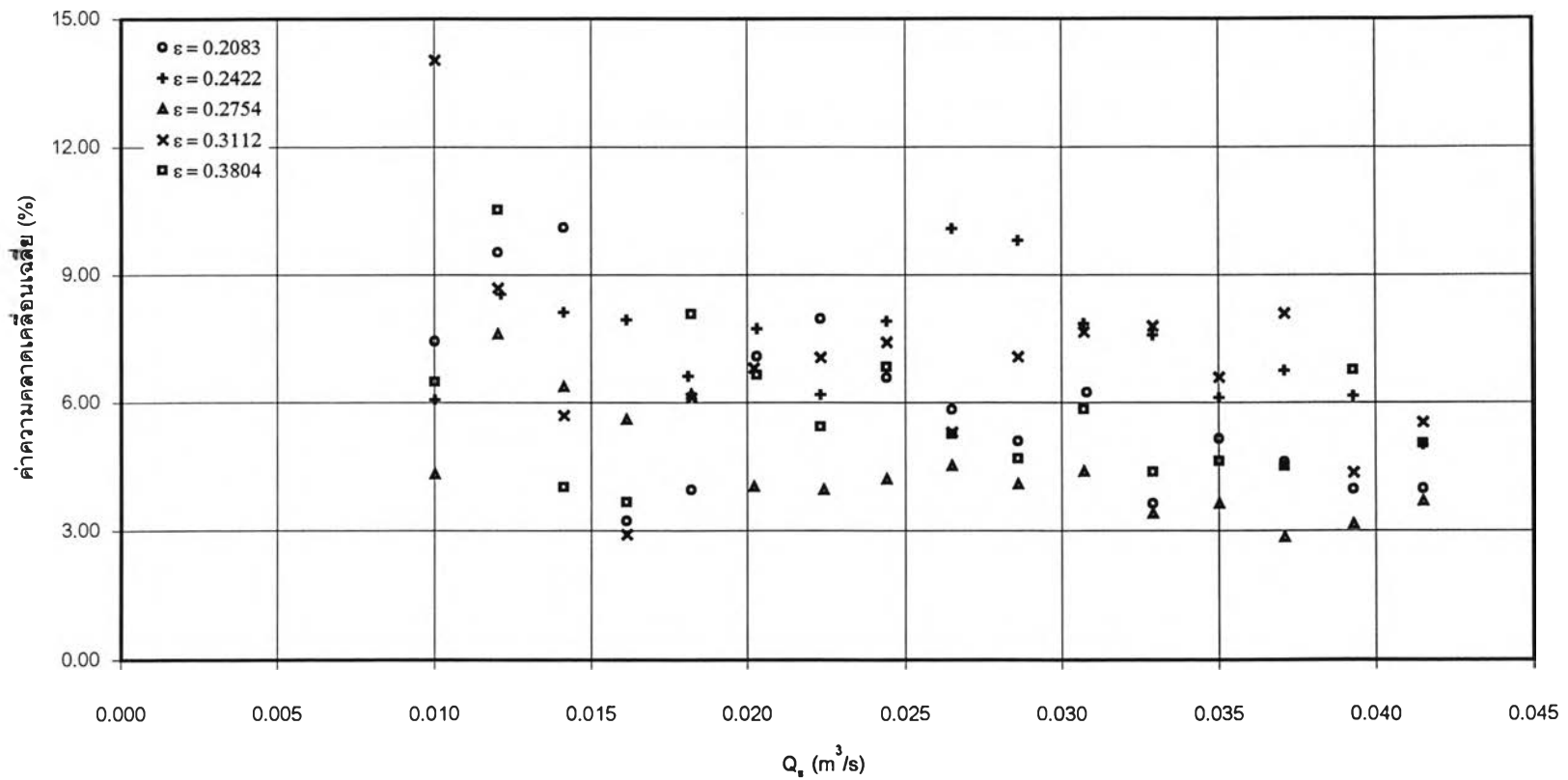
ตาราง 6-2 ค่าคลาดเคลื่อนเฉลี่ยของความลึกการไหลเหนือตะแกรงฝัมน้ำที่คำนวณได้จากวิธี

Finite Difference Method เทียบกับที่ได้จากการทดลอง ในกรณีที่การไหลเข้าสู่ตะแกรงฝัมน้ำ

เป็นการไหลแบบเหนือวิกฤติ (Supercritical Flow)

$\epsilon = 0.2083$		$\epsilon = 0.2422$		$\epsilon = 0.2754$		$\epsilon = 0.3112$		$\epsilon = 0.3804$	
Q_c (m ³ /s)	Error (%)	Q_c (m ³ /s)	Error (%)	Q_c (m ³ /s)	Error (%)	Q_c (m ³ /s)	Error (%)	Q_c (m ³ /s)	Error (%)
0.0100	7.45	0.0100	6.08	0.0100	4.34	0.0100	14.04	0.0100	6.51
0.0120	9.54	0.0121	8.54	0.0120	7.61	0.0120	8.68	0.0120	10.53
0.0141	10.12	0.0141	8.11	0.0141	6.38	0.0141	5.70	0.0141	4.03
0.0161	3.23	0.0161	7.94	0.0161	5.61	0.0161	2.91	0.0161	3.68
0.0182	3.97	0.0181	6.63	0.0182	6.21	0.0182	6.12	0.0182	8.07
0.0203	7.11	0.0203	7.74	0.0202	4.04	0.0202	6.82	0.0203	6.67
0.0223	7.97	0.0223	6.19	0.0224	3.97	0.0223	7.07	0.0223	5.44
0.0244	6.61	0.0244	7.91	0.0244	4.22	0.0244	7.43	0.0244	6.85
0.0265	5.85	0.0265	10.09	0.0265	4.52	0.0265	5.31	0.0265	5.26
0.0286	5.10	0.0286	9.81	0.0286	4.10	0.0286	7.09	0.0286	4.69
0.0308	6.26	0.0307	7.85	0.0307	4.40	0.0307	7.66	0.0307	5.85
0.0329	3.65	0.0329	7.59	0.0329	3.42	0.0329	7.79	0.0329	4.38
0.0350	5.15	0.0350	6.13	0.0350	3.65	0.0350	6.60	0.0350	4.63
0.0371	4.61	0.0371	6.77	0.0371	2.86	0.0371	8.08	0.0371	4.51
0.0393	3.98	0.0393	6.16	0.0393	3.16	0.0393	4.37	0.0393	6.78
0.0415	4.00	0.0415	5.01	0.0415	3.70	0.0415	5.54	0.0415	5.04
เฉลี่ย (%)	5.91	เฉลี่ย (%)	7.41	เฉลี่ย (%)	4.51	เฉลี่ย (%)	6.95	เฉลี่ย (%)	5.81

รูป 6-38 ความสัมพันธ์ระหว่างค่าความคลาดเคลื่อนเฉลี่ยของความลึกการไหลเหนือตะแกรงฝัมน้ำ
 (ที่คำนวณได้จาก Finite Difference Method เทียบกับที่ได้จากการทดลอง)และ
 อัตราการไหลเข้าสู่ตะแกรงฝัมน้ำ (Q_s) ในกรณีที่การไหลเข้าเป็นการไหลแบบเหนือวิกฤติ



6.5 การเปรียบเทียบความลึกการไหลเหนือตะแกรงฝัมน้ำที่ได้จากวิธี Finite Difference Method และจากวิธี Analytical โดยใช้สมการที่ได้จาก Mostkow

ในการเปรียบเทียบความลึกการไหลเหนือตะแกรงฝัมน้ำ นอกจากจะทำการเปรียบเทียบความลึกการไหลที่คำนวณได้โดยใช้วิธี Finite Difference Method กับที่วัดค่าได้จากการทดลองแล้ว ยังได้มีการเปรียบเทียบความลึกการไหลที่คำนวณได้โดยใช้วิธี Finite Difference Method กับที่คำนวณได้จากสมการการไหลผ่านตะแกรงฝัมน้ำของ Mostkow ซึ่งเป็นการคำนวณโดยสมการที่ได้จากวิธี Analytical

สำหรับสมการของ Mostkow เป็นสมการที่แสดงความสัมพันธ์ระหว่างความลึกการไหลเหนือตะแกรงฝัมน้ำกับระยะต่างๆตามแนวตะแกรงฝัมน้ำ ซึ่งได้แสดงไว้ในสมการ (2-11) หรือสมการ (3-4) นั่นคือ

$$x = \frac{E}{\varepsilon C} \left(\frac{y_1}{E} \sqrt{1 - \frac{y_1}{E}} - \frac{y}{E} \sqrt{1 - \frac{y}{E}} \right)$$

โดย	x	=	ระยะทางตามแนวตะแกรงฝัมน้ำ
	E	=	พลังงานจำเพาะของการไหลสู่ตะแกรงฝัมน้ำ (E_0)
	ε	=	อัตราส่วนพื้นที่ช่องเปิดของตะแกรงฝัมน้ำ
	c	=	สัมประสิทธิ์อัตราการไหลลอดผ่านตะแกรงฝัมน้ำ (C_D)
	y_1	=	ความลึกการไหลที่จุดเริ่มต้นของตะแกรงฝัมน้ำ ($y_{x=0 \text{ cm}}$)
	y	=	ความลึกการไหลที่ระยะ x ตามแนวตะแกรงฝัมน้ำ

โดยในการคำนวณจะใช้ข้อมูลบางส่วนที่ได้จากผลการทดลองเช่นเดียวกับวิธีคำนวณความลึกการไหลเหนือตะแกรงฝัมน้ำโดยใช้วิธี Finite Difference Method คือ E_0 และ $y_{x=0 \text{ cm}}$.

สำหรับผลการคำนวณความลึกการไหลเหนือตะแกรงผิวน้ำโดยการใช้สมการของ Mostkow ของ ตะแกรงผิวน้ำที่มีอัตราส่วนพื้นที่ช่องเปิด (E) ต่างๆ ได้ทำการเลือกค่าอัตราการไหลเข้าสู่ตะแกรง ผิวน้ำ (Q_s) บางค่ามาทำการคำนวณและแสดงผลการคำนวณไว้ในตาราง ข-11 ถึงตาราง ข-20 ใน ภาคผนวก ข

จากผลการเปรียบเทียบความลึกการไหลเหนือตะแกรงผิวน้ำที่คำนวณได้โดยใช้วิธี Finite Difference Method กับที่คำนวณได้จากสมการการไหลผ่านตะแกรงผิวน้ำของ Mostkow จะพบว่า โดยส่วนใหญ่แล้วในแต่ละหน้าตัดเหนือตะแกรงผิวน้ำที่ได้ทำการเปรียบเทียบความลึกการไหล ค่าความแตกต่าง จะมีค่าไม่เกิน 0.01 เซนติเมตร ไม่ว่าจะการไหลเข้าสู่ตะแกรงผิวน้ำจะเป็นการไหล แบบได้วิกฤติหรือแบบเหนือวิกฤติ

นอกจากนี้แล้วในตาราง ข-11 ถึงตาราง ข-20 ยังได้มีการคำนวณค่าความคลาดเคลื่อน ของความลึกการไหลเหนือตะแกรงผิวน้ำที่คำนวณได้โดยใช้วิธี Finite Difference Method เทียบ กับที่คำนวณได้จากสมการการไหลผ่านตะแกรงผิวน้ำของ Mostkow ซึ่งได้นำค่าความคลาด เคลื่อนเฉลี่ยดังกล่าวของแต่ละอัตราการไหลเข้าสู่ตะแกรงผิวน้ำ (Q_s) สำหรับตะแกรงผิวน้ำแต่ละ ขนาดมาแสดงไว้ในตาราง 6-3 และตาราง 6-4 สำหรับการไหลเข้าสู่ตะแกรงผิวน้ำแบบได้วิกฤติ และเหนือวิกฤติ ตามลำดับ และเมื่อนำค่าความคลาดเคลื่อนมาแสดงความสัมพันธ์ในรูปของ กราฟจะได้ความสัมพันธ์ระหว่างค่าความคลาดเคลื่อนเฉลี่ยและอัตราการไหลเข้าสู่ตะแกรงผิวน้ำ (Q_s) ดังรูป 6-39 และรูป 6-40 สำหรับการไหลเข้าสู่ตะแกรงผิวน้ำแบบได้วิกฤติและเหนือวิกฤติ ตามลำดับ ซึ่งจากรูปทั้งสองจะพบว่า

- ก) ในการไหลเข้าสู่ตะแกรงผิวน้ำสำหรับกรณีที่เป็นการไหลแบบได้วิกฤติ ค่าความคลาด เคลื่อนของความลึกการไหลเหนือตะแกรงผิวน้ำที่ได้จากการคำนวณโดยใช้วิธี Finite Difference Method เทียบกับที่คำนวณได้จากสมการการไหลผ่านตะแกรงผิวน้ำของ Mostkow จะมีการกระจายตัวส่วนใหญ่อยู่ระหว่างประมาณ 0 – 0.35 %

- ข) ในการไหลเข้าสู่ตะแกรงผั้่นน้ำสำหรับกรณีที่เป็นกรไหลแบบเหนือวิกฤติ ค่าความคลาดเคลื่อนของความลึกการไหลเหนือตะแกรงผั้่นน้ำที่คำนวณได้โดยใช้วิธี Finite Difference Method เทียบกับที่คำนวณได้จากสมการการไหลผ่านตะแกรงผั้่นน้ำของ Mostkow จะมีการกระจายตัวส่วนใหญ่อยู่ระหว่างประมาณ 0 – 0.25 %

ตาราง 6-3 ค่าคลาดเคลื่อนเฉลี่ยของความลึกการไหลเหนือตะแกรงฝัมน้ำที่คำนวณได้จากวิธี

Finite Difference Method เทียบกับที่ได้จากวิธี Analytical โดยใช้สมการของ Mostkow ในกรณี

ที่การไหลเข้าสู่ตะแกรงฝัมน้ำเป็นการไหลแบบใต้วงกบ (Subcritical Flow)

$\epsilon = 0.2083$		$\epsilon = 0.2422$		$\epsilon = 0.2754$		$\epsilon = 0.3112$		$\epsilon = 0.3804$	
Q_c (m ³ /s)	Error (%)	Q_c (m ³ /s)	Error (%)	Q_c (m ³ /s)	Error (%)	Q_c (m ³ /s)	Error (%)	Q_c (m ³ /s)	Error (%)
0.0100	0.10	0.0100	0.56	0.0100	0.88	0.0100	0.40	0.0100	0.14
0.0161	0.04	0.0161	0.18	0.0161	0.69	0.0161	0.21	0.0162	0.28
0.0223	0.06	0.0223	0.49	0.0223	0.36	0.0223	0.56	0.0223	0.22
0.0286	0.08	0.0286	0.19	0.0286	0.05	0.0287	0.15	0.0286	0.23
0.0350	0.19	0.0349	0.19	0.0350	0.30	0.0350	0.23	0.0349	0.78
0.0415	0.11	0.0415	0.08	0.0414	0.12	0.0414	0.16	0.0415	0.35
0.0459	0.08	0.0458	0.12	0.0458	0.10	0.0458	0.27	0.0459	0.19
เฉลี่ย (%)	0.09	เฉลี่ย (%)	0.26	เฉลี่ย (%)	0.36	เฉลี่ย (%)	0.28	เฉลี่ย (%)	0.31

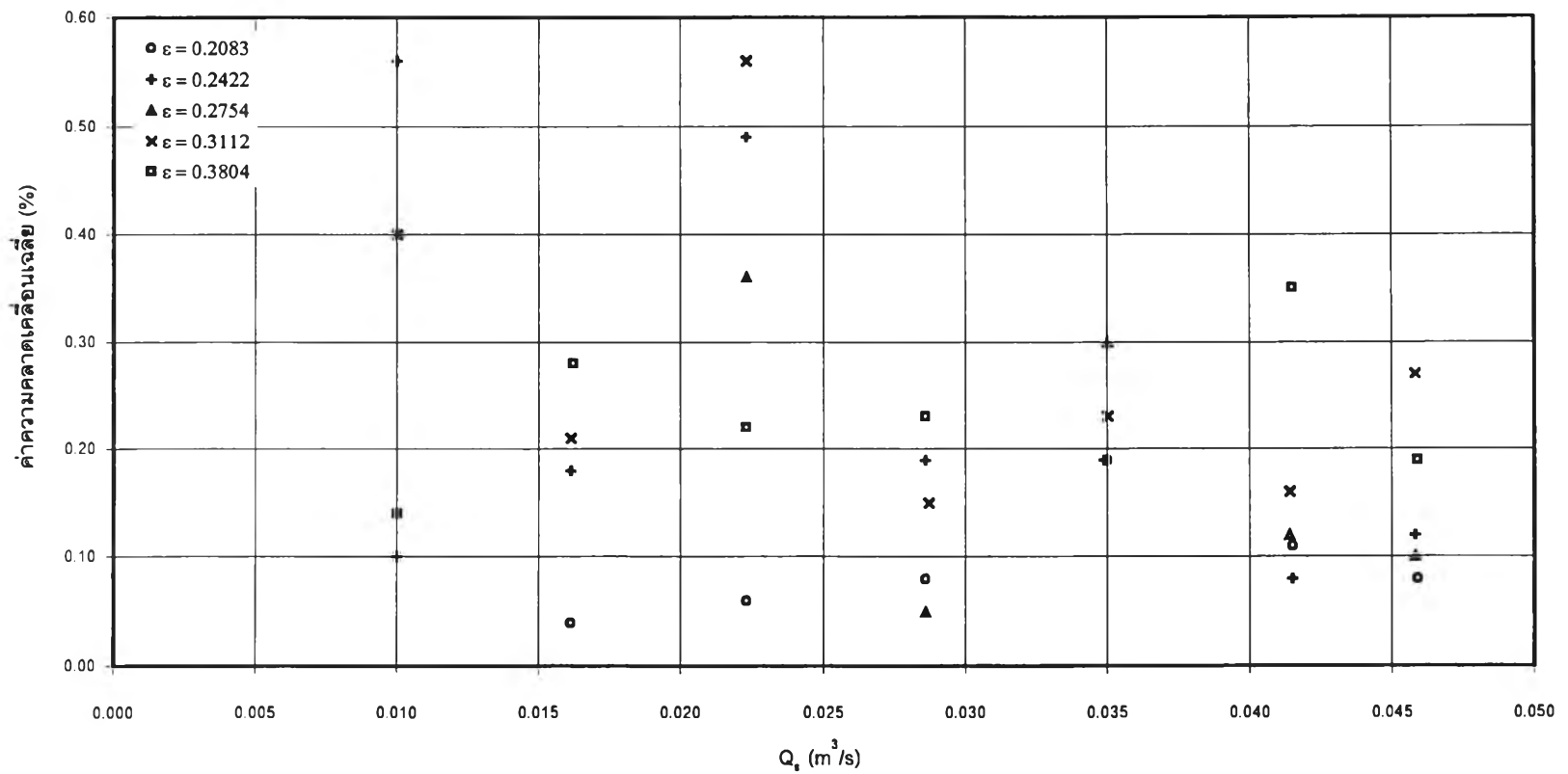
ตาราง 6-4 ค่าคลาดเคลื่อนเฉลี่ยของความลึกการไหลเหนือตะแกรงฝัมน้ำที่คำนวณได้จากวิธี

Finite Difference Method เทียบกับที่ได้จากวิธี Analytical โดยใช้สมการของ Mostkow ในกรณี

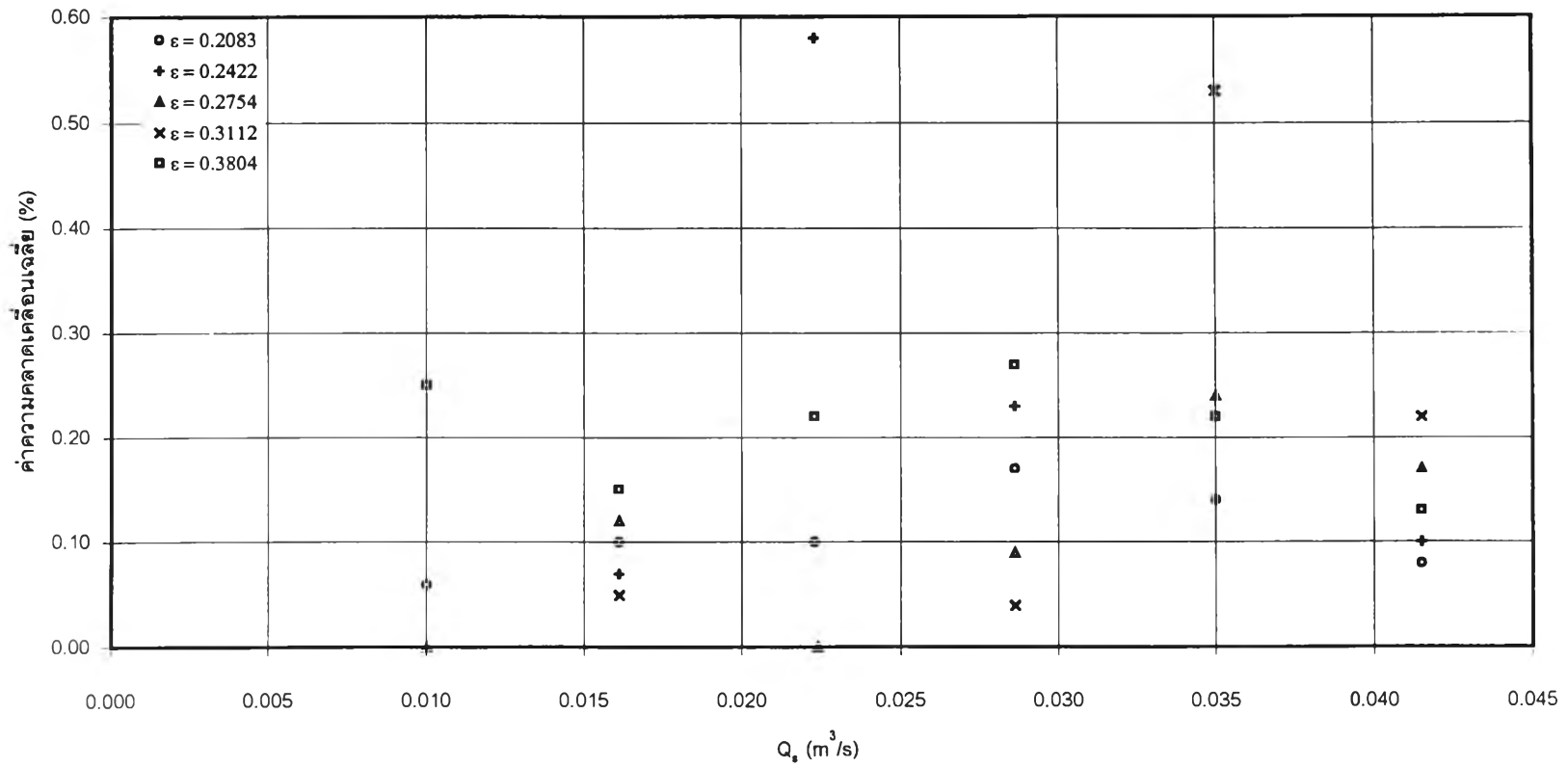
ที่การไหลเข้าสู่ตะแกรงฝัมน้ำเป็นการไหลแบบเหนือวงกบ (Supercritical Flow)

$\epsilon = 0.2083$		$\epsilon = 0.2422$		$\epsilon = 0.2754$		$\epsilon = 0.3112$		$\epsilon = 0.3804$	
Q_c (m ³ /s)	Error (%)	Q_c (m ³ /s)	Error (%)	Q_c (m ³ /s)	Error (%)	Q_c (m ³ /s)	Error (%)	Q_c (m ³ /s)	Error (%)
0.0100	0.06	0.0100	0.00	0.0100	0.00	0.0100	1.20	0.0100	0.25
0.0161	0.10	0.0161	0.07	0.0161	0.12	0.0161	0.05	0.0161	0.15
0.0223	0.10	0.0223	0.58	0.0224	0.00	0.0223	2.63	0.0223	0.22
0.0286	0.17	0.0286	0.23	0.0286	0.09	0.0286	0.04	0.0286	0.27
0.0350	0.14	0.0350	0.14	0.0350	0.24	0.0350	0.53	0.0350	0.22
0.0415	0.08	0.0415	0.10	0.0415	0.17	0.0415	0.22	0.0415	0.13
เฉลี่ย (%)	0.11	เฉลี่ย (%)	0.19	เฉลี่ย (%)	0.10	เฉลี่ย (%)	0.78	เฉลี่ย (%)	0.21

รูป 6-39 ความสัมพันธ์ระหว่างค่าความคลาดเคลื่อนเฉลี่ยของความลึกการไหลเหนือตะแกรงผ่นน้ำ
 (ที่คำนวณได้จากFinite Difference Method เทียบกับที่ได้จากสมการของ Mostkow)
 และอัตราการไหลเข้าสู่ตะแกรงผ่นน้ำ (Q_s)ในกรณีที่มีการไหลเข้าเป็นการไหลแบบได้วิกฤติ



รูป 6-40 ความสัมพันธ์ระหว่างค่าความคลาดเคลื่อนเฉลี่ยของความลึกการไหลเหนือตะแกรงผันน้ำ(ที่คำนวณได้จาก Finite Difference Method เทียบกับที่ได้จากสมการของ Mostkow) และอัตราการไหลเข้าสู่ตะแกรง(Q_s) ในกรณีที่การไหลเข้าเป็นการไหลแบบเหนือวิกฤติ



6.6 Water Surface Profiles ของการไหลในทางน้ำที่มีตะกอนฝนน้ำอยู่ที่ท้องน้ำ

จากรูป 6-41 ถึงรูป 6-50 เป็นการแสดงความสัมพันธ์ระหว่างความลึกการไหลกับระยะต่างๆในทางน้ำเทียบกับจุดเริ่มต้นของตะกอนฝนน้ำ ($x = 0$ cm.) โดยจะเริ่มตั้งแต่ $x = -120$ cm. ไปจนถึง $x = +72$ cm. ซึ่งสามารถสรุปผลการศึกษาดังนี้

6.6.1) กรณีการไหลเข้าสู่ตะกอนฝนน้ำเป็นการไหลแบบใต้วิกฤติ

- ก) **บริเวณด้านเหนือน้ำของตะกอนฝนน้ำ** (ระยะ x มีค่าเป็นลบ) ระดับความลึกการไหลจะมีค่ามากกว่าความลึกวิกฤติของอัตราการไหลนั้นๆ โดยความลึกการไหลจะค่อยๆลดลงทีละน้อยจากจุดไกลสุดและจะมีอัตราการลดลงที่สูงขึ้นเมื่อการไหลเข้าใกล้ตะกอนฝนน้ำ ซึ่งความลึกการไหลจะลดต่ำกว่าความลึกวิกฤติของอัตราการไหลนั้นๆที่หน้าตัดก่อนถึงตะกอนฝนน้ำเพียงเล็กน้อย ทำให้การไหลก่อนเข้าสู่ตะกอนฝนน้ำเป็นการไหลแบบเหนือวิกฤติ
- ข) **บริเวณเหนือตะกอนฝนน้ำ** ระดับความลึกการไหลจะลดลงด้วยอัตราที่ค่อนข้างสม่ำเสมอแต่มีอัตราที่สูงกว่าด้านเหนือน้ำของตะกอนฝนน้ำ ทั้งนี้เนื่องจากบริเวณเหนือตะกอนฝนน้ำ ปริมาณน้ำจะถูกฝันออกไปตลอดจึงทำให้มีอัตราการลดลงของความลึกการไหลมากกว่า
- ค) **บริเวณท้ายน้ำของตะกอนฝนน้ำ** ระดับความลึกการไหลจะน้อยกว่าทางด้านเหนือน้ำของตะกอนฝนน้ำและบริเวณเหนือตะกอนฝนน้ำ เนื่องจากในขณะที่น้ำไหลเข้าสู่ตะกอนฝนน้ำจะเป็นการไหลแบบใต้วิกฤติ แต่เมื่อเกิดการไหลผ่านตะกอนฝนน้ำ ปริมาณน้ำส่วนหนึ่งจะถูกฝันออกจากทางน้ำ ทำให้อัตราการไหลและความลึกการไหลในทางน้ำลดลง ส่งผลให้เกิดการเปลี่ยนแปลงสภาพการไหลจากใต้วิกฤติไปเป็น

การไหลแบบเหนือวิกฤติ คือจะมีสภาพการไหลแบบความลึกการไหลต่ำแต่ไหลด้วยความเร็วสูง แต่เมื่อเลยด้านท้ายน้ำของตะแกรงผันน้ำออกไป ความลึกการไหลจะมีการเพิ่มสูงขึ้นเล็กน้อยเนื่องจากอิทธิพลของความฝืด (Friction Loss) ทำให้พลังงานจำเพาะของการไหลลดลง ส่งผลให้ความลึกการไหลเพิ่มขึ้น

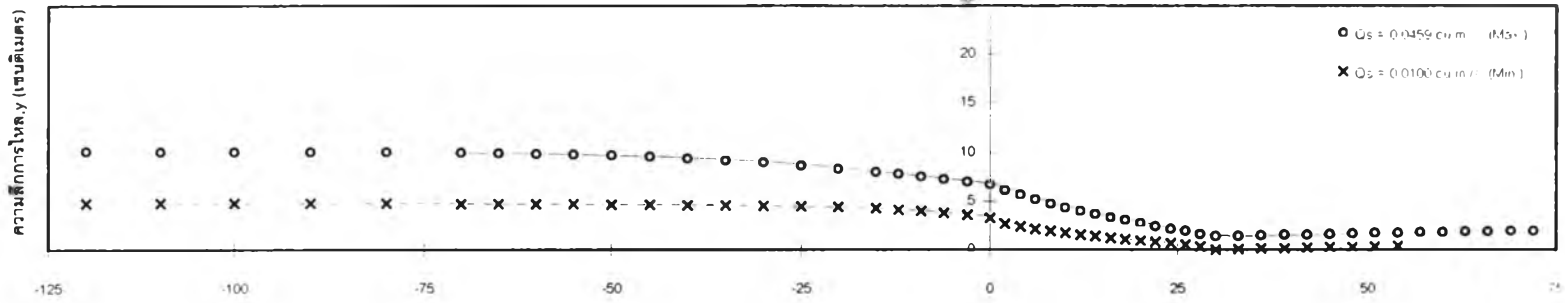
6.6.2) กรณีการไหลเข้าสู่ตะแกรงผันน้ำเป็นการไหลแบบเหนือวิกฤติ

ก) **บริเวณด้านเหนือน้ำของตะแกรงผันน้ำ** (ระยะ x มีค่าเป็นลบ) ระดับความลึกการไหลจะมีค่าน้อยกว่าความลึกวิกฤติของอัตราการไหลนั้นๆ โดยความลึกการไหลจะค่อยๆ ลดลงทีละน้อยจากจุดไกลสุดและจะมีอัตราการลดลงที่สูงขึ้นเมื่อการไหลเข้าใกล้ตะแกรงผันน้ำ

ข) **บริเวณเหนือตะแกรงผันน้ำ** ระดับความลึกการไหลจะลดลงด้วยอัตราที่ค่อนข้างสม่ำเสมอแต่มีอัตราที่สูงกว่าด้านเหนือน้ำของตะแกรงผันน้ำ ทั้งนี้เนื่องจากบริเวณเหนือตะแกรงผันน้ำ ปริมาณน้ำจะถูกผันออกไปตลอดจึงทำให้มีอัตราการลดลงของความลึกการไหลมากกว่า โดยความลึกการไหลที่วัดค่าได้ในกรณีนี้จะมีค่าน้อยกว่าในกรณีที่มีการไหลเข้าสู่ตะแกรงผันน้ำเป็นการไหลแบบใต้วิกฤติ

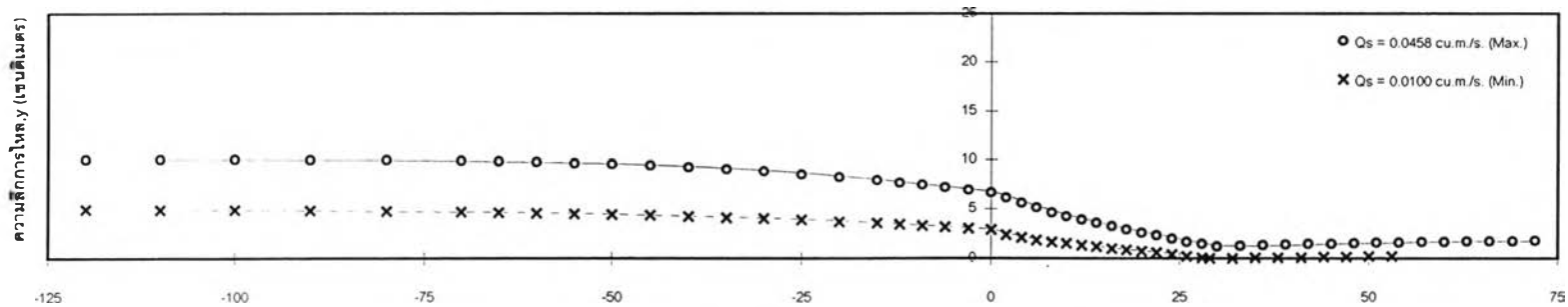
ค) **บริเวณท้ายน้ำของตะแกรงผันน้ำ** ระดับความลึกการไหลจะน้อยกว่าทางด้านเหนือน้ำของตะแกรงผันน้ำและบริเวณเหนือตะแกรงผันน้ำ เนื่องจากในขณะที่น้ำไหลเข้าสู่ตะแกรงผันน้ำจะเป็นการไหลแบบเหนือวิกฤติ เมื่อเกิดการไหลผ่านตะแกรงผันน้ำ ปริมาณน้ำส่วนหนึ่งจะถูกผันออกจากทางน้ำ ทำให้อัตราการไหลและความลึกการไหลในทางน้ำลดลง เมื่อเลยด้านท้ายน้ำของตะแกรงผันน้ำออกไป ความลึกการไหลจะมีการเพิ่มสูงขึ้นเล็กน้อยเนื่องจากอิทธิพลของความฝืด (Friction Loss) ทำให้พลังงานจำเพาะของการไหลลดลง ส่งผลให้ความลึกการไหลเพิ่มขึ้น

รูป 6-41 ความสัมพันธ์ระหว่างความลึกการไหลกับระยะต่างๆในทางน้ำ ในกรณีที่เป็นการไหลแบบไดวิกฤตีสู่ตะแกรงที่มีอัตราส่วนพื้นที่ช่องเปิด, $\epsilon = 0.2083$



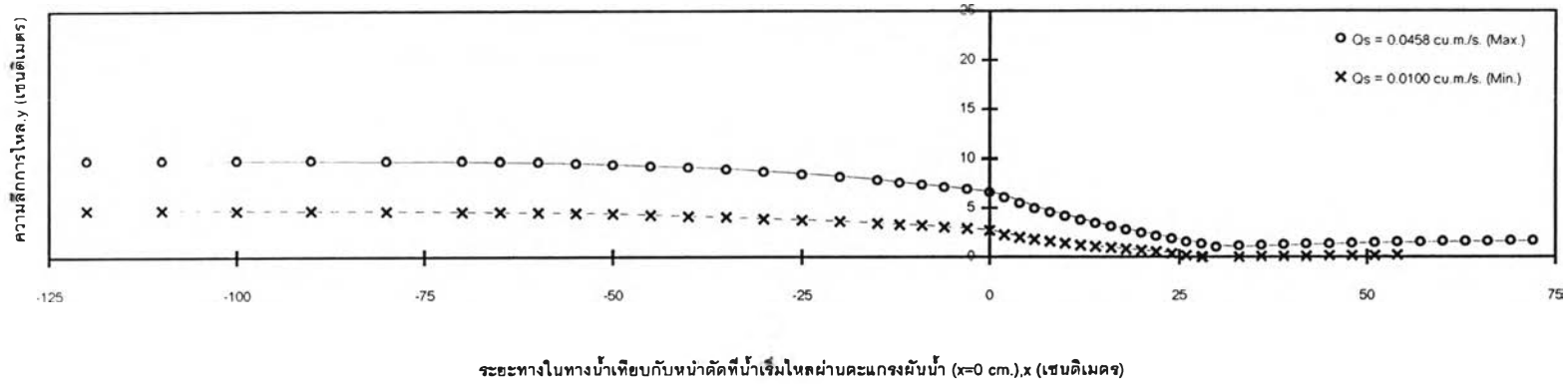
ระยะทางในทางน้ำเทียบกับหน้าตัดที่น้ำเริ่มไหลผ่านตะแกรงมันน้ำ ($x=0 \text{ cm}$), x (เซนติเมตร)

รูป 6-42 ความสัมพันธ์ระหว่างความลึกการไหลกับระยะต่างๆในทางน้ำ ในกรณีที่เป็นการไหลแบบไดวิกฤตีสู่ตะแกรงที่มีอัตราส่วนพื้นที่ช่องเปิด, $\epsilon = 0.2422$

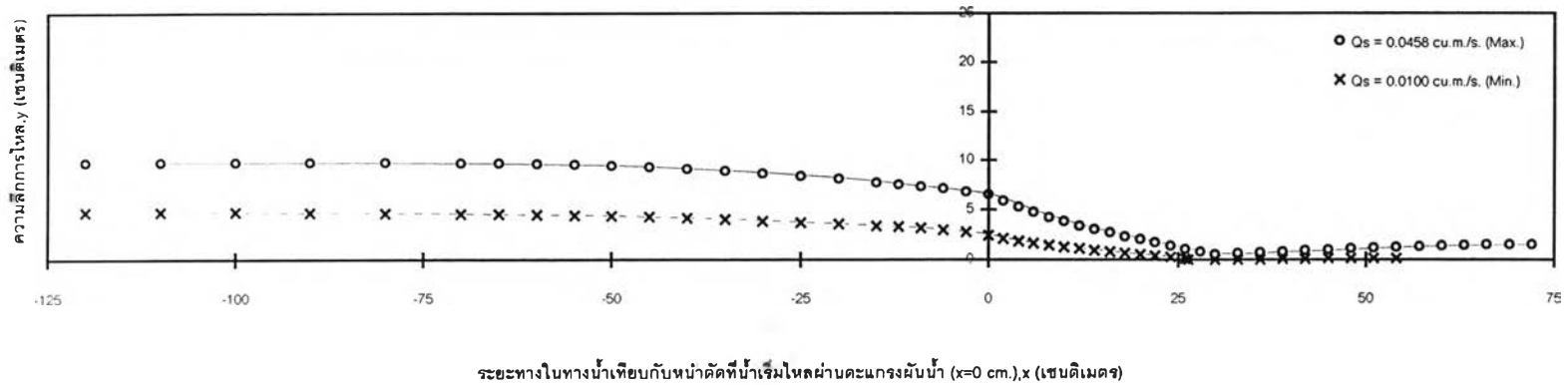


ระยะทางในทางน้ำเทียบกับหน้าตัดที่น้ำเริ่มไหลผ่านตะแกรงมันน้ำ ($x=0 \text{ cm}$), x (เซนติเมตร)

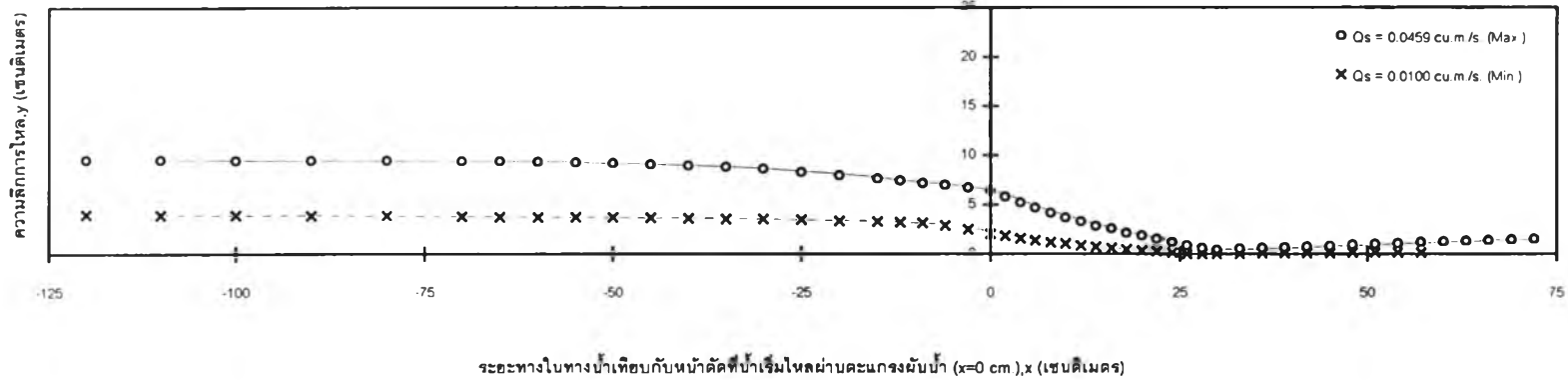
รูป 6-43 ความสัมพันธ์ระหว่างความลึกการไหลกับระยะต่างๆในทางน้ำ ในกรณีที่เป็นการไหลแบบได้วิกฤตที่สุดระนางที่มีอัตราส่วนพื้นที่ช่องเปิด, $\epsilon = 0.2754$



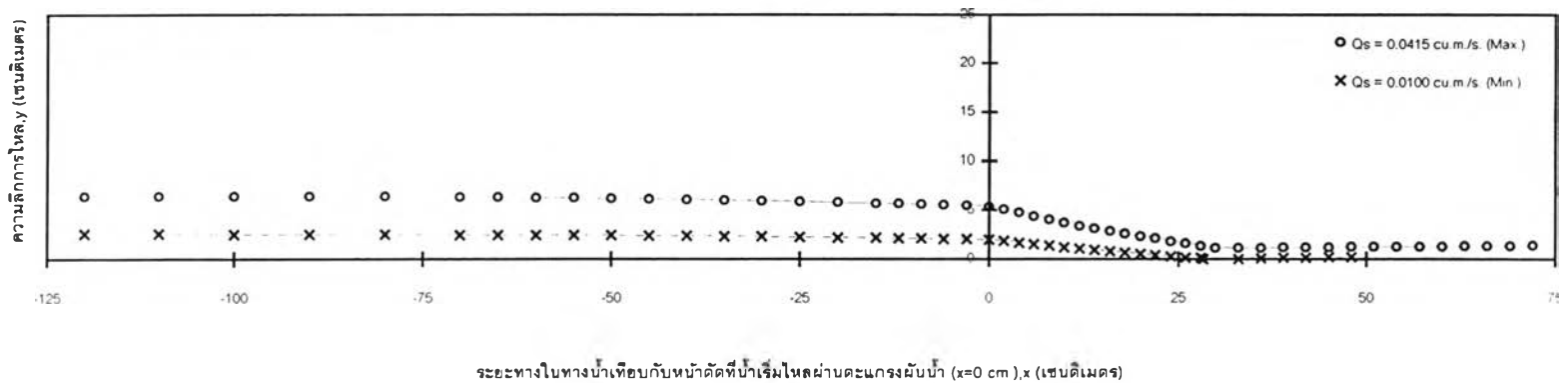
รูป 6-44 ความสัมพันธ์ระหว่างความลึกการไหลกับระยะต่างๆในทางน้ำ ในกรณีที่เป็นการไหลแบบได้วิกฤตที่สุดระนางที่มีอัตราส่วนพื้นที่ช่องเปิด, $\epsilon = 0.3112$



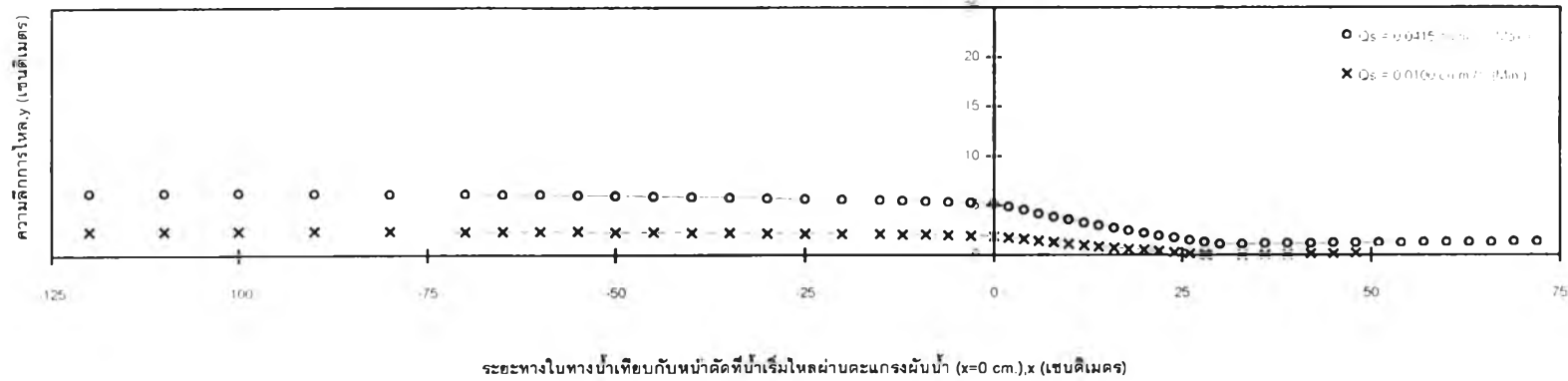
รูป 6-45 ความสัมพันธ์ระหว่างความลึกการไหลกับระยะต่างๆในทางน้ำ ในกรณีที่เป็นการไหลแบบไดวิกฤติสู่ตะแกงที่มีอัตราส่วนพื้นที่ช่องเปิด, $\epsilon = 0.3804$



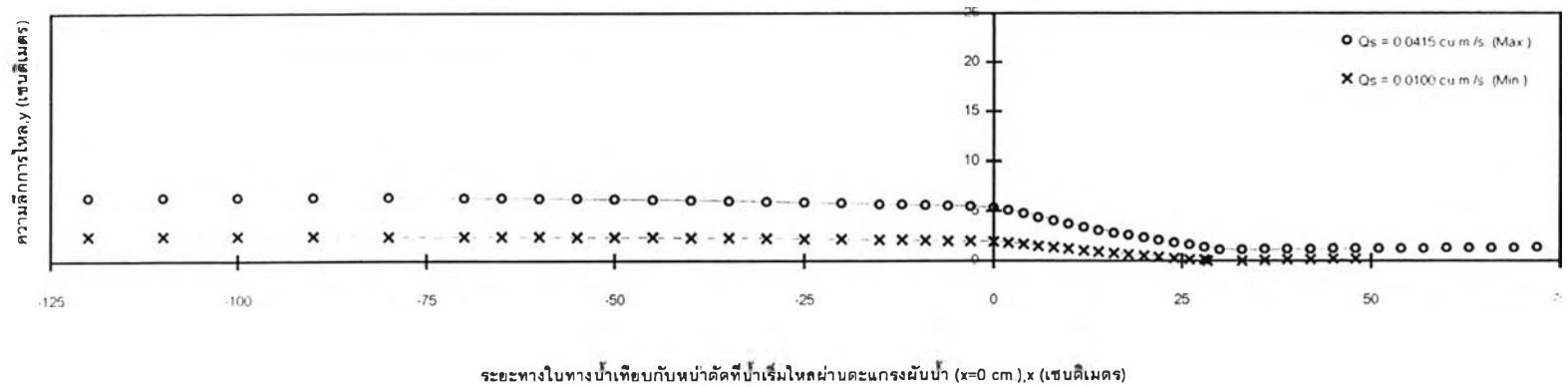
รูป 6-46 ความสัมพันธ์ระหว่างความลึกการไหลกับระยะต่างๆในทางน้ำ ในกรณีที่เป็นการไหลแบบเหนือวิกฤติสู่ตะแกงที่มีอัตราส่วนพื้นที่ช่องเปิด, $\epsilon = 0.2083$



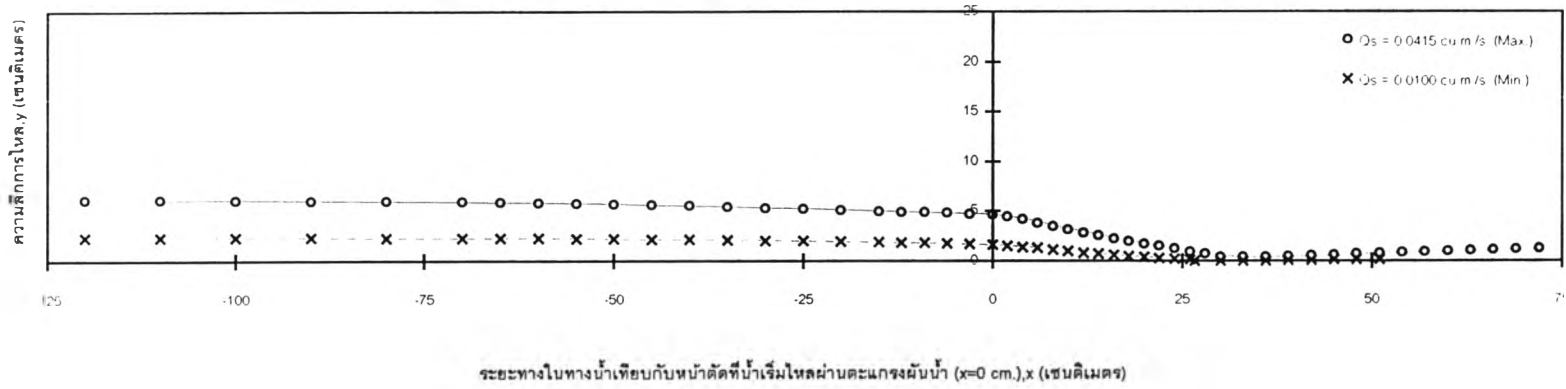
รูป 6-47 ความสัมพันธ์ระหว่างความลึกการไหลกับระยะต่างๆในทางน้ำ ในกรณีที่มีการไหลแบบเหนือวิกฤตในต่อด้านที่มอดราส่วนพื้นที่ช่องเปิด, $\epsilon = 0.2422$



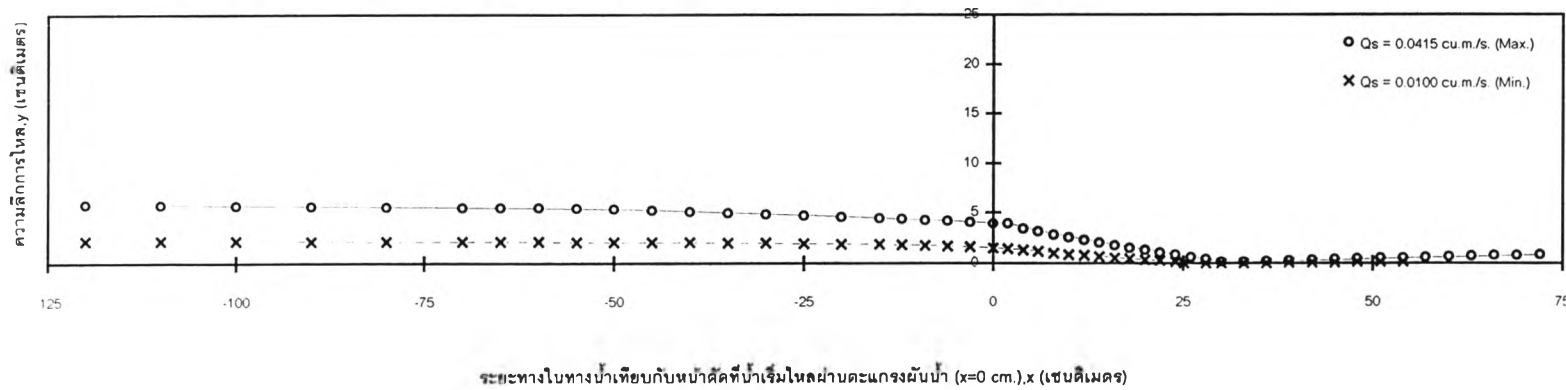
รูป 6-48 ความสัมพันธ์ระหว่างความลึกการไหลกับระยะต่างๆในทางน้ำ ในกรณีที่มีการไหลแบบเหนือวิกฤตในต่อด้านที่มอดราส่วนพื้นที่ช่องเปิด, $\epsilon = 0.2754$



รูป 6-49 ความสัมพันธ์ระหว่างความลึกการไหลกับระยะต่างๆในทางน้ำ ในกรณีที่มีการไหลแบบเหนือวิกฤติสู่ตะแกงที่มีอัตราส่วนพื้นที่ช่องเปิด, $\epsilon = 0.3112$



รูป 6-50 ความสัมพันธ์ระหว่างความลึกการไหลกับระยะต่างๆในทางน้ำ ในกรณีที่มีการไหลแบบเหนือวิกฤติสู่ตะแกงที่มีอัตราส่วนพื้นที่ช่องเปิด, $\epsilon = 0.3804$



6.7 สมการความสัมพันธ์ระหว่างตัวแปรหรือพารามิเตอร์ต่างๆที่เกี่ยวข้องกับการไหลผ่านตะแกรงผืนน้ำ

6.7.1 การวิเคราะห์มิติวัต (Dimensional Analysis) โดยใช้ทฤษฎีพายของบักกิงแฮม (Buckingham- Π Theorem)

สำหรับการหาความสัมพันธ์ระหว่างตัวแปรหรือพารามิเตอร์ต่างๆที่เกี่ยวข้องกับการศึกษาในครั้งนี้ คือ เป็นการไหลในทางน้ำเปิดที่มีหน้าตัดเป็นรูปสี่เหลี่ยมผืนผ้าผ่านตะแกรงผืนน้ำที่มีความกว้าง 0.581 เมตร ความยาว 0.30 เมตร โดยมีซี่ของตะแกรงทำจากวัสดุที่เป็นชนิดเดียวกับวัสดุที่ใช้สร้างทางน้ำ โดยวางขนานกับทิศทางการไหลและมีระยะห่างระหว่างซี่ต่อซี่อย่างสม่ำเสมอ และซี่ของตะแกรงมีหน้าตัดเป็นรูปสี่เหลี่ยมผืนผ้า ซึ่งจะใช้วิธีวิเคราะห์มิติวัตโดยใช้ทฤษฎีพาย (Π) ของบักกิงแฮม สำหรับตัวแปรหรือพารามิเตอร์ต่างๆที่สามารถวัดค่าได้ สามารถแบ่งได้เป็น 2 กลุ่มใหญ่ๆ คือ

- ก) ตัวแปรตาม ได้แก่ Q_D, C_D และ $y_{x=0 \text{ cm.}}$
- ข) ตัวแปรอิสระ ได้แก่ $Q_s, \varepsilon, g, b, L, F_r, y_o, v_o$ และ E_o

จากการใช้วิธีวิเคราะห์มิติวัตกับตัวแปรต่างๆเหล่านี้ โดยใช้ทฤษฎีพาย (Π) ของบักกิงแฮม ทำให้ได้ความสัมพันธ์ระหว่างตัวแปรหรือพารามิเตอร์ต่างๆ ดังนี้ คือ

$$\frac{Q_D}{Q_s} = \phi \left(\varepsilon, \frac{1}{F_r^2}, \frac{L}{y_o}, \frac{E_o}{y_o} \right) \quad (6-1)$$

$$C_D = \phi \left(\varepsilon, \frac{1}{F_r^2}, \frac{L}{y_o}, \frac{E_o}{y_o} \right) \quad (6-2)$$

$$\frac{y_{x=0 \text{ cm.}}}{E_o} = \phi \left(\varepsilon, \frac{gE_o}{v_o^2}, \frac{L}{y_o}, \frac{E_o}{y_o} \right) \quad (6-3)$$

$$\frac{y_o}{L} = \phi \left(\varepsilon, \frac{gL^5}{Q_s^2} \right) \quad (6-4)$$

6.7.2) การหาสมการความสัมพันธ์ระหว่างตัวแปรหรือพารามิเตอร์ต่างๆที่เกี่ยวข้องกับการไหลผ่านตะแกรงผันท้ำ

จากความสัมพันธ์ระหว่างตัวแปรหรือพารามิเตอร์ต่างๆในหัวข้อ 6.7.1) จะเห็นว่าตัวแปรตามแต่ละตัวจะมีความสัมพันธ์กับตัวแปรอิสระหลายตัว ดังนั้นจึงใช้วิธีถดถอยพหุคูณ (Multiple Regression) ในการหาความสัมพันธ์ในรูปของสมการ และเนื่องจากข้อมูลที่น่ามาวิเคราะห์มีเป็นจำนวนมาก จึงได้ใช้โปรแกรมสำเร็จรูป "SPSS Version 9.01" มาช่วยในการวิเคราะห์ข้อมูล โดยจากการวิเคราะห์ความสัมพันธ์ของชุดข้อมูลจะพิจารณาให้ข้อมูลมีความสัมพันธ์กันแบบสมการกำลัง (Power Equation) ซึ่งจะได้สมการความสัมพันธ์ดังแสดงในตาราง 6-5 ในกรณีที่การไหลเข้าสู่ตะแกรงผันท้ำเป็นการไหลแบบไดวิกฤติ (ทางน้ำอยู่ในแนวราบ) ส่วนในกรณีที่การไหลเข้าสู่ตะแกรงผันท้ำเป็นการไหลแบบเหนือวิกฤติ (ทางน้ำมีความลาดเอียง 0.97 % จากเหนือน้ำไปยังท้ายน้ำ) สมการความสัมพันธ์ของตัวแปรต่างๆ แสดงไว้ในตาราง 6-6

ตาราง 6-5 ผลการวิเคราะห์หาสมการความสัมพันธ์ระหว่างตัวแปรหรือพารามิเตอร์ต่างๆ ที่เกี่ยวข้องกับการไหลผ่าน
 ตะแกรงผันน้ำโดยถดถอยวิธีพหุคูณ ในกรณีที่มีการไหลเข้าสู่ตะแกรงผันน้ำเป็นการไหลแบบได้วิกฤติ

สมการความสัมพันธ์			R	SEE	
$\frac{Q_o}{Q_s}$	=	$0.519 \left(\frac{L}{y_o}\right)^{0.266} \varepsilon^{0.297} \left(\frac{E_o}{y_o}\right)^{1.016} \left(\frac{1}{F_r^2}\right)^{0.38}$	0.899	0.051	(6-5)
C_D	=	$0.327 \left(\frac{L}{y_o}\right)^{-0.744} \varepsilon^{-0.725} \left(\frac{E_o}{y_o}\right)^{0.79} \left(\frac{1}{F_r^2}\right)^{-0.072}$	0.983	0.051	(6-6)
$\frac{y_{x=0 cm.}}{E_o}$	=	$0.554 \left(\frac{y_o}{E_o}\right)^{0.735} \left(\frac{gE_o}{v_o^2}\right)^{0.02} \varepsilon^{-0.115} \left(\frac{L}{E_o}\right)^{0.035}$	0.743	0.038	(6-7)
$\frac{y_o}{L}$	=	$0.486 \left(\frac{gL^5}{Q_s^2}\right)^{-0.324} \varepsilon^{-0.251}$	0.990	0.042	(6-8)

หมายเหตุ : R คือ สัมประสิทธิ์สหสัมพันธ์ (Correlation Coefficient)

SEE คือ ค่าความคลาดเคลื่อนมาตรฐานของการประมาณ (Standard Error of Estimate)

ตาราง 6-6 ผลการวิเคราะห์หาสมการความสัมพันธ์ระหว่างตัวแปรหรือพารามิเตอร์ต่างๆ ที่เกี่ยวข้องกับการไหลผ่านตะแกรงผ่นน้ำโดยวิธีถดถอยพหุคูณ ในกรณีที่มีการไหลเข้าสู่ตะแกรงผ่นน้ำเป็นการไหลแบบเหนือวิกฤติ

สมการความสัมพันธ์			R	SEE	
$\frac{Q_b}{Q_s}$	=	$0.691 \left(\frac{L}{y_o}\right)^{0.187} \left(\frac{1}{F_r^2}\right)^{-2.248} \left(\frac{E_o}{y_o}\right)^{-3.073} \epsilon^{-0.08\epsilon}$	0.912	0.046	(6-9)
C_D	=	$0.492 \left(\frac{L}{y_o}\right)^{-0.81} \left(\frac{1}{F_r^2}\right)^{-2.721} \left(\frac{E_o}{y_o}\right)^{-3.541} \epsilon^{-1.079}$	0.989	0.046	(6-10)
$\frac{Y_{x=0 cm.}}{E_o}$	=	$0.578 \left(\frac{y_o}{E_o}\right)^{0.885} \left(\frac{gE_o}{v_o^2}\right)^{-0.144} \epsilon^{-0.223} \left(\frac{L}{E_o}\right)^{-0.001}$	0.982	0.042	(6-11)
$\frac{y_o}{L}$	=	$0.258 \left(\frac{gL^5}{Q_s^2}\right)^{-0.365} \epsilon^{-0.456}$	0.997	0.027	(6-12)

หมายเหตุ : R คือ สัมประสิทธิ์สหสัมพันธ์ (Correlation Coefficient)

SEE คือ ค่าความคลาดเคลื่อนมาตรฐานของการประมาณ (Standard Error of Estimate)

จากความสัมพันธ์ของพารามิเตอร์ต่างๆ ที่แสดงไว้ในตาราง 6-5 และตาราง 6-6 สามารถที่จะแสดงผลการเปรียบเทียบค่าที่ได้จากการทดลองกับค่าที่คำนวณได้จากสมการที่ได้รับจากวิธีถดถอยพหุคูณได้ดังรูป 6-51 และรูป 6-52 ซึ่งจะเห็นได้ว่าโดยส่วนใหญ่แล้วการกระจายตัวของข้อมูลจะอยู่บริเวณใกล้ๆ กับเส้นที่ทำมุม 45° กับแกนนอน (เส้นที่แสดงตำแหน่งที่ค่าในแกน X มีค่าเท่ากับค่าในแกน Y) นั้นย่อมหมายความว่า ค่าที่คำนวณได้จากสมการที่ได้รับจากวิธีถดถอยพหุคูณจะให้ค่าใกล้เคียงกับค่าที่ได้จากการทดลอง ซึ่งเป็นเครื่องยืนยันได้ว่าสมการที่ได้รับจากวิธีถดถอยพหุคูณดังกล่าวข้างต้น สามารถที่จะนำไปใช้คำนวณหรืออธิบายพฤติกรรมการไหลในทางน้ำที่มีตะกอนผิวน้ำอยู่ที่ท้องน้ำได้

จากสมการความสัมพันธ์ของตัวแปรต่างๆ ที่ได้รับจากวิธีถดถอยพหุคูณ สามารถจัดรูปใหม่ให้มีความสะดวกต่อการนำไปใช้งานได้ดังนี้ คือ

ก) กรณีที่การไหลเข้าสู่ตะกอนผิวน้ำเป็นการไหลแบบใต้วิกฤติ

$$Q_D = 0.519 \frac{Q_s L^{0.266} \varepsilon^{0.297} E_o^{1.016}}{y_o^{1.282} F_r^{0.76}} \quad (6-13)$$

$$C_D = 0.327 \frac{E_o^{0.79} F_r^{0.144}}{L^{0.744} y_o^{1.534} \varepsilon^{0.725}} \quad (6-14)$$

$$y_{x=0 \text{ cm.}} = 0.554 \frac{E_o^{0.25} y_o^{0.735} g^{0.02} L^{0.35}}{v_o^{0.04} \varepsilon^{0.115}} \quad (6-15)$$

$$y_o = 0.486 \frac{Q_s^{0.648}}{g^{0.324} \varepsilon^{0.251} L^{0.62}} \quad (6-16)$$

ข) กรณีที่การไหลเข้าสู่ตะแกรงผ่นน้ำเป็นการไหลแบบเหนือวิกฤติ

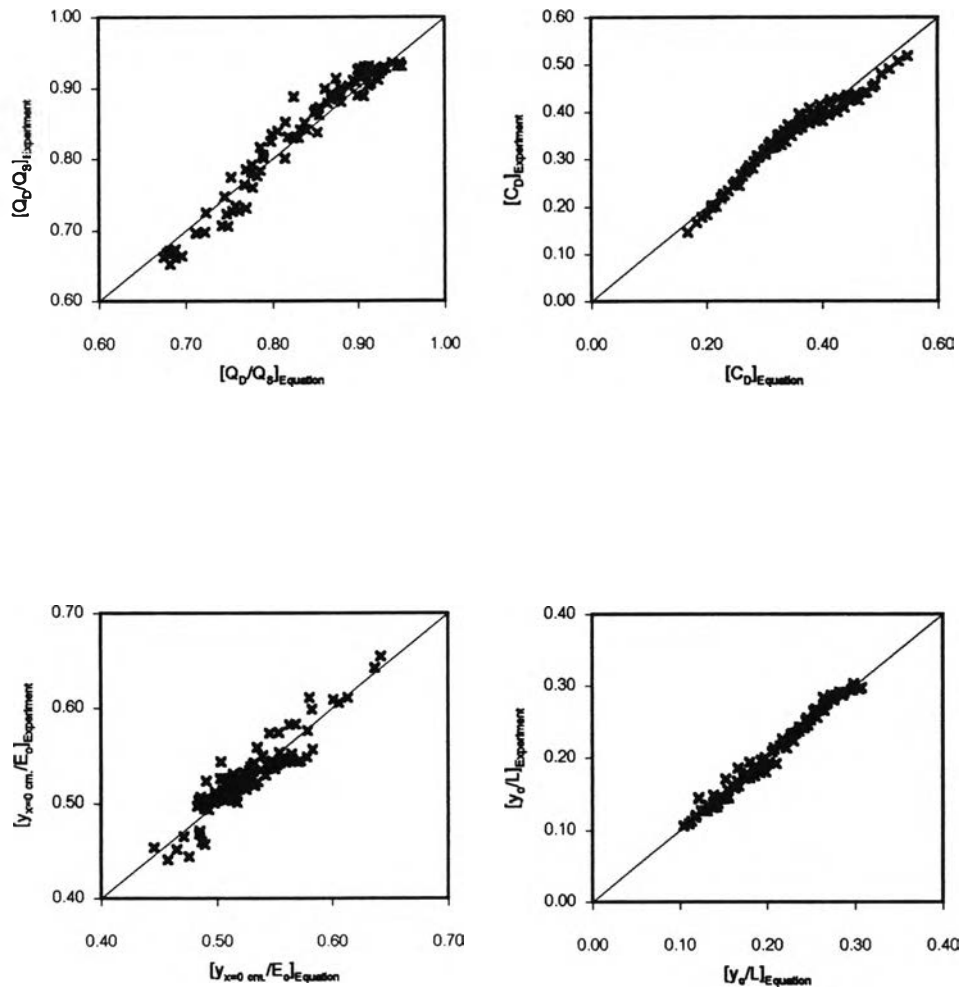
$$Q_D = 0.691 \frac{Q_s L^{0.187} F_r^{4.496} y_o^{2.886}}{E_o^{3.073} \varepsilon^{0.086}} \quad (6-17)$$

$$C_D = 0.492 \frac{y_o^{4.351} F_r^{5.442}}{L^{0.81} E_o^{3.541} \varepsilon^{1.079}} \quad (6-18)$$

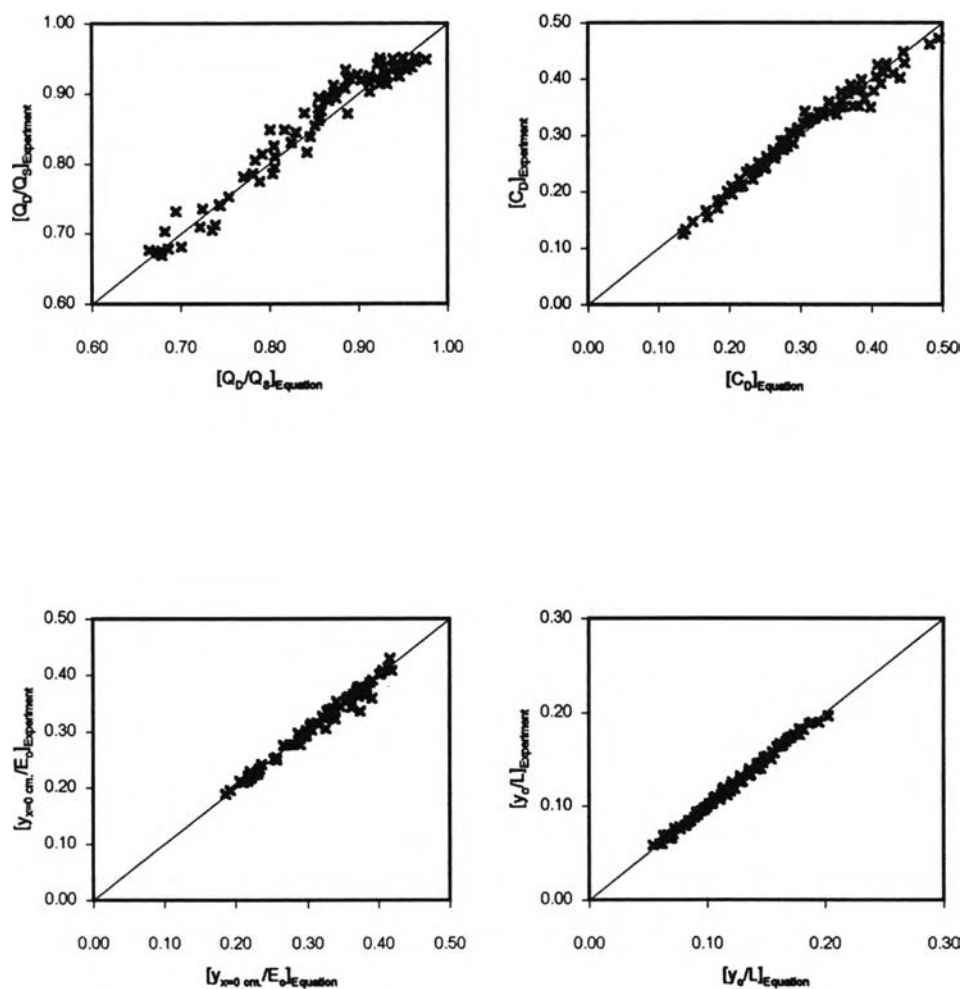
$$y_{x=0 \text{ cm.}} = 0.578 \frac{v_o^{0.288}}{y_o^{0.885} g^{0.144} \varepsilon^{0.223} L^{0.001} E_o^{0.028}} \quad (6-19)$$

$$y_o = 0.258 \frac{Q_s^{0.73}}{g^{0.365} \varepsilon^{0.456} L^{0.825}} \quad (6-20)$$

โดย	Q_D	มีหน่วยเป็น	ลูกบาศก์เมตรต่อวินาที
	Q_s	มีหน่วยเป็น	ลูกบาศก์เมตรต่อวินาที
	L	มีหน่วยเป็น	เมตร
	E_o	มีหน่วยเป็น	เมตร
	v_o	มีหน่วยเป็น	เมตรต่อวินาที
	y_o	มีหน่วยเป็น	เมตร
	$y_{x=0 \text{ cm.}}$	มีหน่วยเป็น	เมตร
	b	มีหน่วยเป็น	เมตร
	L	มีหน่วยเป็น	เมตร



รูป 6-51 เปรียบเทียบค่าตัวแปรที่ได้จากการทดลองกับค่าตัวแปรที่คำนวณจากสมการที่ได้จากวิธีถดถอยพหุนามกรณีที่มีการไหลสู่ตะแกรงผ่นน้ำเป็นการไหลแบบไดวิกฤติ



รูป 6-52 เปรียบเทียบค่าตัวแปรที่ได้จากการทดลองกับค่าตัวแปรที่คำนวณจากสมการที่ได้จากวิธีถดถอยพหุคูณกรณีที่มีการไหลสู่ตะแกรงผิวน้ำเป็นการไหลแบบเหนือวิกฤติ

6.8 แนวทางในการคำนวณเพื่อออกแบบตะแกรงผั้มน้ำที่มีซี่ของตะแกรงวางขนานกับทิศทางการไหลในทางน้ำหลัก

สำหรับหัวข้อนี้จะกล่าวถึงแนวทางในการคำนวณเพื่อออกแบบตะแกรงผั้มน้ำที่อยู่ท้องน้ำของทางน้ำเปิดที่มีหน้าตัดเป็นรูปสี่เหลี่ยมผืนผ้า โดยซี่ของตะแกรงจะมีหน้าตัดขวางเป็นรูปสี่เหลี่ยมผืนผ้า วางเสมอกับพื้นทางน้ำและขนานกับทิศทางการไหลของกระแสในทางน้ำหลัก

โดยหลักๆแล้ว ในการออกแบบตะแกรงผั้มน้ำที่ติดตั้งอยู่ที่ท้องน้ำของทางน้ำนั้น มีวัตถุประสงค์ ดังนี้คือ

- 1) เพื่อทำการผั้มน้ำออกจากทางน้ำ แล้วทำให้เกิดการเปลี่ยนแปลงอัตราการไหลในทางน้ำนั้น โดยมีผลให้อัตราการไหลในทางน้ำลดลง
- 2) ทำให้เกิดการเปลี่ยนแปลงความลึกการไหลในทางน้ำ เมื่อเกิดการไหลผ่านตะแกรงผั้มน้ำ

สำหรับในการออกแบบตะแกรงผั้มน้ำนั้น สิ่งสำคัญที่จะต้องคำนวณหา ได้แก่

- อัตราส่วนพื้นที่ช่องเปิดของตะแกรงผั้มน้ำ (E)
- ความยาวของตะแกรงผั้มน้ำ (L)
- ความกว้างของชุดตะแกรงผั้มน้ำ (b) ซึ่งโดยส่วนใหญ่มักจะถูกกำหนดให้มีความกว้างเท่ากับความกว้างของทางน้ำนั้นๆ

ในส่วนของข้อมูลที่จะต้องทราบค่าในเบื้องต้น เพื่อที่จะได้ใช้เป็นขอบเขตหรือข้อกำหนดในการออกแบบ ได้แก่ $Q_{s,b}$ และ Q_0

6.8.1) ขั้นตอนในการคำนวณ

ในการคำนวณเพื่อออกแบบตะแกรงผัมน้ำจะมีแนวทางอยู่ 2 แนวทาง คือ

ก) การคำนวณหาค่า L จากค่า E ที่สมมติขึ้น มีขั้นตอนในการคำนวณดังนี้

- 1) พิจารณาสภาพการไหลในทางน้ำว่าเป็นการไหลแบบใดวิฤติหรือแบบเหนือวิฤติ เพื่อที่จะสามารถเลือกใช้สมการได้สอดคล้องกับสภาพการไหล
- 2) สมมติค่าอัตราส่วนพื้นที่ช่องเปิดของตะแกรงผัมน้ำ, E ขึ้นมา 1 ค่า และจากข้อมูลเบื้องต้นที่มีอยู่ และจำเป็นจะต้องทราบค่า ได้แก่ Q_s, b และ Q_0 ดังที่ได้กล่าวมาแล้ว ทำการแทนค่าต่างๆเหล่านี้ ลงในสมการ (6-16) หรือ (6-20) เพื่อหาค่า y_0
- 3) นำค่า y_0 ที่ได้ไปคำนวณหาค่า v_0 , E_0 และ F_r
- 4) นำค่าต่างๆที่ได้ไปแทนค่าลงในสมการ (6-13) หรือ (6-17) แล้วทำการแก้สมการเพื่อหาค่า L ซึ่งค่า L ที่คำนวณได้นี้จะเป็นค่า L ที่สอดคล้องกับค่า E ที่สมมติขึ้นในข้อ 2)

สำหรับแผนภาพแสดงขั้นตอนในการคำนวณหาค่า L จากค่า E ที่สมมติขึ้น ได้แสดง

ไว้ในรูป 6-53

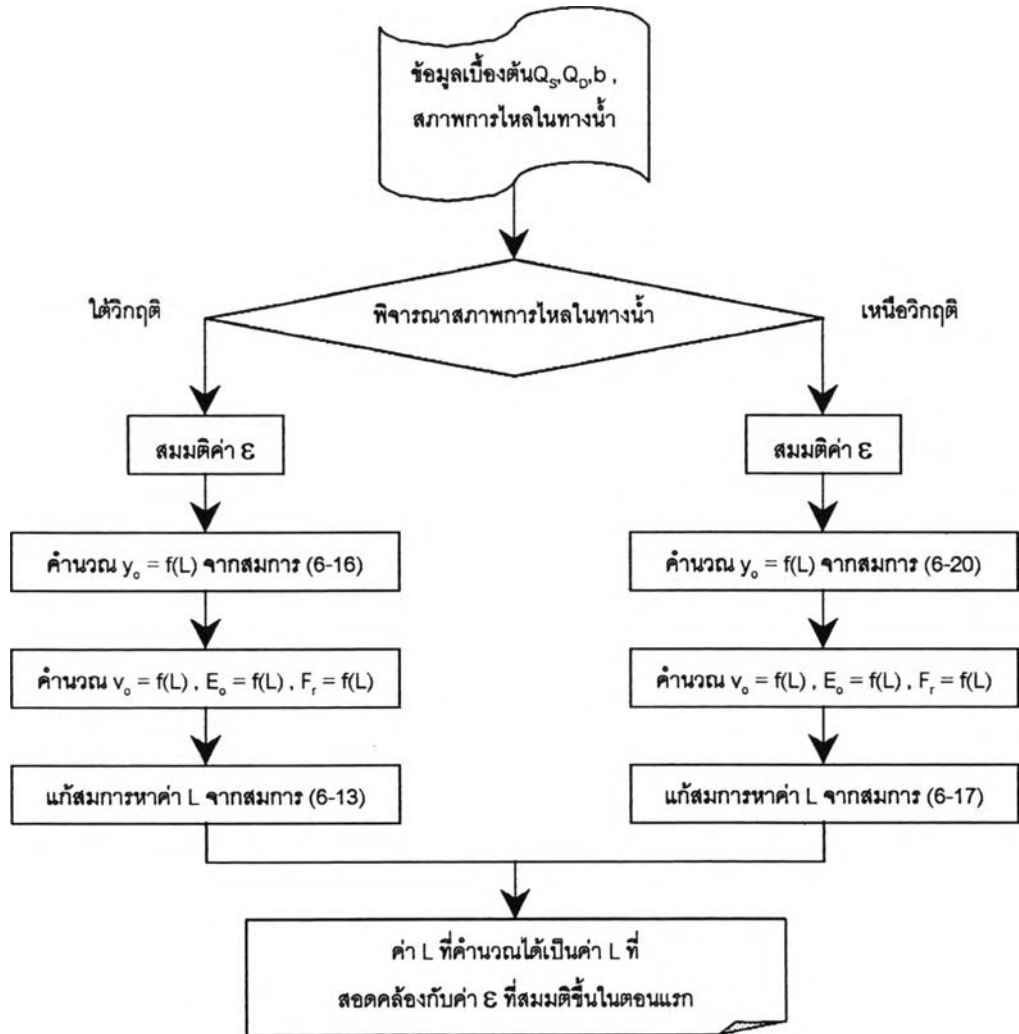
ข) การคำนวณหาค่า E จากค่า L ที่สมมติขึ้น มีขั้นตอนในการคำนวณดังนี้

- 1) พิจารณาสภาพการไหลในทางน้ำว่าเป็นการไหลแบบใดวิฤติหรือแบบเหนือวิฤติ เพื่อที่จะสามารถเลือกใช้สมการได้สอดคล้องกับสภาพการไหล
- 2) สมมติค่าความยาวของตะแกรงผัมน้ำ, L ขึ้นมา 1 ค่า และจากข้อมูลเบื้องต้นที่มีอยู่ และจำเป็นจะต้องทราบค่า ได้แก่ Q_s, b และ Q_0 ดังที่ได้กล่าวมาแล้ว ทำการแทนค่าต่างๆเหล่านี้ ลงในสมการ (6-16) หรือ (6-20) เพื่อหาค่า y_0

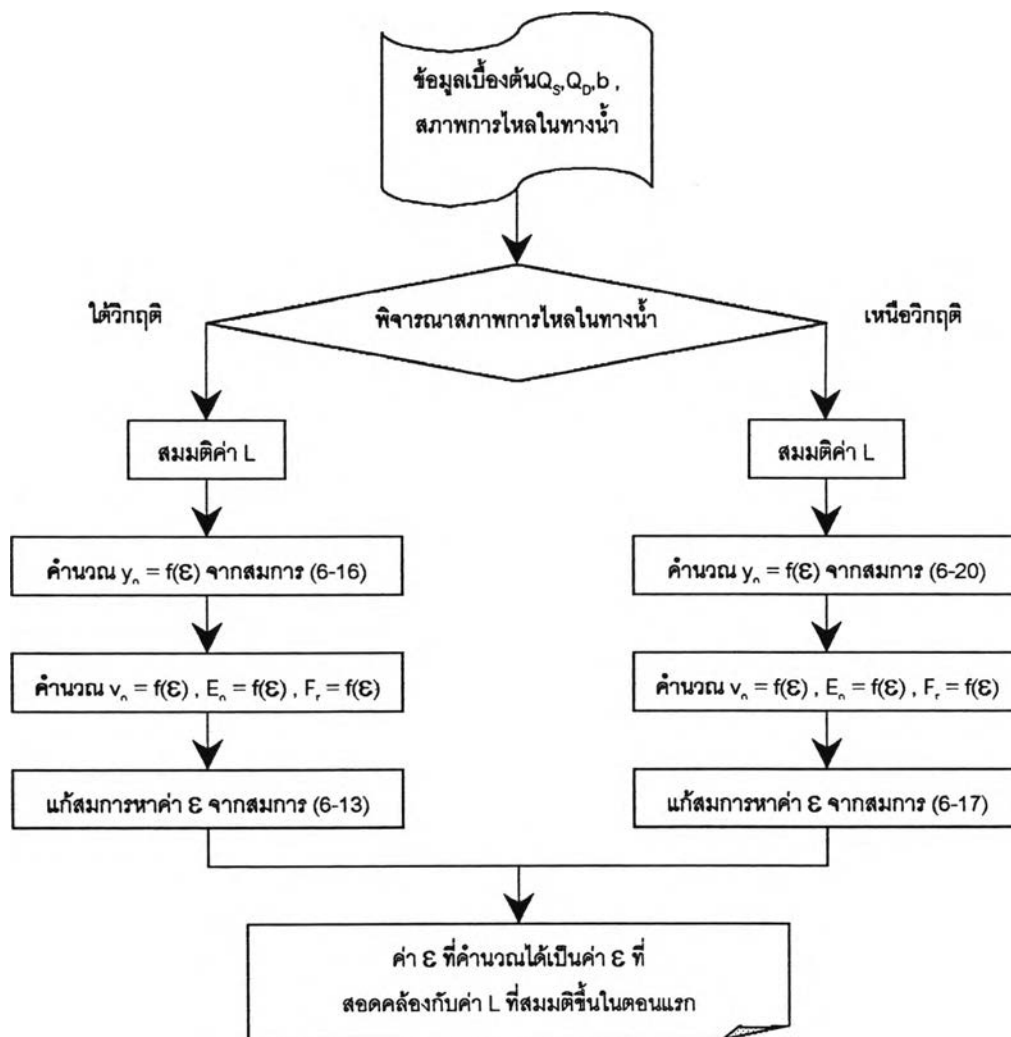
- 3) นำค่า y_0 ที่ได้ไปคำนวณหาค่า v_0 , E_0 และ F_r
- 4) นำค่าต่างๆที่ได้ไปแทนค่าลงในสมการ (6-13) หรือ (6-17) แล้วทำการแก้สมการเพื่อหาค่า \mathcal{E} ซึ่งค่า \mathcal{E} ที่คำนวณได้นี้จะเป็นค่า \mathcal{E} ที่สอดคล้องกับค่า L ที่สมมติขึ้นในข้อ 2)

สำหรับแผนภาพแสดงขั้นตอนในการคำนวณหาค่า \mathcal{E} จากค่า L ที่สมมติขึ้น ได้แสดงไว้ในรูป 6-54

หมายเหตุ นอกจากการออกแบบตะแกรงผัมน้ำดังที่ได้กล่าวมาแล้ว เรายังสามารถที่จะคำนวณหาค่าการเปลี่ยนแปลงความลึกการไหลในทางน้ำ เมื่อเกิดการไหลผ่านตะแกรงผัมน้ำได้ นั่นคือ จากค่า L และค่า \mathcal{E} ที่คำนวณได้ เราสามารถที่จะคำนวณหาค่า C_0 จากสมการ (6-14) หรือ สมการ (6-18) และค่า $y_{x=0\text{cm}}$ จากสมการ (6-15) หรือ สมการ (6-19) ได้ จากนั้นจึงใช้วิธี Finite Difference Method ดังเช่นที่กล่าวมาแล้ว ในการหาความลึกการไหลเหนือตะแกรงผัมน้ำได้



รูป 6-53 แผนภาพแสดงขั้นตอนการคำนวณออกแบบตะแกรงฝันน้ำ
โดยการสมมติค่า ϵ แล้วคำนวณหาค่า L



รูป 6-54 แผนภาพแสดงขั้นตอนการคำนวณออกแบบตะแกรงฝึนน้ำ
โดยการสมมติค่า L แล้วคำนวณหาค่า E

6.8.2) ตัวอย่างการคำนวณ

ในตัวอย่างการคำนวณต่อไปนี้จะแสดงตัวอย่างการคำนวณเพื่อออกแบบตะแกรงผั้หน้า ในกรณีที่เป็นการสมมติค่า E ขึ้นมาก่อนแล้วทำการคำนวณหาค่า L ส่วนในกรณีที่สมมติค่า L ขึ้นมาก่อนแล้วคำนวณหาค่า E ก็จะมีวิธีการคำนวณคล้ายๆ กัน ดังได้กล่าวไว้แล้วในข้างต้น ซึ่งมีรายละเอียด ดังนี้

ทางน้ำเปิดมีหน้าตัดขวางเป็นรูปสี่เหลี่ยมผืนผ้า ขนาดความกว้าง 20.00 เมตร ความสูงของหน้าตัด 6.00 เมตร ดาดผิวด้วยคอนกรีตผิวเรียบ ทางน้ำมีลักษณะตรงและมีความยาวมาก ท้องน้ำของทางน้ำจะวางตัวอยู่ในแนวราบ โดยในช่วงที่ทำการพิจารณาทางน้ำจะมีหน้าตัดคงที่ไม่มีโครงสร้างทางชลศาสตร์ใดๆ ในบริเวณนั้น มีอัตราการไหลผ่านของน้ำ 100 ลูกบาศก์เมตรต่อวินาที ด้วยสภาพการไหลแบบได้วิฤติ

ให้ทำการคำนวณเบื้องต้นเกี่ยวกับมิติของตะแกรงผั้หน้าที่จะใช้ในการผั้หน้าออกจากทางน้ำด้วยอัตราการผั้หน้าออก 80 ลูกบาศก์เมตรต่อวินาที โดยการใช้ตะแกรงผั้หน้าติดตั้งอยู่ที่ท้องน้ำ และมีซี่ของตะแกรงทำจากวัสดุชนิดเดียวกับวัสดุที่ใช้สร้างทางน้ำวางขนานกับทิศทางการไหลของกระแสน้ำในทางน้ำ หน้าตัดขวางของซี่ตะแกรงเป็นรูปสี่เหลี่ยมผืนผ้า ผิวบนของซี่ตะแกรงแบนราบวางเสมอกับพื้นทางน้ำด้วยระยะห่างระหว่างซี่ต่อซี่คงที่

การคำนวณ

จากปัญหาข้างต้นจะได้

$$Q_s = 100 \text{ m}^3/\text{s}$$

$$Q_D = 80 \text{ m}^3/\text{s}$$

$$b = 20.00 \text{ m.}$$

$$g = 9.806 \text{ m/s}^2$$

$$\text{สมมติให้ } \epsilon = 5 \% = 0.05$$

เนื่องจากเป็นการไหลแบบได้วิกฤติจึงเลือกใช้สมการ (6-16) ในการหาค่า y_o ซึ่งจะได้

$$\begin{aligned} y_o &= \frac{0.486 \times 100^{0.648}}{9.806^{0.324} \times 0.05^{0.251} \times L^{0.62}} \\ &= \frac{9.726}{L^{0.62}} \\ v_o &= \frac{Q_s}{A_o} \\ \therefore A_o &= b \times y_o \\ \therefore v_o &= \frac{100}{20 \times \frac{9.726}{L^{0.62}}} \\ &= 0.514L^{0.62} \\ F_r &= \frac{v_o}{\sqrt{gy_o}} \\ &= \frac{0.514L^{0.62}}{\sqrt{9.806 \times \frac{9.726}{L^{0.62}}}} \\ &= 0.0526L^{0.93} \\ E_o &= y_o + \frac{v_o^2}{2g} \\ &= \frac{9.726}{L^{0.62}} + \frac{(0.514L^{0.62})^2}{2 \times 9.806} \\ &= \frac{9.726 + 0.0135L^{1.86}}{L^{0.62}} \end{aligned}$$

แทนค่าต่างๆลงในสมการ (6-13) จะได้

$$80 = \frac{0.519 \times 100 \times L^{0.266} \times 0.05^{0.297} \left(\frac{9.726 + 0.0135L^{1.86}}{L^{0.62}} \right)^{1.016}}{\left(\frac{9.726}{L^{0.62}} \right)^{1.282} (0.0526L^{0.93})^{0.76}}$$

แก้สมการจะได้ $L = 3.22 \text{ m.}$

ซึ่งเป็นค่าที่สอดคล้องกับ $\epsilon = 0.05$ ตามที่สมมติในตอนแรก

หมายเหตุ ในส่วนการเลือกหรือออกแบบขนาดของซี่ตะแกรงรวมทั้งการกำหนดขนาดความกว้างของช่องเปิดหรือระยะห่างระหว่างซี่ตะแกรงเพื่อให้สอดคล้องกับค่าที่ได้จากการคำนวณ ก็อยู่ที่ผู้ออกแบบจะเป็นผู้กำหนด แต่โดยทั่วไปจะคำนึงถึงสิ่งต่างๆ ดังนี้คือ

- ความแข็งแรงของตัวซี่ตะแกรงรวมทั้งความแกร่ง (Rigid) ของตัวซี่ตะแกรงด้วย
- ชนิดของวัสดุที่ใช้ทำตะแกรง
- ขนาดของเศษวัสดุที่ต้องการจะให้ตะแกรงเป็นตัวดัก
- ความยากง่ายของการก่อสร้าง